УЛК 546.87

СИНТЕЗ, СТРОЕНИЕ И ПРИМЕНЕНИЕ ОРГАНИЧЕСКИХ СОЕДИНЕНИЙ ВИСМУТА

© 2021 г. В. В. Шарутин^{1, *}, А. И. Поддельский^{2, **}, О. К. Шарутина¹

¹Южно-Уральский государственный университет (национальный исследовательский университет), Челябинск, Россия ²Институт металлоорганической химии им. Г.А. Разуваева РАН, Нижний Новгород, Россия *e-mail: vvsharutin@rambler.ru

**e-mail: aip@iomc.ras.ru

Поступила в редакцию 16.02.2021 г. После доработки 21.04.2021 г. Принята к публикации 24.04.2021 г.

Настоящий обзор, включающий в себя описание современных достижений в области методов синтеза, исследовании особенностей строения и возможности практического использования органических соединений висмута, основан на анализе литературы, опубликованной за период с 2010 по 2020 г. Некоторые более ранние работы представлены в обзоре из-за их важности. Библиография — 190 ссылок.

Ключевые слова: висмут, органические соединения висмута, синтез, строение

DOI: 10.31857/S0132344X21120021

ОГЛАВЛЕНИЕ

Введение	719
Триорганильные соединения висмута	719
Производные висмута общей формулы RBiX ₂ и R ₂ BiX	732
Реакции отщепления органических заместителей от триорганилвисмута	732
Иные методы синтеза производных висмута RBiX ₂ и R ₂ BiX	742
Синтез соединений висмута с полидентатными арильными лигандами	752
Арильные производные висмута(V)	778
Заключение	785
Список литературы	785

ВВЕДЕНИЕ

С момента открытия в 1975 г. возможности использования органических соединений висмута в тонком органическом синтезе [1], число публикаций, посвященных разработке методов синтеза, исследованию реакционной способности и особенностей строения висмуторганических производных, значительно возросло. Атом висмута в своих органических соединениях может быть непосредственно связан с 1, 2, 3, 4, 5 или 6 органическими радикалами, кроме того, известно много типов производных висмута, в которых имеет место замещение одного или нескольких органических заместителей на атомы галогенов или другие электроотрицательные группы. Разнообразие типов висмуторганических соединений привело к значительному расширению исследований в этой области [2], наблюдаемому за последние годы. Непосредственным поводом для этого явились непрекращающиеся попытки найти для висмуторганических соединений возможности их более широкого использования в химии и медицине. Ключевое положение в химии органических производных висмута занимают соединения R_3B_i , среди которых подавляющая часть — арильные производные. Из них могут быть получены многочисленные соединения висмута несимметричного строения ($RBiX_2$ и R_2BiX) и производные пятивалентного висмута.

ТРИОРГАНИЛЬНЫЕ СОЕДИНЕНИЯ ВИСМУТА

Триорганильные производные висмута R_3B_i , как правило, с высоким выходом синтезируют из магний- или литийорганических соединений. Так, бензильные производные висмута получены по реакции дихлорида арилвисмута Ar'BiCl₂ [Ar' = = 2,6-(Me₂NCH₂)₂C₆H₃] с бензилмагнийхлоридом в тетрагидрофуране с образованием Ar'Bi(η^1 -CH₂Ph)₂ с высоким выходом (схема 1) [3].

$$Me_{2}N \xrightarrow{Bi} NMe_{2} \xrightarrow{2PhCH_{2}MgCl_{2}} Me_{2}N \xrightarrow{Bi} NMe_{2}$$

Ar'BiCl₂ Ar' = 2,6- $(Me_2NCH_2)_2C_6H_3$ Ar'Bi $(\eta^1-CH_2Ph)_2$ **Cxema 1.**

Аналогично синтезировали трибензилвисмут $Bi(\eta^1-CH_2Ph)_3$. Рентгеновская кристаллография и спектроскопические исследования подтверждают η^1 -связь бензильных лигандов в данных соединениях. В первом соединении Ar'Bi($\eta^1-CH_2Ph)_2$ присутствует лишь один короткий контакт Bi···N (3.058(4) Å), расстояния Bi– C_{Alk} (2.299(4) и 2.340(4) Å) длиннее, чем в $Bi(\eta^1-CH_2Ph)_3$ (2.289(4), 2.291(4) и 2.295(4) Å) и триметилвисмуте (2.23(2), 2.26(2) и 2.288(16) Å) [4]. Отметим особенность структуры последнего, в кристалле которого молекулы ассоциированы в димеры (расстояние Bi···Bi 3.899(1) Å).

Триаллилвисмут All_3Bi , синтезированый из аллилмагнийбромида и трихлорида висмута, был предложен в качестве инициатора контролируемой радикальной полимеризации стирола [5]. Протонолиз All_3Bi достаточно сильной кислотой Бренстеда $[PhNMe_2H]^+[B(C_6H_3Cl_2)_4]^-$ позволил выделить комплекс висмута $[All_2Bi(THF)_2]^+[B(C_6H_3Cl_2)_4]^-$ в виде твердого вещества желтого цвета (схема 2), в катионе которого атом висмута имеет *бис*-феноидальную координационную геометрию с апи-кально расположенными молекулами $T\Gamma\Phi$.

$$\begin{array}{c|c} [PhNMe_{2}H]^{+}[B(C_{6}H_{3}Cl_{2})_{4}]^{-}\\ Bi(CH_{2}-CH=CH_{2})_{3} & \xrightarrow{T\Gamma\Phi, \ T_{KOMH}\\ -PhNMe_{2}, -C_{3}H_{6}} & & Bi\\ & & & \\ All_{3}Bi & & & \\ & & &$$

 $[All_2Bi(THF)_2]^+[B(C_6H_3Cl_2)_4]^-$

Схема 2.

Трис (метилаллил) висмут, полученный из реактива Гриньяра и трихлорида висмута, также был структурно охарактеризован. По данным РСА, в этом соединении алильные лиганды координируются с атомом висмута по η^1 -типу, причем средняя длина связи Bi-C (2.32(2) Å) близка к аналогичной связи для другого охарактеризованного соединения висмута, содержащего аллильный

лиганд — $\{2,6-(Me_2NCH_2)_2C_6H_3\}_2(\eta^1-All)$ Ві [6]. Комплекс [All_2 Ві($THF)_2$]⁺[$B(C_6H_3Cl_2)_4$][—] количественно реагирует с двумя эквивалентами альдегида в $T\Gamma\Phi$ при температуре окружающей среды с образованием продукта карбометаллирования [$(AllCH(Ar)O)_2$ Ві($THF)_2$]⁺[$B(C_6H_3Cl_2)_4$][—] с выходом до 99% (схема 3).

$$\begin{bmatrix} \bullet & \bullet \\ Bi & \bullet \\ \bullet & \bullet \\ O & \bullet \end{bmatrix}^{+} \begin{bmatrix} Bi & \bullet \\ H & Ar \end{bmatrix}^{+} \begin{bmatrix} Bi & \bullet \\ H & Ar \end{bmatrix}^{-} \begin{bmatrix} Bi & \bullet \\ H$$

 $[All_2Bi(THF)_2]^+[B(C_6H_3Cl_2)_4]^-$

Схема 3.

Триорганилвисмут $Bi(CH_2C_6H_4Cl-2)_3$, полученный из трихлорида висмута и алкилмагнийбромида, охарактеризован с помощью рентгеноструктурного анализа, который выявил формирование двумерной

сетки в результате π -координационных взаимодействий висмут—арен с расстояниями 3.659 Å (висмут-ареноцентроид) и 3.869 Å (ареновые центроиды) соответственно (схема 4) [7].

С целью сравнения с координационной химией лантанидов были синтезированы и структурно охарактеризованы соединения висмута несимметричного строения Ar_2BiR , содержащие N,C,N-лиганды 2,6- $(Me_2NCH_2)_2C_6H_3$ [6]. В частности, добавлением раствора аллилмагнийхлорида в тетрагидрофуране к хлориду диарилвисмута в $T\Gamma\Phi$ был син-

тезирован аллильный комплекс висмута (2,6- $(Me_2NCH_2)_2C_6H_3)_2Bi(All)$, в котором аллильный лиганд связан с атомом металла по η^1 -типу; один N,C,N-лиганд является тридентатным, а второй образует только одну координационную связь $Bi\cdots N$ (схема 5).

$$(2,6\text{-}(Me_2NCH_2)_2C_6H_3)_2BiCl \xrightarrow{AllMgCl} Bi \xrightarrow{N}$$

 $(2,6-(Me_2NCH_2)_2C_6H_3)_2Bi(All)$

Схема 5.

Из пентафторэтиллития и треххлористого висмута в эфире при пониженной температуре получали *трис* (пентафторэтил) висмут $\text{Bi}(\text{CF}_2\text{-CF}_3)_3$ (схема 6), в котором длины связей Bi-C (2.331(5).

2.338(5), 2.351(5) Å) [8] максимальны в ряду производных R_3 Ві из-за повышения электроотрицательности алкильных заместителей при атоме висмута.

$$3F_{3}C - CF_{2}H \xrightarrow[-80^{\circ}C]{3H-BuLi} \xrightarrow{Et_{2}O/H-rekcaH} 3F_{3}C - CF_{2}Li \xrightarrow[-3H-BuH]{BiCl_{3}} \xrightarrow{Et_{2}O} \xrightarrow{-65^{\circ}C} \rightarrow Bi(CF_{2} - CF_{3})_{3}$$

Схема 6.

Стабильный висмабензол был синтезирован из алюминийорганического производного (схема 7) [9].

$$iPr_3Si$$
 Cl Cl Cl Et_2O IPr_3Si Bi $SiiPr_3$ IPr_3Si Bi $SiiPr_3$ IPr_3Si I

DBU = 1,8-диазабицикло[5.4.0]ундецен-7

Схема 7.

Предполагаемая ароматичность этого тяжелого бензола, включающего элемент шестого периода, была исследована методами РСА, ЯМР, УФ-спектроскопии, а также теоретическими расчетами. Структурный анализ полученного висмабензола выявил плоское кольцо, содержащие ненасыщен-

ные связи Bi—С и С—С. Также исследована реакция висмабензола с диметилацетилендикарбоксилатом (схема 8), в результате которой был синтезирован висма-[2.2.2]-бициклооктадиен, охарактеризованный методом РСА.

$$i Pr_{3} Si \qquad Bi \qquad Si i Pr_{3} \qquad bi \qquad Si i Pr_{3} \qquad i Pr_{3} Si \qquad Si i Pr_{3}$$

Схема 8.

Висмуторганическое производное пропеллеровидного *орто*-замещенного фтортрифенилсилана (висмасилатриптицен) синтезировали из хлорида висмута и *трис* (2-литийфенил)фторси-

лана, который получали по реакции литирования *трис* (2-бромфенил) фторсилана или *трис* (2-иодфенил) фторсилана бутиллитием в гексане (схема 9) [10].

$$FSi \xrightarrow{Si} FSi \xrightarrow{BiCl_3} Si$$

Схема 9.

Из данных PCA следовало, что взаимодействия между атомами кремния и висмута не наблюдалось несмотря на их большие размеры.

Висмуторганические соединения с N,C-арильным лигандом LBi(Ph)Cl и $LMPh_2$ были

получены с хорошим выходом из дихлорида ариллития $LBiCl_2$ (L = o-(CH=N-Dipp) C_6H_4) и фениллития в соотношении 1:1 или 1:2 (схема 10) [11].

Схема 10.

Несимметричные соединения $(C_6F_5)_2$ BiR и $[2,4,6-(C_6F_5)_3C_6H_2]_2$ BiR, где $R=2-(Me_2NCH_2)C_6H_4$, были получены по реакции $RBiBr_2$ с C_6F_5MgBr и $2,4,6-(C_6F_5)_3C_6H_2$ Li, соответственно, при мольном соотношении 1:2 [12]. Бромиды $R(C_6F_5)$ BiBr, R(Mes)BiBr и R(Ph)BiBr были получены из эквимолярных количеств $RBiBr_2$ и C_6F_5MgBr , MesMgBr или PhMgBr или из $PhBiBr_3$ и RLi в мольном соот-

ношении 1: 1. Во всех соединениях, содержащих диметиламинометильную группу в арильном лиганде, присутствует весьма прочная координационная связь Bi···N (2.511(9)—3.334(16) Å).

Продуктом реакции RLi (R = 2-(Et_2NCH_2) C_6H_4) с $BiCl_3$ в мольном соотношении 3:1 является триарилвисмут (2-(Et_2NCH_2) C_6H_4) $_3Bi$ (схема 11) [13].

По аналогичной схеме был получен (2-iPr₂NCH₂- C_6 H₄)₃Bi, в котором координационный полиэдр центрального атома представляет искаженный октаэдр (Bi-C 2.272(3), 2.276(3), 2.279(3) Å и тесные контакты Bi···N 3.052(3), 3.021(3), 3.074(2) Å) (схема 11) [14].

Производные (iPr₂P—Ace)₃Bi и (iPr₂P—Ace)₂BiPh (Ace = аценафтен-5,6-диил) были синтезированы из хлорида висмута и ариллития [15] по следующей схеме (схема 12).

$$i Pr_{2}P \qquad Li$$

$$BiCl_{3} (1:3) \qquad PhBiCl_{2} (1:2)$$

$$PiPr_{2}Ph \qquad PiPr_{2}$$

$$i Pr_{2}P \qquad Bi \qquad PiPr_{2}$$

$$i Pr_{2}P \qquad Bi \qquad (i Pr_{2}P-Ace)_{2}BiPh$$

Схема 12.

В [16] описан синтез нейтрального *трис*-2-пиридильного Ві-содержащего лиганда (6-Ме-2-Ру)₃Ві, который при действии $[Cu(MeCN)_4]^+[PF_6]^-$ в

растворе ацетонитрила превращается в комплекс меди $\{[(6-Me-2-Py)_3Bi]Cu(MeCN)\}^+[PF_6]^-$ (схема 13).

 $[((6-Me-2-Py)_3Bi)Cu(CH_3CN)]^+PF_6^-$

Схема 13.

Прибавление к $\{[(6-Me-2-Py)_3Bi]Cu(MeCN)\}^+-[PF_6]^-$ хлорида тетрабутиламмония приводит к ко-

личественному образованию димерного комплекса $[(6-Me-2-Py)Bi(6-Me-2-Py)_2CuCl]_2$ (схема 14).

[(6-Me-2-Py)Bi(6-Me-2-Py)₂CuCl]₂

Схема 14.

Реакция димезитил-1,8-нафталиндиилбората лития с хлоридом дифенилвисмута приводит к образованию 1-(дифенилвисмут)-8-(димезитилбор)нафталиндиила $\mathrm{Mes}_2\mathrm{B}(1,8\mathrm{-Napht})\mathrm{BiPh}_2$ (схема 15) [17].

Mes₂B(1,8-Napht)BiPh₂

Схема 15.

Из данных РСА следует, что 1,8-нафталиндиильный остов обеспечивает короткие расстояния $\text{Bi} \to \text{B} (3.330 \text{ Å})$. За счет взаимодействия $p(\text{Bi}) \to$ $\to p(\text{B})$ стабильность комплекса возрастает на 6.32 ккал/моль.

Соединения висмута (o-PPh $_2$ -C $_6$ H $_4$) $_2$ BiX (X = Me, C $_6$ F $_5$) были синтезированы из хлорида диарилвисмута и органиллития (схема 16) [18].

Cl
MeLi
TOTIYOTI
$$-78^{\circ}C$$
PPh₂ PPh₂
 O -PPh₂-C₆H₄)₂BiMe

Br
 C_6F_5Li
TICD
 O -PPh₂-C₆H₄)₂BiMe

 O -PPh₂-PPh₂
 O -PPh₂-PPh₂
 O -PPh₂-PPh₂
 O -PPh₂-PPh₂
 O -PPh₂-C₆H₄)₂Bi(C₆F₅)

Схема 16.

Br Br 1. PhLi PPh₂ Br 1. PhLi PPh₂ Br 2. Ph₂BiCl Ph₂ BiPh₂
$$tBu$$
 tBu tBu

Схема 17.

Атомы фосфора и висмута в Xan(PPh₂)(BiPh₂) имеют тетраэдрическое окружение, однако расстояние между ними (4.2096(15) Å) незначительно меньше суммы их ван-дер-ваальсовых радиусов 4.3 Å [20].

Новое соединение висмута $(n\text{-Tol})_2$ BiR (схема 18), содержащий амидный фрагмент, было синтезировано и структурно охарактеризовано [21].

$$n$$
-Tol n -T

Из данных РСА следует наличие внутримолекулярных взаимодействий между висмутом и карбонильным атомом кислорода. Центральный атом имеет псевдотригонально-бипирамидальную координацию. Соединение показало сильную антипролиферативную активность во всех протестированных клеточных линиях. В частности, комплекс был более чувствительным, чем аналогичное соединение сурьмы.

Комлекс с N,C,N-пинцерным лигандом — [2-(диметиламинометил)фенил]- δuc (4-метил-фенил)висмут (2-Me₂NCH₂C₆H₄)Ві(n-Tol)₂ получали из хлорида δuc (napa-толил)висмута и o-литий-N-диметилбензиламина [22]. В молекулах соединения наблюдаются внутримолекулярные контакты Ві···N (2.902(4) Å).

Соединения висмуга [2-{E(CH $_2$ CH $_2$) $_2$ NCH $_2$ }С $_6$ Н $_4$] $_3$ Ві, где E = О или MeN, синтезировали по реакции соответствующего *орто*-литиевого производного с трихлоридом висмута в мольном соотношени 3 : 1

[23]. Для R_3 Ві внутримолекулярные взаимодействия N Ві средней силы (3.170(7) Å для [2- $\{O(CH_2CH_2)_2NCH_2\}C_6H_4\}_3$ Ві и 3.211(5) Å для [2- $\{MeN(CH_2CH_2)_2NCH_2\}C_6H_4\}_3$ Ві) приводят к искажению октаэдрического (C,N) $_3$ Ві-ядра. Шестичленные кольца морфолина и пиперазина в этих комплексах принимают конформацию стула, которая препятствует внутримолекулярной координации атомов кислорода или азота.

Из замещенного ферроцениллития и хлорида дифенилвисмута получили $Ph_2Bi(2-Me_2NCH_2-Fc')$ (где $2-Me_2NCH_2-Fc'-$ ферроценильный заместитель $(2-Me_2NCH_2-C_5H_3)$ FeCp, содержащий дополнительную функциональную группу Me_2NCH_2 во втором положении ферроценильного кольца, связанного с атомом висмута), квартенизацией которого иодистым метилом получили ферроценильисмутинсодержащую соль аммония {[2- $(Me_3N^+CH_2)Fc]$ } [$Ph_2Bi(2-Me_3N^+CH_2-Fc')$][I] (схема 19) [24].

 $Ph_2Bi(2-Me_2NCH_2-Fc')$ $[Ph_2Bi(2-Me_3N^+CH_2-Fc')][I]^-$

Схема 19.

Молекулярное строение висмутинов $Ph_2Bi(2-Me_2NCH_2-Fc')$ и $[Ph_2Bi(2-Me_3N^+CH_2-Fc')][I]^-$ в кристаллическом состоянии было определено с помощью рентгеновской кристаллографии. В соединении $Ph_2Bi(2-Me_2NCH_2-Fc')$ не наблюдалось гипервалентного взаимодействия $Bi\cdots N$.

N,C,N-хелатированные хлориды висмута(III) LBiCl₂, где L=2,6- $(tBu-N=CH)_2C_6H_3$ и 2,6-(2',6'-1)

 $Me_2C_6H_3-N=CH)_2C_6H_3$) получали из производных лития и трихлорида висмута (схема 20) [25]. Обработка полученных дихлоридов арилвисмута $LBiCl_2$ алкил- или фениллитием (схема 20) приводит к образованию триорганильных соединений висмута $LBiR'_2$, в которых не наблюдаются внутримолекулярные контакты $Bi\cdots N$.

$$= NR \qquad \begin{array}{c} 1. \ \textit{H} - \text{BuLi}, \\ T\Gamma\Phi, -78^{\circ}\text{C} \\ 2. \ \text{BiCl}_{3}, \\ T\Gamma\Phi, -78^{\circ}\text{C} \\ \hline \\ = NR \end{array} \qquad \begin{array}{c} -\text{BiCl}_{2} \\ -\text{BiCl}_{2} \\ \hline \\ = NR \end{array} \qquad \begin{array}{c} -\text{BiCl}_{2} \\ L \text{BiCl}_{2} \\ \hline \\ = NR \end{array} \qquad \begin{array}{c} L = 2,6 - (t \text{Bu} - \text{N} = \text{CH})_{2} \text{C}_{6} \text{H}_{3} \\ L = 2,6 - (2',6' - \text{Me}_{2} \text{C}_{6} \text{H}_{3} - \text{N} = \text{CH})_{2} \text{C}_{6} \text{H}_{3} \\ \hline \\ = NR \\ \\ = NR \\ \hline \\ = NR \\ \\ = NR$$

Схема 20.

Вопросы синтеза триорганильных соединений висмута непосредственно связаны с поиском их возможного использования в тонком органическом синтезе [26]. С этой целью исследована реакционная способность ряда стерически затрудненных соединений триарилвисмута Ar_3Bi (Ar_3Bi

 $= (2-MeOC_6H_4)_3Bi$, $(2-MeC_6H_4)_3Bi$, Mes_3Bi , $(2,6-Me_2C_6H_3)_3Bi$, $(1-Napht)_3Bi$, $[2,4-(MeO)_2C_6H_3]_3Bi)$ в реакциях кросс-сочетания с арилиодидами или арилбромидами в присутствии Pd/Cu-содержащих соединений (схема 21).

$$3 \underbrace{ \begin{array}{c} \text{Pd/Cu Cat.} \\ \text{$\not \square$M$} \Phi A, \\ R_1 \end{array}}_{Pd/Cu Cat.} 3 \underbrace{ \begin{array}{c} \text{$\not \square$} \Phi A, \\ 90^{\circ} C, 3^{\circ} q \end{array}}_{Pd/Cu Cat.} 3 \underbrace{ \begin{array}{c} \text{$\not \square$} \Phi A, \\ \text{$\not \square$} \end{array}}_{R_1} Ar$$

Схема 21.

Ожидается, что это исследование откроет перспективы для дальнейшего применения этих реагентов висмута в тонком органических синтезе.

О подобном использовании функционализированных производных триарилвисмута в реакциях С-, N-и О-арилирования, катализируемых соединениями палладия и меди (схема 22), сообщали авторы [27].

Сообщается о катализируемыми соединениями палладия реакциях кросс-сочетания трифенилвисмута или функционализированного триарилвисму-

та (например, схема 23) с галогензамещенными пиридинами, пиразинами и пиридазинами, содержащими реакционноспособные фрагменты [28].

Реакции протекают в мягких условиях с превосходными выходами целевых продуктов.

Разработан хемоселективный медный катализатор реакции О-арилирования (1R,2R)-N-BOC-2-амино-1-(4-нитрофенил)-1,3-пропандиолов с использованием триарилвисмута, где BOC =

= *тем*-бутоксикарбонильная группа (схема 24). Метод позволяет переносить *орто*-, *мета*- и *пара*-замещенные арильные группы, имеет хорошую толерантность к функциональным группам и приводит к арилированию первичного спирта [29].

Кроме триарильных производных висмута с атомами азота в арильных заместителях описан синтез подобных комплексов с иными потенциальными координирующими центрами, такими как атом кислорода метоксигрупп. Так, *mpuc*(2-бром-5-метоксифенил)висмут синтезирован из

трихлорида висмута и 5-бром-2-метоксифениллития, полученного металлированием *пара*-броманизола фениллитием в эфире [30, 31].

Другие триорганильные соединения висмута (схема 25), в которых два атома висмута соединены между собой мостиковыми кислородсодержа-

щими лигандами, такими как $O\{(CH_2)_2BiPh_2\}_2$, $MeN(CH_2-2-C_6H_4BiR_2)_2$ и $S(CH_2-2-C_6H_4BiR_2)_2$

(R = Me, Ph), были получены и охарактеризованы методом PCA [32].

Показано, что в структурах $O\{(CH_2)_2BiPh_2\}_2$ и $S(CH_2-2-C_6H_4BiPh_2)_2$ наблюдаются гипервалентные взаимодействия между атомами О или S и атомами висмута ($Bi\cdots O$ 3.203(3), 3.126(3) Å при сумме ван-дер-ваальсовых радиусов висмута и кислорода 3.52 Å и $Bi\cdots S$ 3.3254(12), 3.3013(12) Å при сумме ван-дер-ваальсовых радиусов висмута и серы 3.8 Å) [20].

Новый фотосенсибилизатор [L⁺BiR][PF₆]⁻ на основе замещенного триарилвисмута LBiPh (схема 26) синтезирован из дихлорида фенилвисмута и литиевого производного $\mathit{fuc}(4$ -диметиламино-2-бромфенил)-2-толилметана путем его литирования $\mathit{втор}$ -ВиLi с последующим окислением n -хлоранилом образующегося LBiPh (схема 26). Целевое соединение получили с выходом 4% из LBiPh в виде соли гексафторфосфата [L⁺BiR][PF₆]⁻ [33].

Ряд новых фосфоресценцирующих материалов — соединений висмута с гетероциклическими

лигандами — получали из β , β -дилитиобитиофенов и дигалогенида фенилвисмута (схема 27) [34].

Br R'
$$\stackrel{\text{Br}}{\underset{\text{2. ArBiX}_2}{\text{R'}}}$$
 R' $\stackrel{\text{Bi}}{\underset{\text{Bi}}{\text{R'}}}$ R' $\stackrel{\text{Bi}}{\underset{\text{Bi}}{\text{R'}}}$ R' $\stackrel{\text{Bi}}{\underset{\text{N}}{\text{R'}}}$ R' $\stackrel{\text{R'}}{\underset{\text{N}}{\text{R'}}}$ R' $\stackrel{\text{R'}}{\underset{\text{N}}}$ R' $\stackrel{\text{R'}}{\underset{\text{N}}{\underset{\text{N}}}$ R' $\stackrel{\text{R'}}{\underset{\text{N}}}$ R'

Новое соединение висмута — [(2-ди-*n*-толилбисмутанофенил)диазенил]пирролидин (схема 28) — синтезировано из хлорида ди(*n*-толил)висмута и соответствующего соединения лития, полученного литированием 1-[(2-иодфенил)диазенил]пирролидина бутиллитием в тетрагидрофуране, и протестировано на биологическую активность в отношении линий опухолевых клеток человека [35].

$$N=N$$

$$\longrightarrow Bi(n-Tol)_2$$

Схема 28.

Показано, что соединение обладает сильным антипролиферативным эффектом.

Предложен новый способ синтеза триорганильных соединений висмута $Bi(2-C_4H_2X-5-R)_3$

из силанолов и алкоксидов или амидов висмута (схема 29) [36, 37].

Схема 29.

В полученных соединениях $Bi(2-C_4H_2X-5-R)_3$ (X = O, R = H; X = S, R = H; X = S, R = SiMe₃; X = NMe, R = H; X = Se, R = H) и $Bi(3-C_4H_3S)_3$, по данным PCA, наблюдаются межмолекулярные $Bi\cdots\pi$ -гетероареновые взаимодействия, например, как показано на схеме 29.

Производные триарилвисмута [2-(ArS)C₆H₄]_nBiAr_{3-n} с *орто*-тиоарильным заместителем удобно синтезировать путем вставки бензина в связь висмута с серой в соединения (ArS)_nBiAr_{3-n} (n=1, 2) (схема 30) [38].

$$Ar_{3}Bi \xrightarrow{g \to \mu u p} Ar_{2}BiCl \xrightarrow{Ar'SNa} Ar_{2}BiSAr'$$

$$(n-Tol)_{2}BiSPh + OTf SiMe_{3} \xrightarrow{CsF} SPh$$

$$Bi(n-Tol)_{2} X$$

$$X = H, Br, Me$$

$$Ar_{3}Bi \xrightarrow{g \to u p} Ar_{2}BiSAr'$$

$$SPh$$

$$Bi(n-Tol)_{2} X$$

$$T\Gamma\Phi, 0^{\circ}C$$

$$X = H, Br, Me$$

Схема 30.

Связь Bi—C в $[2-(2-BrC_6H_4S)C_6H_4]_n$ BiAr_{3—n} разрывается в присутствии Pd-катализатора, при этом образуется с хорошим выходом дибензотиофен. Рентгеноструктурное исследование 2-(2-BrC₆H₄S)C₆H₄Bi(n-Tol)₂ показывает присутствие внутримолекулярного контакта S···Bi (3.397(2) Å), что значительно меньше суммы ван-дер-ваальсо-

вых радиусов данных элементов (4.2 Å [20]). Дегидробензол может внедряться сразу по двум связям Bi—S, что приводит к образованию функционализированных триарильных соединений висмута, синтез которых иными методами достаточно сложен (схема 31).

SH
$$(n-\text{Tol})\text{BiCl}_2$$
 X
 $X = H, Br, Me$

SiMe₃
OTf
 $KF, 18-Kpayh-6$
 $T\Gamma\Phi, 0^{\circ}C$
 X
 $X = H, Br, Me$

Схема 31.

Несколько гетероциклических соединений висмута C_4R_4BiAr (R=Et, Ph; Ar=Ph, Mes) и $L(Thi)_2BiMes$ были синтезированы с помощью

эффективного переноса металлоцикла с участием легкодоступных цирконоциклов и изучены их люминесцентные свойства (схема 32) [39].

$$2BiCl_3 + Ar_3Bi \xrightarrow{Et_2O} 3ArBiCl_2$$

$$Et \xrightarrow{ArBiCl_2} Et_2O \xrightarrow{Et_2O} Et \xrightarrow{Bi} Et$$

$$Et \xrightarrow{Et} C_4Et_4BiAr$$

$$Ar = Ph, Mes$$

$$Ar = Ph, Mes$$

$$Ar = Ph \Rightarrow Bi \Rightarrow Ph$$

$$C_4Ph_4BiAr$$

$$Ar = Ph, Mes$$

$$Cxema 32.$$

Азид-алкиновое циклоприсоединение, катализируемое соединением меди(I), в настоящее время широко используется в качестве надежного метода ковалентного соединения различных строительных блоков [40]. Использование висмуторганического ацетиленида R^1 —C=C- $BiAr_2$ устраняет не-

желательные реакции протодегалогенирования, и целевой продукт $N_3C_2(R^1R^2)$ — $BiAr_2$ выделяется из реакционной смеси с выходом до 99% (схема 33). На его основе описано получение различных функционализированных N-гетероциклических производных (схема 34).

$$R^{1} \stackrel{N=N}{\stackrel{N}{\longrightarrow}} R^{2}$$

$$R^{2} \stackrel{[Cu]}{\stackrel{[Cu]}{\longrightarrow}} R^{1} - C \equiv C - X$$

$$R^{2} \stackrel{[Cu]}{\longrightarrow} R^{1} - C \equiv C - X$$

$$R^{1} \stackrel{[Cu]}{\longrightarrow} R^{2}$$

$$R^{1} \stackrel{N=N}{\longrightarrow} R^{2}$$

$$R^{1} \stackrel{N=$$

- 1. PhC(O)Cl, Me₂N-Py, Et₃N (4:1:4)
- 2. Дифосген, Me_2N-Py , Et_3N , NucH (2:1:4:20) $R^3 = NEt_2$, OMe
- 3. Оксалил хлорид, *i*Pr₂NEt, NucH (2 : 3 : 20)
- 4. SOCl₂, *i*Pr₂NEt, NucH (2 : 2 : 20)

 $R^4 = NEt_2$, OMe

- 5. SOCl₂, Et₃N (2:2) или Br₂ (1.2 экв.)
- $R^5 = Cl. Br$

6. $NO^{+}[BF_{4}]^{-}$ (2 экв.)

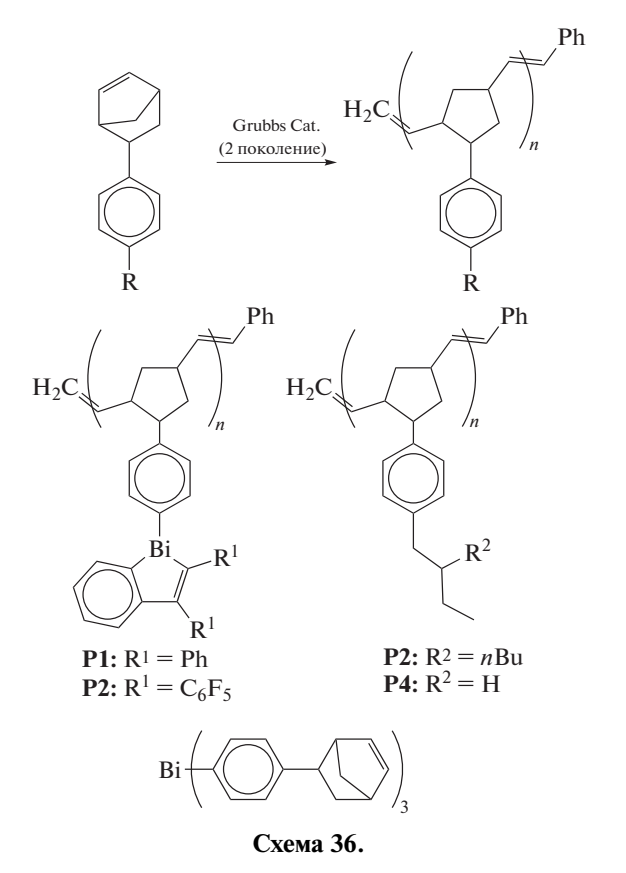
Схема 34.

В [41] сообщается о получении ряда фосфоресцирующих висмутсодержащих полимеров и блок-сополимеров с арилированными норборненами (схема 35).

$$R = Ph, C_6Cl_5 \qquad Ar = Ph, -C_6H_4$$

Схема 35.

Полученные полимеры с высокой молекулярной массой в углеродном каркасе имеют бензовисмолы, построенные с помощью реакций метатезиса с раскрытием кольца (схема 36).



Дипиридиновисмол DPyBi получали по реакции дилитиевого производного 2,2'-дибром-4,4'-бипиридила с дииодфенилвисмутом (схема 37). Циклическая вольтамперограмма данного соединения в ацетонитриле указывает на повышенное сродство к электрону по сравнению с бипиридилом без мостика. Это соединение и родственное производное сурьмы (DPySb) обладают слабой флуоресценцией при комнатной температуре и видимой фосфоресценцией при 77 К с максиму-

мами излучения $\lambda_{max}=453$ нм и временем жизни $\tau=1.03$ мс для DPySb и $\lambda_{max}=454$ нм, $\tau=0.26$ мс для DPyBi соответственно. Твердофазная фосфоресценция также наблюдалась на этих дипиридиногетеролах при 77 К. Взаимодействие DPyBi с $Cu_2I_2(PPh_3)_3$ приводит к получению соответствующего медного комплекса [(PPh $_3$)CuI(DPy-Bi)CuI(PPh $_3$)] $_2$, который демонстрирует красную фосфоресценцию в твердом состоянии при комнатной температуре [42].

ПРОИЗВОДНЫЕ ВИСМУТА ОБЩЕЙ ФОРМУЛЫ RBiX₂ И R₂BiX

Производные трехвалентного висмута, содержащие одну или две органические группы у атома металла, получают несколькими способами. Наиболее простым и достаточно эффективным является метод отщепления от триорганилвисмута органических заместителей соединениями, содержащими активный атом водорода. Другие, не менее эффективные способы синтеза указанных соединений, основаны на реакциях замещения, присоединения и внедрения.

Реакции отщепления органических заместителей от триорганилвисмута. Опубликована серия работ,

посвященных реакции дефенилирования трифенилвисмута карбоновыми кислотами, продуктами которых являются карбоксилаты арил- или диарилвисмута. Отличительна особенность карбоксилатов диарилвисмута — их полимерная структура, обусловленная бидентатными свойствами карбоксилатного лиганда. Однако подобные координационные полимеры представлены единичными примерами. Так, в [43] описан синтез 2-фенилкарборанилкарбоксилата дифенилвисмута по реакции замещения между трифенилвисмутом и 2-фенилкарборанилкарбоновой кислотой в бензоле (схема 38) и определены его структурные особенности методом РСА.

Схема 38.

По данным РСА, 2-фенилкарборанилкарбоксилат дифенилвисмута представляет собой координационный полимер, закристаллизовавшийся в виде сольвата с бензолом. Атомы висмута имеют бисфеноидную координацию с апикально расположенными атомами кислорода 2-фенилкарборанилкарбоксилатных заместителей. В экваториальной плоскости находятся два фенильных лиганда и неподеленная электронная пара.

Авторами [44] изучено взаимодействие трифенилвисмута с 4-нитрофенилуксусной и 2-нитробензойной кислотами в толуоле при 90°С. Показано, что при эквимолярном соотношении реагентов образуются бис(4-нитрофенилацетат) фенилвисму-

та и бис(2-нитробензоат) фенилвисмута с выходами 49 и 46% соответственно. Минорными продуктами реакций являются 4-нитрофенилацетат дифенилвисмута и 2-нитробензоат дифенилвисмута (27 и 16% соответственно).

С целью исследования влияния растворителя и природы карбоновой кислоты на образование карбоксилатов висмута, трифенилвисмут обрабатывали салициловой, 5-бромсалициловой, 3-метоксисалициловой, 5-клорантраниловой и N-ацетилантраниловой кислотами при мольном соотношении исходных реагентов 1:2 в различных условиях (схема 39) [45].

Схема 39.

Соединения (Ar—COO) $_2$ BiPhL (L = Me $_2$ C=O, EtOH) мономерны и содержат молекулу координированного растворителя в экваториальном положении у атома висмута в пентагональной пирамиде. Такая же геометрия найдена в [(Ar-COO) $_2$ BiPh] $_2$ -(4,4'-Bipy), где две такие единицы связаны вместе через 4,4'-бипиридиновый лиганд. Соединения (Ar—COO)BiPh(ROH)(OOC—Ar)Bi(Ar—COO) $_2$ Ph образуют димеры, в которых наблюдаются подобные координационные полиэдры атомов Bi. Соединения [(o-(NH—C(O)Me)—C $_6$ H $_4$ —COO) $_2$ BiPh] $_n$ и [(Ar—COO)BiPh(OOC—Ar)] $_n$ полимерные. В (Ar—COO) $_2$ BiPh(2,2'-Bipy) один из карбоксилатных лигандов бидентатный, в то время как другой

остается монодентным, отображая ту же структурную геометрию, что и для описанных ранее. Соединения μc -mpanc- $[(Ar-COO)_2BiPh(L)]_2$ (L = MeOH/MeCN), μc - $[(Ar-COO)_2BiPh]_2$, mpanc- $[(Ar-COO)_2BiPh]_2$ представляют собой димерные структуры, связанные между собой общими атомами кислорода карбоксилатных групп.

Три дикарбоксилата фенилвисмута получены дефенилированием трифенилвисмута *о*-метоксибензойной, *м*-метоксибензойной, 5-[(R/S)-2,3-дигидроксипропилкарбамоил]-2-пиридинкарбоновой кислотами (мольное соотношении 1 : 2) при кипячении смеси реагентов с обратным холодильником в метаноле или этаноле [46]. Прибав-

ление к реакционной смеси эквимолярного количества 2,2'-бипиридила (Віру) приводит к синтезу устойчивого комплекса [PhBi($O_2CC_6H_4OMe-o)_2$ -(Bipy)] · 0.5ЕtOH. Полученные комплексы охарактеризованы ЯМР-спектроскопией и протестированы на антилейшманиозную активность. Дополнительно оценена их токсичность для клеток млекопитающих. Комплексы висмута замещенных бензойных кислот показывают значительную антилейшманиозную активность против промастиготов L, majorV121 при очень низких концентрациях, в то время как соответствующие свободные карбоновые кислоты не проявляют действенной активности. Однако соединения висмута ингибируют рост клеток млекопитающих при всех изученных концентрациях (от 1.95 до 500 мкг/мл) после 48 ч инкубации.

Показано, что реакции трифенилвисмута с такими гетероциклическими карбоновыми кислотами как 3-гидроксипиколиновая, пиразин-2-карбоновая, хинолин-2-карбоновая (хинальдиновая), фу-

ран-2-карбоновая и тиофен-2-карбоновая кислоты, приводят к образованию карбоксилатов дифенилвисмута и дикарбоксилатов фенилвисмута [47]. По данным РСА, координационное число (**КЧ**) висмута в полученных комплексах вследствие координации потенциальных координирующих центров (гетероатомов и карбонильных атомов кислорода) изменяется от 5 до 8.

Повышение КЧ атома висмута имеет место в бис(хлорацетате) фенилвисмута, где хлорацетатные лианды являются тридентатными хелатно-мостиковыми, связывающими через атомы кислорода соседние молекулы в полимерные цепочки [48].

Два комплекса висмута (MICA) $_2$ ВiPh и (IGA) $_2$ ВiPh получали из индолкарбоновых кислот (MICAH = 1-метил-1H-индол-3-карбоновая кислота, IGAH = 2-(1H-индол-3-ил)-2-оксоуксусная кислота) и трифенилвисмута в кипящем этаноле (схема 40) [49].

Схема 40.

Комплексы охарактеризованы с помощью элементного анализа, ИК-, масс-спектроскопии, спектроскопии ЯМР (¹H, ¹³C). Комплекс (IGA)₂BiPh охарактеризован рентгеновской кристаллографией как димер в твердом состоянии. *In vitro* антибактериальную активность индолкарбоновых кислот и их комплексов висмута оценивали в отношении *Helicobacter pylori*. Соединения проявляют высокую активность против лейшманиоза без

какой-либо токсичности в отношении клеток млекопитающих при их эффективной концентрации.

В отсутствие растворителя из трифенилвисмута и 3-гидроксипиколиновой кислоты (**3-HpicH**) с последующей перекристаллизацией из диметилформамида был получен дикарбоксилат фенилвисмута (3-Hpic)₂BiPh (схема 41) [50].

$$\begin{array}{c|c} Ph & O & O \\ \hline O & O & N & OH \\ \hline Me_2NC(O)H & & \end{array}$$

Схема 41.

В молекулах комплекса атомы висмута гексакоординированы в искаженной пентагонально-пирамидальной геометрии с двумя атомами N, двумя атомами О хелатирующих

3-Нріс-лигандов, атомом кислорода молекулы растворителя в экваториальной плоскости и фенильным заместителем в апикальном положении.

Полиядерные оксокластеры висмута получены из трифенилвисмута и *орто*-нитробензойной кислоты в различных условиях (схема 42) [51].

Схема 42.

При мольном соотношении исходных реагентов 1:2 в этаноле получены $(2-NO_2-C_6H_4-COO)_2$ Ві(OEt) · ЕtOH и $(2-NO_2-C_6H_4-COO)$ Ві Ph_2 , которые первоначально кристаллизовались вместе, в то время как $(2-NO_2-C_6H_4-COO)_3$ Ві · H_2 О появился позже из отфильтрованного маточного раствора. Соединение $(2-NO_2-C_6H_4-COO)_2$ Ві(OEt) · ЕtOH является результатом этанолиза *in situ* продукта $(2-NO_2-C_6H_4-COO)_2$ ВіPh и далее подвергается гидролизу с получением кристаллов оксокластера $[Bi_{10}O_8(2-NO_2-C_6+COO)_2]$

 C_6H_4 — $COO)_{14}](EtOH)_x$. Рентгеноструктурные исследования монокристаллов четырех из пяти соединений (кроме $(2-NO_2-C_6H_4-COO)_2$ BiPh) показывают, что все они являются полимерными в твердом состоянии, KY(Bi) равно 9, 8, 5 соответственно.

N,C,N-Внутримолекулярно координированный оксид висмута(III) (ArBiO)₂, где Ar = 2,6-(Me₂NCH₂)₂C₆H₃, реагирует с 1,1'-ферроцендикарбоновой кислотой с образованием соответствующего биядерного карбоксилата (Fc(COO)₂BiAr)₂ (схема 43) [52].

Схема 43.

Соединение охарактеризовано с помощью ЯМР, рамановской, ИК-, УФ-видимой спектроскопии и РСА.

Фенантролиновый комплекс висмута [Bi(Phen)- $(C_6H_5COO)(C_6H_4COO)$] (Phen = 1,10-фенантролин) в виде коричневых кристалов был синтези-

рован из нитрата висмута, 2-меркаптобензойной кислоты, 1,10-фенантролина в качестве вспомогательного лиганда, азотной кислоты и оксида неодима в воде при 160°С в течение 3 сут (схема 44) [53]. Комплекс охарактеризован РСА, ИК-спектроскопией, ТГ-анализом.

 $[Bi(Phen)(C_6H_5COO)(C_6H_4COO)]$

Схема 44.

Очевидно, что появление бензоатной группы в комплексе обусловлено протекающей в гидротермальных условиях реакцией десульфирования 2-меркаптобензойной кислоты.

Два комплекса висмута $(Napht-C(O)S)_2BiPh$ (схема 45) и $(4-Br-C_6H_4-C(O)S)_2BiPh$, получен-

ные из тионафтойной и *п*-бромтиобензойной кислот и трифенилвисмута в растворе кипящего этанола (1 ч), были охарактеризованы и оценены на предмет активности *in vitro* против лейшманиоза и общей токсичности в отношении клеток фибробластов человека [54].

$$SH \xrightarrow{BiPh_3} O$$
 $S \xrightarrow{BiPh_3} O$
 $S \xrightarrow{BiPh_3} O$

 $(Napht-C(O)S)_2BiPh$

$$\begin{array}{c|c} O & Ph_2BiCl \\ CH_3OH/N_2 & \\ \hline SNa & \begin{array}{c} O^{\circ}C \\ \hline -NaCl \end{array} \end{array}$$

(Napht-C(O)S)BiPh2

Схема 45.

Необходимо отметить, что термолиз производных (R-C(O)S)Ві Ph_2 приводил к образова-

нию соединений $PhBiX_2$ и трифенилвисмута по реакции перераспределения радикалов (схема 46).

$$2 \sqrt{Br} - \sqrt{\frac{O}{S}} BiPh_2 \xrightarrow{\Delta - BiPh_3} \sqrt{Br} - \sqrt{\frac{O}{S}} BiPh$$

$$(4-Br-C_6H_4-C(O)S)BiPh_2 \qquad (4-Br-C_6H_4-C(O)S)_2BiPh$$

Схема 46.

По данным PCA, в комплексе $(4-Br-C_6H_4-C(O)S)_2$ ВіРh два тиокарбоксилатных лиганда координируются с атомом висмута, формируя искаженную октаэдрическую геометрию координационного узла, в которой фенильная группа и неподеленная пара ориентированы аксиально по отношению к плоскости, образованной двумя тиокарбоксилатными лигандами. Межмолеку-

лярные взаимодействия Bi "S (3.54 Å) связывают эти мономерные звенья в единое целое. Показано, что тиокарбоксилатные производные висмута в биологическом плане оказались более активными, чем соответствующие кислоты. Отмечают наиболее высокую активность комплексов (Napht—C(O)S) $BiPh_2$ и (4-Br- C_6H_4 —C(O)S) $_2BiPh$.

Несколько соединений висмута(III): (Ph-C(O)S)₂BiPh, (M-NO₂-C₆H₄-C(O)S)₂BiPh и (3-SO₃-C₆H₄-C(O)S)₂BiPh синтезировано из тиобензойных кислот и трифенилвисмута (схема 47) [55]. По реакции замещения из хлорида дифенилвисмута синтезировано производное с двумя фенильными группами при атоме висмута (Ph-C(O)S)BiPh₂, легко превращаемое по реакции перераспределения лигандов в монофенильный комплекс (Ph-C(O)S)₂BiPh.

$$2\text{Ph-C(O)SH} + \text{BiPh}_3 \longrightarrow (\text{Ph-C(O)S})_2 \text{BiPh}$$
 $\text{Ph-C(O)SNa} + \text{Ph}_2 \text{BiCl} \longrightarrow (\text{Ph-C(O)S}) \text{BiPh}_2$
 $2(\text{Ph-C(O)S}) \text{BiPh}_2 \Longrightarrow (\text{Ph-C(O)S})_2 \text{BiPh} + \text{BiPh}_3$
 Cxema 47.

По данным PCA, комплекс $(Ph-C(O)S)_2$ BiPh образует дискретные тетрамерные единицы, скрепленные длинными межмолекулярными связями Bi···S (3.774 Å). Исследована активность комплексов $(Ph-C(O)S)_2$ BiPh и (Ph-C(O)S)BiPh $_2$ против трех штаммов *Helicobacter pylori*. Показано, что высокий уровень бактерицидной активности не чувствителен к степени замещения у атома висмута.

Серия моноорганических дитиокарбоксилатных комплексов висмута $(Ar-C(S)S)_2BiR$ (R=Me, Ph, n-Tol; Ar=Ph, n-Tol) была синтезирована по реакциям замещения из триорганилвисмута, либо из дихлорида метилвисмута и дитиокарбоно-

вых кислот в присутствии триэтиламина в качестве акцептора HCl (схема 48) [56].

$$R_{3}Bi + 2Ar - C(S)SH \xrightarrow{-2RH} (Ar - C(S)S)_{2}BiR$$

$$MeBiCl_{2} + 2Ar - C(S)SH \xrightarrow{2 Et_{3}N} (Ar - C(S)S)_{2}BiMe$$

$$R = Me, Ph, n-Tol; Ar = Ph, n-Tol$$

Схема 48.

Соединения были охарактеризованы элементным анализом и спектроскопическими исследованиями. Молекулярное строение $(n\text{-Tol}-C(S)S)_2$ BiR (R = Ме или Ph) в кристаллическом виде установлено с помощью PCA. Показано, что атом висмута в этих соединениях принимает квадратно-пирамидальную конфигурацию с группой R в апикальном положении. Термолиз $(n\text{-Tol}-C(S)S)_2$ BiR (R = Ме или Ph) при кипячении с обратным холодильником в дифениловом эфире приводил к образованию нанокристаллов Bi_2S_3 . Комплекс $(n\text{-Tol}-C(S)S)_2$ BiPh использовался для осаждения тонких пленок Bi_2S_3 .

Обработка трифенилвисмута 4-метил-4H-1,2,4-триазол-3-тиолом (**4-МТТН**) или 2-меркап-то-1-метилимидазолом (**2-ММІН**) в смеси растворителей толуол—этанол при кипячении или микроволновом облучении приводит к окислению производных висмута и образованию в обоих случаях ярко-желтых веществ (4-ММТ)₄BiPh и (2-ММІ)₄BiPh, соответственно, время синтеза которых при облучении было наименьшим (7 мин) (схема 49) [57].

Схема 49.

Однако перекристаллизация комплексов (4-MMT)₄BiPh и (2-MMI)₄BiPh из ДМСО приводила к образованию производных трехвалентного висмута [(4-MMT)₂(4-MMTH)₂BiPh]₃ и [(2-MMI)₂-(2-MMIH)₃BiPh]₄.

Продуктами реакций тетразол-, имидазол- и тиадиазол-гетероциклических тиолов: 1-метил-1H-тетразол-5-тиол (**1-MMTZH**); 4-MTTH; 5-

метил-1,3,4-тиадиазол-2-тиол (**5-ММТDH**); 1,3,4-тиадиазол-2-дитиол (**2,5-DМТDH**₂) с трифенилвисмутом являются гетеролептические комплексы тиолатофенилвисмута общего вида (RS)₂BiPh, которые также были получены из дихлорида фенилвисмута и натриевой соли тиола (схема 50) [58]. Полученные комплексы были охарактеризованы спектральными методами и PCA.

Схема 50.

Проведена оценка бактерицидных свойств полученных соединений против
$$Mycobacterium\ smeg matis\ (M.\ smegmatis)$$
, золотистого стафилококка $(S.\ aureus)$, метициллинрезистентного золотистого стафилококка $(MRSA)$, устойчивого к ванкомицину энтерококка (VRE) , $Enterococcus\ faecalis$ $(E.\ faecalis)$ и $Escherichia\ coli\ (E.\ coli)$, наибольшую эффективность среди которых показали комплексы, содержащие лиганды $1\text{-MMTZ}\ u\ 4\text{-MTT}$: $(1\text{-MMTZ})_2(1\text{-MMTZH})_2$ BiPh и $(4\text{-MTT})_2(4\text{-MTTH})_2$ BiPh. Все комплексы показали незначительную или нулевую токсичность в отношении клеток $COS-7$ млекопитающих при $20\ mr/mл$.

Тиолатовисмутовый комплекс $(5-MMTD)_2(4-MMTH)$ ВіРһ был синтезирован из тиадиазол- и триазол-гетероциклических тионов и структурно охарактеризован (схема 51) [59].

$$HN^{-N}$$
 Me HN^{-N} Me S^{-N} Me S^{-MMTDH} $4-MMTH$ $3 - MMTDH + 4-MMTH$ $3 - MMTDH$ 3

Схема 51.

Показано, что комплекс проявляет антибактериальные свойств против золотистого стафилококка, ванкомицин-резистентного энтерококка, *E. faecalis*, *E. coli* и низкую токсичность по отношению к клеточным линиям COS-7 млекопитающих в дозе 20 мкг/мл.

Из 4-фенилтиазол-2-тиола (**MBTH**) и трифенилвисмута или $BiPhCl_2$ и соответствующего тиолата натрия (NaMBT) был получен (MBT)₂BiPh (схема 52) с выходом до 89% в различных условиях (без растворителя, $100^{\circ}C$, 4 ч; кипячение раствора толуола, 6 ч; микроволновое облучение, толуол, $115^{\circ}C$, 15 мин; метиловый спирт, 12 ч, $24^{\circ}C$), охарактеризованный методом PCA [60].

$$\begin{array}{c|c} Ph & Ph & Ph \\ HN & S & S & S \\ \hline S & S & S \\ \hline MBTH & (MBT)_2BiPh \\ \end{array}$$

Схема 52.

Показано, что комплекс $(MBT)_2$ BiPh, являющийся в кристалле димером, проявляет хорошую антилейшманиозную активность, обладает активными бактерицидными свойствами против микобактерий смегматис, MRSA, E. faecalis, устойчивый к VRE и E.coli и имеет низкую токсичность по

отношению к клеткам COS-7 млекопитающих при $20~{\rm Mkr/mn}$.

Ряд 5-замещенных фенилтиазолоксадиазолетионов вида (X-PTOT)₂BiPh, где X = Me, MeO, MeS, F, Cl, Br, CF₃; PTOTH = 5-(2-фенилти-

азол-4-ил)-1,3,4-оксадиазол-2-тиол) (схема 53), был синтезирован из трифенилвисмута и соот-

ветствующих тиоамидов или из дихлорида фенилвисмута и натриевых солей тиоамидов [61].

$$X$$
-PTOTH X -MeO, MeO, MeS, F, Cl, Br, CF₃

Схема 53.

Комплексы (Cl-PTOT) $_2$ Вi-Ph и (Br-PTOT) $_2$ Вi-Ph после перекристаллизации из ДМСО были структурно охарактеризованы с помощью PCA как (X-PTOT) $_2$ Вi-Ph $_2$ DMSO (X = Cl, Br). Оценены антибактериальные свойства тионов и их Bi(III)-комплексов против *Mycobacterium smegmatis*, S. aureus, MRSA, VRE, E. faecalis и E. coli. Показано, что все комплексы висмута(III) высокоэффективны против всех бактерий, так как имеют очень низкие значения минимальной ингибирующей концентрации (МИК) (1.1-2.1 мкМ). Эти комплексы показали незначительную токсичность или отсутствие токсичности в отношении клеток COS-7 млекопитающих при 20 мкг/мл.

Комплексы висмута(III) [(Sac)BiPh₂]_n, [(Sac)₂BiPh]_n, [(Tsac)₂BiPh]_n, [(Tsac)₂BiPh]_n (SacH = сахарин, ТsacH = тиосахарин) были синтезированы и охарактеризованы в [62]. Отщепление одной фенильной группы от атома висмута наблюдалось при кипячении эквимолярных количеств трифенилвисмута и сахарина или тиосахарина в этаноле в течение 30 мин (схема 54).

$$\begin{array}{c|c}
O & O \\
S & O \\
NH & BiPh_3
\end{array}$$

$$\begin{array}{c|c}
S & N \\
S & BiPh_2
\end{array}$$

(Tsac)BiPh2

Схема 54.

При мольном соотношении 1:2 и увеличении времени нагревания до 1 ч имело место образование производных $PhBiX_2$ с выходом до 73%. Структуры $[(Sac)BiPh_2]_n$ и $[(Tsac)BiPh_2]_n$ были подтверждены методом рентгеновской кристал-

лографии. В $[(Sac)BiPh_2]_n$ мостиковые лиганды Sac связывают группировки Ph₂Bi с четырехкоординированным атомом висмута через атом азота (Bi-N 2.353(4) Å) и один из атомов кислорода SO_2 -группы (Bi···O 2.605(4) Å). Однако в структуре $[(Tsac)BiPh_2]_n$ тиосахариновый лиганд σ -связан через экзоциклический атом серы, образуя тиолатный комплекс, подтверждая более тиофильный характер висмута(III). В кристалле комплекса $[(Tsac)BiPh_2]_n$ также содержатся полимерные цепочки с формально четырехкоординированными атомами висмута. Была оценена активность комплексов против *H. pylori*. Активность зависит как от лиганда, так и от степени замещения лиганда. Сахаринатные комплексы $[(Sac)BiPh_2]_n$ и $[(Sac)_2BiPh]_n$ проявляют активность, сравнимую со стандартными для трикарбоксилатов висмута(III) (6.25 мкг/мл), в то время как активность тиолатных комплексов висмута резко возрастала с увеличением количества тиолатных групп. Сахарин, тиосахарин и трифенилвисмут являлись неактивными.

В [63] сообщалось о синтезе $\mathit{buc}(2,5$ -диметилбензолсульфоната) фенилвисмута с выходом 94% из трифенилвисмута и 2,5-диметилбензлсульфоновой кислоты в толуоле. По данным РСА, атомы висмута с учетом стереохимически активной неподеленной электронной пары имеют искаженную октаэдрическую координацию, которую без "фантом"-лиганда можно рассматривать как квадратно-пирамидальную с атомами кислорода в экваториальных положениях и атомом углерода фенильной группы в аксиальном. Атом висмута выходит из средней экваториальной плоскости О₄ на 0.19 Å в направлении, противоположном атому углерода. Транс-углы в экваториальной плоскости ОВіО равны 177.7(1)° и 164.1(1)°. Два угла СВіО $(89.0(5)^{\circ}, 88.8(5)^{\circ})$ близки к теоретическому значению, тогда как другие два угла СВіО $(81.6(5)^{\circ}, 82.5(5)^{\circ})$ значительно отклоняются от него. Длина связи Bi-C равна 2.247(5) Å. Валентные связи Bi-O(2.394(9), 2.390(9) Å) и координационные связи Ві…О (2.396(10), 2.403(10) Å) практически не отличаются между собой.

О получении и характеристиках двух координационных полимеров винилсульфонатов висмута(III) сообщалось в [64]. Синтез комплексов

висмута осуществляли из трифенилвисмута и винилсульфоновой кислоты в этаноле или ацетонитриле (схема 55).

Схема 55.

Строение соединений доказано спектральными методами анализа и PCA. В кристалле координационного полимера $[(Vin-SO_3)BiPh_2]_n$ (Vin = винил) атомы висмута с учетом стереохимически активной неподеленной электронной пары имеют координацию искаженной тригональной бипира-

миды, в которой атомы кислорода занимают апикальные позиции с углом OBiO 164.7(3)°. Один фенильный заместитель соседней молекулы ориентирован на атом висмута (Ві···арен 3.42 Å) при почти перпендикулярном расположении атома висмута над центром фенильного кольца (схема 56).

Схема 56.

Кристалл координационного полимера [(Vin- SO_3)₂BiPh]_n содержит два типа кристаллографически независимых молекул, которые не взаимодействуют друг с другом. Молекулы каждого типа образуют вдоль кристаллографической оси b полимерную цепочку, в которой атомы висмута связаны между собой через атомы кислорода сульфонатных лигандов. Координационные сферы атомов висмута лучше всего описать как квадратную пирамиду с фенильным заместителем в вершине, а с учетом стереохимически активной неподеленной пары электронов как псевдооктаэдр.

Три органосульфоната дифенилвисмута $(R-SO_3)BiPh_2$, где R=n-толил (n-Tol), мезитил (Mes) или S-(+)-10-камфорил (S-(+)-10-Самрh), были синтезированы взаимодействием эквимолярных количеств трифенилвисмута и органосульфоновой кислоты в спирте с выходом целевого продукта до 99% (схема 57) [65]. Перекристаллизация соединений из ацетона сопровождается реакцией перераспределения лигандов и образованием полимерного 6uc(органосульфонато)фенилвисмута $[(R-SO_3)_2BiPh]_x$ и трифенилвисмута.

$$R-SO_3H \xrightarrow[-C_6H_6]{BiPh_3} (R-SO_3)BiPh_2 \xrightarrow[-yBiPh_3]{AlleroH} [(R-SO_3)_2BiPh]_x$$

Схема 57.

R = n-Tol, Mes, S-(+)-10-Camph

По данным PCA, комплексы (Mes-SO₃)BiPh₂ и (S-(+)-10-Camph $-SO_3$)ВіРh $_2$ структурно очень похожи со структурами полимерных спиральных цепей, в которых атомы висмута, имеющие тригонально-бипирамидальное окружение, соединены с атомами кислорода сульфонатных групп с почти линейными углами ОВіО. Два фенильных кольца с стереохимически активной парой электронов находятся в экваториальной плоскости, аксиальные положения занимают атомы кислорода. Присутствие одного сульфонатного лиганда в соединениях (R-SO₃)BiPh $_2$ приводило к резкому увеличению бактерицидной активности в отношении бактерии *H. pylori* относительно трифенилвисмута и сульфокислоты, которые были практически неактивными. В комплексах $[(R-SO_3)_2BiPh]_x$ (R = = n-Tol, Mes) атомы висмута связаны между собой двумя мостиковыми органосульфонатными лигандами через атомы кислорода. Координация атомов висмута октаэдрическая, одно положение занято неподеленной электронной парой; длины связей Bi—С и Bi—О составляют 2.226(7), 2.221(10) Å и 2.361(4)—2.384(7) Å соответственно. Восьмичленные кольца, состоящие из атомов висмута, кислорода и серы, обладают конформацией "кресло", два противоположных атома кислорода выходят из плоскости остальных (компланарных в пределах 0.09 Å) в разные стороны на 0.93 Å.

Обработка трифенилвисмута 5-сульфосалициловой кислотой (H_3 Ssal) приводит к образованию гидрата сульфосалицилата фенилвисмута (HSsal)BiPh· H_2 O и его этанольного аналога (HSsal)BiPh· EtOH [66]. По данным PCA, оба комплекса в твердом состоянии являются полимерами с каркасами, построенными из димерных [(HSsal)Bi]₂. Первый из данных гетеролептических комплексов демонстрирует замечательную растворимость в воде (10 мг/мл), в результате чего получается прозрачный раствор с рН 1.5. Напротив, второй комплекс (с этанолом) практически нерастворим в воде. Комплексы проявляют значительную активность в отношении бактерии H. pylori.

Трифлат дифенилвисмута был получен из трифлата димезитилтеллура и трифенилвисмута и встречным синтезом из трифенилвисмута и трифторметансульфоновой кислоты (схема 58) [67].

$$2 Mes_{2} Te + F_{3} C - SO_{3} H \xrightarrow{-MesH} [MesTe(TeMes_{2})]O_{3}S - CF_{3}$$

$$-Mes_{2} Te \\
-Mes_{2} Te \\
-Mes_$$

Схема 58.

По данным РСА, трифлат дифенилвисмута представляет собой полимер, в котором фрагменты Ph_2Bi связаны между собой через мостиковые атомы кислорода трифлатных групп (2.531(6), 2.473(5) Å).

Взаимодействие трифенилвисмута с 1,1,2,3,3-пентаметилтриметилен-фосфиновой кислотой $\{\text{сус-P(O)OH} \cdot 2H_2O\}$ в тетрагидрофуране при нагревании и комнатной температуре приводит к образованию 16-членного макроцикла $[(\text{сус-PO}_2)_8 - (\text{BiPh})_4]$ и полимера $[(\text{сус-PO}_2)\text{BiPh}_2]_n$ соответственно $(\text{сус-PO}_2 = 1,1,2,3,3$ -пентаметилтриметиленфосфинат) (схема 59) [68].

Схема 59.

В обоих комплексах, охарактеризованных методом РСА, анизобидентатные фосфинатные лиганды мостиковые.

Взаимодействие фосфатного диэфира $(tBuO)_2PO(OH)$ с $BiPh_3$ в соотношении 1:1 при комнатной температуре в этаноле дает координа-

ционный полимер $[((tBuO)_2PO_2)BiPh_2]_n$, в котором атомы висмута соединены изобидентатными лигандами $[(tBuO)_2PO_2]$ (схема 60) [69].

$$tBuO \xrightarrow{P} OtBu \xrightarrow{BiPh_3} Ph OtBu \xrightarrow{Bi} OtBu OtBu$$

Схема 60.

Термолиз соединения при 700°C дает чистую фазу BiPO₄.

Новый координационный полимер [($Me_2N-C(S)S$)ВіРhCl], был синтезирован из диметилдитиокарбамата натрия и трифенилвисмута (мольное соотношение 2:1) в смеси растворителей (метанол—тетрагидрофуран ($25^{\circ}C$, 24 ч) и охарактеризован ИК-, ЯМР 1 H-спектроскопией и PCA [70]. В кристалле квадратно-пирамидальные блоки с фенильным лигандом в апикальном положении связываются между собой мостиковыми атомами хлора, образуя одномерную спиральную цепь (схема 61).

Схема 61.

Комплекс обладает высокой фотокаталитической активностью, показанной на примерах метиленового синего, родамина В и метилового фиолетового.

Иные методы синтеза производных висмута **RBiX**₂ и **R**₂**BiX**. Соединения трехвалентного висмута с одним или двумя органическими заместителями при атоме висмута можно получать несколькими способами, среди которых достаточно эффективными являются методы, основанные на реакциях органических производных активных металлов с тригалогенидами висмута. Так, была получена серия производных трехвалентного висмута tBu_2BiX (X = Cl, Br, I, CN, N₃, SCN) [71]. Хлорид tBu₂BiCl получали реакцией трихлорида висмута с двумя эквивалентами tBuMgCl, тогда как соединения tBu_2BiX (X = Br, I, CN, SCN) синтезированы из tBu_3BiX_2 . Азид tBu_2BiN_3 был получен по реакции tBu₂BiCl с NaN₃. Кристалл tBu₂Bi(CN) состоит из полимерных цепей, в которых группы tВи₂Ві связаны между собой Ві-С≡№Ві мостиками (расстояние N...Ві составляет 2.548 Å).

Описаны подходы к синтезу первых адамантильных комплексов висмута из адамантилмагнийбромида или адамантиллития и 1- и 2-адамантилцинкбромидов (схема 62) [72].

Схема 62.

Молекулярное строение бромида *бис*(2-адамантил)висмута в кристаллическом состоянии подтверждено методом РСА.

По схемам классического элементоорганического синтеза получен ряд пентафторэтильных производных висмута $\operatorname{Et}^F{}_n\operatorname{BiX}_{3-n}(\operatorname{Et}^F=\operatorname{CF}_2-\operatorname{CF}_3,X=F,\operatorname{Cl},\operatorname{Br},\operatorname{I}),$ охарактеризованых PCA [8]. Их химические свойства, индуцированные сильным электроноакцепторным характером пентафторэтильных групп, показаны на примерах реакций с галогенводородными кислотами и солями некоторых элементов (схема 63).

$$Et_2^FBiPh$$
 $\xrightarrow{HX, \Delta}$ Et_2^FBiX $X = Cl, Br$

$$Et^{F}BiPh_{2} \xrightarrow{\frac{2 \text{ HX}, \Delta}{-2C_{6}H_{6}}} Et^{F}BiX_{2} \\ X = Cl, Br \\ Et^{F}_{2}BiPh \xrightarrow{\text{Phen}} Phen \\ Et^{F}_{2}BiPh \xrightarrow{-C_{6}H_{6}} Et^{F}_{2}BiF \xrightarrow{\text{AgF}} Et^{F}_{2}BiCl \\ \begin{bmatrix} Et^{F}_{1}Et^{F} & Et^{F}_{1}Et^{F} \\ 1 & Bi-I-Bi \end{bmatrix} Ph_{4}P]^{+} \xrightarrow{\text{[Ph_{4}P]^{+}I^{-}}} Et^{F}_{2}BiI \\ \end{bmatrix}$$

Схема 63.

Четыре новых стерически перегруженных терфенилзамещенных дигалогенида висмута типа $[Ar^mBiX_2]_2$, m = 1, 2 $(Ar^1 = 2,6-Mes_2-C_6H_3, X = Br, I; Ar^2 = 2,6-Mes_2-4-tBu-C_6H_2, X = Cl, Br) синтезирова-$

ны и структурно охарактеризованы (схема 64) [73]. В то время как соединения $[Ar^1BiBr_2]_2$, $[Ar^2BiCl_2]_2$, $[Ar^2BiBr_2]_2$ димерны в твердом состоянии, диодид висмута $[Ar^1BiI_2]_n$ — одномерный координационный полимер.

Ar
1
MgBr $\xrightarrow{BiBr_{3}}$ Ar 1 BiBr $_{2}$ \xrightarrow{KI} Ar 1 BiI $_{2}$

Ar 2 MgBr $\xrightarrow{BiBr_{3}}$ Ar 2 BiBr $_{2}$ $\xrightarrow{(BoдH.)}$ Ar 2 Bi(OH)Br

BiCl₃ Ar 2 HP(O)OH $-$ H $_{2}$ O

Ar 2 BiBr $_{x}$ Cl $_{2-x}$ (Ar 2 HP(O)O)BiAr 2 Br

Ar 1 , R = H

Ar 2 , R = t Bu

Mes

Cxema 64.

При гидролизе соединения $[Ar^2BiBr_2]_2$ имеет место образование гидроксида арилбромвисмута $Ar^2Bi(OH)Br$, который был выделен вместо ожидаемого монооргановисмутдигидроксида. Устойчивость $Ar^2Bi(OH)Br$ к дальнейшему гидролизу можно объяснить внутримолекулярными π -взаи-

модействиями висмут···арен. Реакция $Ar^2Bi(OH)Br$ со стерически перегруженной фосфиновой кислотой $Ar^2PH(O)(OH)$ дает фосфинаторгановисмут $(Ar^2HP(O)O)BiAr^2Br$. Рентгеноструктурный анализ данного соединения выявил необычную двойную π -внутримолекулярную координацию висмут···арен (схема 65).

С целью исследования внутримолекулярных взаимодействий $\text{Ві} \dots \pi$ -арен был синтезирован ряд соединений непереходных металлов, в состав которых входили объемные амидные лиганды $[(R_3\text{Si})N(\text{Ar*})]$ ($\text{Ar*} = 2,6-(\text{CHPh}_2)_2-4-t\text{Bu-C}_6\text{H}_2$, R = Me, Ph), которые синтезировали по схеме 66 [74].

Схема 65.

Схема 66.

Наименьший контакт $Bi \cdots \eta^6 - \pi$ -арен наблюдается в катионном комплексе $[(R_3Si)N(Ar^*)BiCl]^+$ - $[AlCl_4]^-$ (2.85–2.98 Å). В остальных комплексах висмута расстояния $Bi \cdots C$ ($\eta^6 - \pi$ -арен) приближаются к сумме ван-дер-ваальсовых радиусов висмута и углерода, указывающие на слабое взаимодействие между ними. Отметим, что подобный контакт наблюдался в 3,4,5-трифторбензоатном

четырехъядерном комплексе висмута с толуолом $Bi_4(O)_2(O_2CC_6H_2F_3-3,4,5)_8\cdot 2(\eta^6-C_6H_5Me)$, в котором расстояние $Bi\cdots C$ ($\eta^6-\pi$ -арен) достигало значения 3.02 Å [75].

Реакция Ph_2BiCl с PhSLi или $(2,6-Me_2C_6H_3)SLi$ дает Ph_2BiSPh и $Ph_2BiSC_6H_3Me_2-2,6$ соответственно [76]. Оба соединения охарактеризованы ИК-, Раман, ЯМР 1 H- и 13 C-спектроскопией и

РСА. Показано, что структура Ph_2BiSPh является полимерной с межмолекулярными взаимодействиями Bi(1) "S(2) (3.309(1) Å) и длиной связи Bi-S 2.588(1) Å. При увеличении объема фенилтиолатного лиганда в $Ph_2BiSC_6H_3Me_2$ -2,6 комплекс кристаллизуется в виде мономера.

Плохо растворимые в органических растворителях бесцветные кристаллы метоксида диметилвисмута [Me_2BiOMe]_{∞} образуются при взаимодействии бензольного раствора триметилвисмута с кислородом воздуха (12 ч) [77]. По данным РСА, комплекс является координационным полиме-

ром, в котором MeO-лиганды соединяют фрагменты Me_2Bi в цепи; длины связей Bi—O равны 2.359(6) и 2.344(6) Å, что больше суммы ковалентных радиусов Bi и O (2.18 Å [20]), а расстояния C—Bi (2.243(6), 2.243(6) Å) обычны для такого типа соединений [78].

В основе одного из методов синтеза некоторых висмуторганических соединений лежат реакции внедрения малых молекул. Так, показано, что в катионный висмутамид встраивается монооксид углерода по связи Bi—N в мягких условиях (схема 67) [79].

Комбинированный экспериментальный и теоретический подход позволил понять механизм введения СО, который можно распространить и на изонитрилы.

Найдено, что полученный из 1,8-бис((триметилсилил)амино)нафталина и *тис*(диметиламида)висмута амид висмута 1,8- $C_{10}H_6(NSiMe_3)_2Bi$

 ${
m NMe_2}$ реагирует с 2-бензоилпиридином, 3-пиридинкарбоксальдегидом, 2-метил-2-пропеннитрилом и диэтилацетилендикарбоксилатом с образованием продуктов присоединения по связи ${
m Bi-N}$ (схема 68) [80]. Полученные соединения охарактеризованы PCA и спектральными методами анализа.

SiMe₃

$$R = R'$$

$$R = Me, R' = CN$$

$$R = R'$$

$$R$$

С помощью амида висмута $1.8-C_{10}H_6(NSiMe_3)_2Bi-NMe_2$ можно синтезировать производные трехвалентного висмута с такими углеводородными заместителями, как Me, C_5Me_5 и C=CPh (схема 69) [81].

Строение соединений доказано спектроскопией ЯМР 1 H, 13 C и 29 Si и PCA.

Показано, что для 1,2,4,3-триазаборол-3-ил-дифенилвисмута (L^{N3B})BiPh $_2$ характерны реакции

внедрения малых молекул арилизонитрилов (ArNC) и монооксида углерода по связи B-Bi (схема 70) [82].

Схема 70.

Исходное соединение (L^{N3B}) $BiPh_2$ получали из амидразона (схема 71), комплексы (L^{N3B}) $BiPh_2$ и

 (L^{N3B}) —C(=NPh)— $BiPh_2$ были охарактеризованы методом PCA.

Схема 71.

Изучена реакционная способность трибромида висмута по отношению к N-гетероциклическому карбену 1,3-бис(2,6-диизопропилфенил)-имидазол-2-илидену (**Dipp-NHC**) [83]. Показано, что добавление одного молярного эквивалента трибромида висмута к раствору IPr в диэтиловом эфире приводит к образованию аддукта (Dipp-NHC) · ВіВг₃, который мгновенно осаждается из

реакционной смеси в виде ярко-желтых кристаллов с выходом 90% (схема 72). Показано, что 1 : 1 аддукт (Dipp-NHC) · BiBr₃ легко изомеризуется при нагревании до 75°C (12 ч) с образованием бесцветных кристаллов цвиттер-иона (схема 72, внизу слева), а его реакция с бромидом алюминия к ионному комплексу [(Dipp-NHC)BiBr₂] $^+$ [AlBr₄] $^-$ (схема 72, внизу справа).

Схема 72.

В [84] описаны синтез и структурные характеристики первых аддуктов N-гетероциклического карбена с хлоридом висмута (схема 73). По реакции N-гетероциклического карбена *i*Pr—NHC^{Me} с BiCl₃ получено соединение (*i*Pr—NHC^{Me})BiCl₃ (схема 73),

прибавление к раствору которого триметилсилилтрифторметансульфоната приводило к образованию аддукта (iPr-NHC Me)BiCl $_2$ (OTf)(THF), димерное строение которого в кристаллическом виде установлено с помощью PCA.

Описан синтез первых стабилизированных комплексами висмута циклических (алкил)(амино)карбенов (E12 CAAC)Bi(Ph)Cl₂ и (Cy CAAC)Bi(Ph)Cl₂, ко-

торые получали из карбенов и дихлорида фенилвисмута (схема 74) [85].

Схема 74.

Комплексы висмута также могут быть получены депротонированием стабильных на воздухе солей $[^{Et2}CAAC-H]_2^{2+}[Cl_2(Ph)Bi(\mu-Cl_2)Bi(Ph)Cl_2]^{2-}$ и $[^{Cy}CAAC-H]_2^{2+}[Cl_2(Ph)Bi(\mu-Cl_2)Bi(Ph)Cl_2]^{2-}$ с помощью бис(триметилсилил)амида калия $K[N(SiMe_3)_2]$. В другой работе этих же авторов сообщается о синтезе карбен-стабилизированного висмутиниденового комплекса $(^{Et2}CAAC)_2Be$, который используют в

качестве восстанавливающего агента и реагента переноса лиганда (схема 74) [86].

Аддукт (CDP^{Ph})BiCl₃ гексафенилкарбодифосфорана (CDP^{Ph}) с трихлоридом висмута получен в растворе ТГФ при комнатной температуре (схема 75) [87]. Обработка (CDP^{Ph})BiCl₃ трифлатом TMS—OTf привела к образованию комплекса (CDP^{Ph})BiCl(OTf)₂.

Схема 75.

Все соединения охарактеризованы спектральными методами анализа и РСА.

Кинетически стабилизированный аналог карбена. содержащий ион висмутения [(2.6-

 $Mes_2C_6H_3)_2Bi]^+[BAr_4^F]^-(Mes=2,4,6-Me_3C_6H_2,Ar^F=3,5-(CF_3)_2C_6H_3))$ был получен из гидрида диарилвисмута и соли трифенилкарбения (схема 76) [88].

$$\begin{array}{c|c} \text{Mes Mes} \\ H \\ -Bi \end{array} \qquad \begin{array}{c} \xrightarrow{[Ph_3C]^+[BAr_4^F]^-} \\ -Ph_3CH \end{array} \qquad \begin{array}{c} \text{Mes Mes} \\ Bi \end{array} \qquad \begin{array}{c} \text{Bi} \\ -Bi \end{array} \qquad \begin{array}{c} \text{Bi} \\ -Ph_3CH \end{array} \qquad \begin{array}{c} \text{Mes Mes} \\ -Ph_3CH \end{array}$$

Схема 76.

Для тяжелого бирадикала $[Bi(\mu-N(2,6-Mes_2C_6H_3))]_2$ проведены реакции [2+2]-присоединения с использованием ацетилена или толана (схе-

ма 77), в результате чего образуются гетероциклические соединения, строение которых доказано PCAF [89].

 $[Bi(\mu-N(2,6-Mes_2C_6H_3))]_2$

Схема 77.

Весьма интересны реакции висмуторганических производных, сопровождающиеся образованием органических соединений неординарного строения. Так, в [90] была изучена реакционная способность аминовисмутана $Mes*N(SiMe_3)BiCl_2$ (Mes*=2,4,6-три-*mpem*-бу-

тилфенил) с органическими производными металлов. Показано, что синтез $Mes*N(SiMe_3)Bi-Cl_2$ с выходом 33% сопровождается образованием продукта сочетания двух молекул $Mes*N(SiMe_3)H$ с выходом 60% (схема 78).

$$Mes^* - N \xrightarrow{BiCl_3} Mes^* - N \xrightarrow{BiCl_3} Mes^* - N \xrightarrow{BiCl_2} + tBu \xrightarrow{tBu} N \xrightarrow{SiMe_3} + Bi_{black}$$

$$Mes^* N(SiMe_3)Li \qquad Mes^* N(SiMe_3)BiCl_2 \qquad tBu \qquad tBu$$

Схема 78.

Реакция Mes*N(SiMe₃)BiCl₂ с GaCl₃ привела к образованию только [Mes*N(SiMe₃)BiCl]⁺[GaCl₄]⁻ (схема 79). Использование соли Ag[WCA] (WCA = слабо координирующий анион) для связывания хлоридов позволило выделить продукт сочетания

C-C. Также были синтезированы дииодид $Mes*N(SiMe_3)BiI_2$ и азидохлоридное соединение $Mes*N(SiMe_3)Bi(N_3)Cl$, однако синтез указанных производных не сопровождался образованием продуктов сочетания.

$$[GaCl_{4}]^{-}$$

$$[GaCl_{4}]^{-}$$

$$Me_{3}Si$$

$$Me_{3}Si$$

$$Me_{3}Si$$

$$Me_{3}Si$$

$$Me_{3}Si$$

$$Me_{3}Si$$

$$Mes^{+}-N$$

$$BiCl_{2}$$

$$Mes^{+}N(SiMe_{3})BiCl_{2}$$

$$Mes^{+}N(SiMe_{3})BiCl_{2}$$

$$Mes^{+}N$$

$$BiI_{2}$$

$$Mes^{+}N(SiMe_{3})BiI_{2}$$

$$Mes^{+}N(SiMe_{3})Bi(N_{3})Cl$$

$$Mes^{+}N(SiMe_{3})Bi(N_{3})Cl$$

Схема 79.

В [91] описаны синтез и свойства фосфинатов висмута(III). Так, при обработке трифенилвисмута перфторалкилфосфиновой кислотой имеет

место отщепление одной или двух фенильных групп от атома висмута (схема 80).

$$(C_2F_5)_2$$
Р(O)OH CH_2 Cl₂ 5 ч, кипячение $((C_2F_5)_2$ Р(O)O)ВiPh₂ Ph₃Bi $((C_2F_5)_2$ Р(O)OH $((C_2F_5)_2$ Р(O)O)₂ВiPh MeOH $((C_2F_5)_2$ Р(O)O) $((C_2F_5$

Схема 80.

Приведены примеры успешного применения полученных фосфинатов висмута в реакциях об-

разования углерод-углеродных связей (например, схема 81).

$$\begin{array}{c} O \\ CyO-\overset{|}{S}-Me + Ph-OMe \\ & \overset{(6.5 \text{ Mol. }\%)}{\underbrace{}_{90^{\circ}C, 3 \text{ q}}} \\ -\text{MeSO}_{3}H \\ & O \\ & Cat = ((C_{2}F_{5})_{2}P(O)O)_{2}BiPh \\ & & O \\ & & & \underbrace{}_{0.15 \text{ Mol. }\%)} \\ & & & \underbrace{}_{Cat} \\ & & & \underbrace{}_{(0.15 \text{ Mol. }\%)} \\ & & & & \underbrace{}_{CH_{2}Cl_{2}} \\ & & & & \underbrace{}_{T_{KOMH}, \ 0.5 \text{ q}} \\ & & & & O \\ & & & & \underbrace{}_{CH_{2}Cl_{2}} \\ & & & & & \underbrace{}_{T_{KOMH}, \ 1 \text{ q}} \\ & & & & & \underbrace{}_{CN} \\ & & & & & \underbrace{}_{N} \\ &$$

Схема 81.

В [92] описаны реакции карбометаллирования смешением галогенида висмута, углеродного нуклеофила и ненасыщенного углеводорода, причем

изменение типа галогена в соли висмута переключает региоселективность реакции (схема 82).

$$BiX_{3} + CH_{2} = CH - R^{1} + R^{2} O R^{4} R^{3} OR^{4} R^{4}OOC R^{2} R^{1}$$

$$BiX_{3} + CH_{2} = CH - R^{1} + R^{2} OR^{4} R^{3} OR^{4} R^{2} R^{1}$$

$$BiCl_{2}$$

Схема 82.

Необходимо отметить, что условия проведения реакций определяют количественный состав продуктов (схема 83).

Карбовисмутинизация алкина была подтверждена РСА продукта реакции трибромида висмута с 3,5-ди(*трет*-бутил)фенилацетиленом и диметил-кетентриметилсилилметилацеталем в хлористом метилене при комнатной температуре, когда

единственным продуктом является дибромид моноалкенилвисмута, выделенный из реакционной смеси в виде бесцветных кристаллов с количественным выходом (схема 84) [93].

Схема 84.

Рентгеноструктурный анализ данного дибромида моноалкенилвисмута выявил *цис*-конформацию висмута и ароматического заместителя при двойной связи; что подтверждает регио- и стереоселективный характер карбовисмутинирования. Кристалл состоит из тетрамеров, образующихся за счет бромидных мостиков. Геометрия атомов висмута — искаженная тригонально-бипирамидальная с атомами брома в аксиальных положениях. Алкенильная группа, атом бром и неподеленная электронная пара занимают экваториальные позиции. Показано, что алкенилвис-

мут легко реагирует с иодом, при этом образуется алкенилйодид с сохранением стереохимии.

В [94] описано превращение связей С—Н в более реакционноспособные связи С—М, поддающиеся дальнейшей функционализации, что имеет фундаментальное значение в синтетической химии. Показано, что преобразование нейтральных соединений висмута в их катионные аналоги может быть использовано в качестве стратегии для облегчения реакций активации связей С—Н (схема 85).

2Bi(NPh₂)₃
$$\xrightarrow{T\Gamma\Phi, T_{KOMH}}$$
 Ph₂N-Bi $\xrightarrow{NPh_2}$ Ph₂N-Bi $\xrightarrow{NPh_2}$ Tr Φ OTf $\xrightarrow{T\Gamma\Phi, T_{KOMH}}$ Py, Ph N-Bi OTf \xrightarrow{Py} Py OTf \xrightarrow{Bi} OTf \xrightarrow{Py} Ph N-Ph

Металлоорганические продукты первого и второго этапов активации связей С—Н были выделены с высоким выходом. Данные РСА и DFT-расчеты показали необычные свойства основного

состояния этих соединений (кольцевая деформация и умеренная гетероароматичность).

Синтез соединений висмута с полидентатными арильными лигандами. В последнее время интенсивно развивается химия арильных соединений висмута с полидентатными лигандами при центральном атоме металла. Наиболее простыми представителями данного класса являются В-дикетонатные производные висмута, которые можно синтезировать из трифенилвисмута и В-дикетона. Так, были получены первые примеры F-содержащих дикетонатных комплексов арилвисмута – бис(гексафторацетилацетонат) фенилвисмута(III) (Hfac)₂BiPh и его аддукты $(Hfac)_{2}BiPh(L)$ (HfacH = 1,1,1,5,5,5-гексафтор-2,4-пентандион; $L = H_2O$, Me_2CO , THF, DMAA (N,N-диметилацетамид), ДМСО, PhCN, а также смешанный комплекс гексафторацетилацетонатотрифторацетат фенилвисмута, [(Hfac)Bi- $Ph(CF_3COO)$], (схема 86), которые охарактеризованы РСА [95].

$$\begin{split} Ph_{3}Bi \xrightarrow{\frac{2HfacH}{-2C_{6}H_{6}}} (Hfac)_{2}BiPh \xrightarrow{L} (Hfac)_{2}BiPh(L) \\ L &= H_{2}O,\,Me_{2}CO,\,THF,\,DMAA,\,DMSO,\,PhCN \\ Ph_{3}Bi \xrightarrow{\frac{CF_{3}COOH}{-2C_{6}H_{6}}} 0.5\,[(Hfac)BiPh(CF_{3}COO)]_{2} \xrightarrow{\frac{HfacH}{-C_{6}H_{6}}} Ph_{2}Bi(CF_{3}COO) \end{split}$$

Комплекс (Hfac)₂BiPh выделяют из реакции трифенилвисмута с 1,1,1,5,5,5-гексафтор-2,4пентандионом (мольное соотношение 1:2) в сухом гексане. Соединение $[(Hfac)BiPh(O_2CCF_3)]_2$ было синтезировано из эквимолярных количеств Ph₃Bi, HfacH и CF₃COOH, по второму методу использовали трифторацетат дифенилвисмута Ph₂BiO₂CCF₃ и β-дикетон (Hhfac). Попытки вырастить монокристаллы (Hfac), BiPh из растворов некоорлинирующих растворителей оказались безуспешными. Однако в присутствии координирующих растворителей (Hfac), BiPh образует желтые кристаллы соответствующих аддуктов (Hfac), BiPh(L), выделяющихся из гексанового раствора (Hfac), BiPh в присутствии малых количеств Н₂О, Ме₂СО, ТНГ, DMAA, DMSO и PhCN. Все выделенные комплексы чувствительны к воздуху, умеренно растворимы в метаноле, ацетоне, дихлорметане и хлороформе, в меньшей степени – в диэтиловом эфире и углеводородах. Полученные соединения охарактеризованы ИК-, ЯМР-спектроскопией и РСА. В ИК-спектрах, как и ожидалось, наблюдаются полосы, отвечающие валентным колебаниям групп C=O в области 1634-1640 см $^{-1}$, что значительно отличается от аналогичной полосы, наблюдаемой в ИК-спектре свободного HfacH (1689 см $^{-1}$), и указывают на хелатирующий характер лиганда.

Из данных PCA следует, что конфигурация атома металла в аддуктах (Hfac) $_2$ BiPh(L) представляет собой пятиугольную пирамиду. Двухъядерный комплекс [(Hfac)BiPh(CF $_3$ COO)] $_2$ состоит из двух искаженных пятиугольных пирамид, соединенных в димеры с помощью мостиковых карбоксилатных групп.

Несколько большим числом в литературе представлены соединения висмута, содержащие бидентатные C,N-лиганды у атома висмута, которые, как правило, синтезируют из галогенидов висмута и производных активных металлов. Например, бромид $(2-(iPr_2NCH_2)C_6H_4)_2$ ВіВг был получен из реактива Гриньяра и трихлорида висмута (схема 87) [96].

$$\begin{array}{c|c}
NiPr_2 & NiPr_2 \\
Br & 2. BiBr_3 \\
Br & Bi \\
Br & NiPr_2
\end{array}$$

Схема 87.

Соединение $(2-(iPr_2NCH_2)C_6H_4)_2BiBr$ было охарактеризовано методами многоядерной ЯМР-спектроскопии, масс-спектрометрии и PCA.

Длина связи Bi—Br (2.7294(10) Å) короче, чем у других родственных производных R_2 BiBr (для $R = 2-(Me_2NCH_2)C_6H_4$ 2.8452(7), $2-(Et_2NCH_2)C_6H_4$ 2.7517(10), 2.7484(10), 2.8084(11) Å) [78]. Один из атомов азота не координирован с центральным атомом металла, однако расстояние между вторым атомом азота и атомом висмута Bi····N (2.737(6) Å) несколько больше суммы их ковалентных радиусов (2.19 Å, [20]), но существенно меньше суммы ван-дер-ваальсовых радиусов указанных элементов (3.94 Å, [20]), что указывает на взаимодействие между ними. Валентный угол BrBiN (164.80(13)°) меньше идеального значения

 180° и сопоставим с найденными в соединениях R₂BiBr.

С помощью комбинации выше указанных методов были получены хлориды диарилвисмута [13]. Так, реакция RLi или RMgBr (R=2-(Et_2NCH_2) C_6H_4) с трихлоридом висмута в молярном соотношении 2:1 дает R_2 BiCl и R_2 BiBr соответственно (схема 88); по реакции перераспределения радикалов может быть получен дихлорид арилвисмута RBiCl₂, в котором атомы хлора легко могут быть заменены на атомы брома или иода действием водных растворов бромистого или иодистого калия.

Схема 88.

В полученных моногалогенидах один азот координируется с атомом висмута (2.557(8)-2.645(6) Å), тогда как второй практически не координирован с центральным атомом металла (2.992(12)-3.170(8) Å). Общее ядро $(C,N)_2$ ВіХ $(X=C,B)_2$ ВіХ

Аналогично синтезировали бромиды $R(C_6F_5)BiBr$, R(Mes)BiBr и R(Ph)BiBr (R=2-(Me_2NCH_2) C_6H_4) из эквимолярных количеств $RBiBr_2$ и C_6F_5MgBr , MesMgBr или PhMgBr или из $PhBiBr_2$ и RLi в молярном соотношении 1:1 (схема 89) [12].

$$\begin{split} RBiBr_2 &\xrightarrow{ArMgBr_2} & R(Ar)BiBr \\ Ar &= C_6F_5, \, Mes, \, Ph \\ R &= 2\text{-}(Me_2NCH_2)C_6H_4 \\ PhBiBr_2 &\xrightarrow{RLi} & R(Ph)BiBr \end{split}$$

Схема 89.

По сходным схемам были получены и структурно охарактеризованы $\delta uc(2-((диметиламино)-метил)фенил)азидовисмут (2-(Me₂NCH₂)C₆H₄)₂BiN₃ и диазид (2-(диметиламинометил)фенил)висмута (2-(Me₂NCH₂)C₆H₄)Bi(N₃)₂ [14]. В качестве промежуточного продукта использовали триарилвис-$

мут, из которого по реакции перераспределения радикалов получали соответствующие хлориды арил- и диарилвисмута. Последние действием избытка иодида натрия в тетрагидрофуране превращали в иодиды, обработка которых азидом серебра приводила к целевым продуктам (схема 90).

NMe₂

$$-3\text{LiC} \qquad \frac{\text{BiCl}_3 (2:1)}{\text{TOJIYOJI}} \qquad \frac{\text{NMe}_2}{\text{PiCl}} \qquad \frac{\text{NMe}_2}{-\text{NaCl}} \qquad \frac{\text{NMe}_2}{\text{BiI}}$$

$$-3\text{LiCl} \qquad \frac{\text{BiCl}_3 (3:1)}{\text{TOJIYOJI}} \qquad \frac{\text{NMe}_2}{\text{TITO}} \qquad \frac{\text{NMe}_2}{-\text{NMe}_2} \qquad \frac{\text{NMe}_2}{\text{BiCl}_2 \qquad \frac{\text{TITO}}{-2\text{NaCl}}} \qquad 3 \qquad \frac{\text{BiCl}_2}{\text{BiI}_2} \qquad \frac{\text{NMe}_2}{\text{BiI}_2}$$

$$NMe_2 \qquad \qquad \text{BiCl}_2 \qquad \frac{\text{TITO}}{-2\text{NaCl}} \qquad 3 \qquad \qquad \text{BiI}_2$$

$$NMe_2 \qquad \qquad \text{NMe}_2 \qquad \qquad \text{BiI}_2 \qquad \frac{\text{NMe}_2}{-2\text{NaCl}} \qquad 3 \qquad \qquad \text{BiI}_2$$

$$NMe_2 \qquad \qquad \text{BiI}_2 \qquad \qquad \text{BiI}_2 \qquad \qquad \text{BiI}_2$$

$$n = 2, x = 1 \qquad (2 - (\text{Me}_2\text{NCH}_2)\text{C}_6\text{H}_4)\text{2BiN}_3$$

$$n = 1, x = 2 \qquad (2 - (\text{Me}_2\text{NCH}_2)\text{C}_6\text{H}_4)\text{Bi}(\text{N}_3)_2$$

$$\text{Cxema 90.}$$

Полученные соединения представляют собой редкие примеры азидов висмута. В то время как в кристалле моноазида (2-(Me_2NCH_2) C_6H_4) $_2BiN_3$ присутствовали мономерные молекулы с координацией атомов азота аминогрупп на центральный атом (2.555(2), 3.131(3) Å), то диазид (2-(Me_2NCH_2) C_6H_4) $Bi(N_3)_2$, в котором координация атома азота аминогруппы с центральным атомом металла весьма существенна (2.568(2) Å), представлен в виде димера с двумя типами соединения

азидогрупп. Кроме того, слабые ван-дер-ваальсовы взаимодействия между этими центросимметричными димерами приводят к цепочечной структуре в кристалле.

Триоргановисмутины $R(C_6F_5)_2$ Ві и $R[2,4,6-(C_6F_5)_3C_6H_2]_2$ Ві, где $R=2-(Me_2NCH_2)C_6H_4$, были синтезированы из $RBiBr_2$ и C_6F_5MgBr или $2,4,6-(C_6F_5)_3C_6H_2$ Lі соответственно в молярном соотношении 1:2 (схема 91) [12].

Аналогичным образом были получены бромиды $R(C_6F_5)$ BiBr, R(Mes)BiBr и R(Ph)BiBr из RBiBr₂ и C_6F_5 MgBr, MesMgBr, PhMgBr или из PhBiBr₂ и RLi в эквимолярном соотношении (схема 91). Молекулярные структуры данных соединений определены методом PCA. В хиральных бромидах $R(C_6F_5)$ BiBr, R(Mes)BiBr и R(Ph)BiBr ($R=2-(Me_2NCH_2)C_6H_4$) в твердом состоянии наблюдается сильная внутримолекулярная координация $N\to$ Bi. Расстояния N-Bi в данных соединениях примерно одинаковы, что указывает на отсут-

ствие влияния второго органического заместителя (C_6F_5 , Ph, Mes) на длину координационной связи N···Bi.

Хлориды (2-{E(CH₂CH₂)₂NCH₂}C₆H₄)₂BiCl, где E = O, MeN, и дихлориды (2-{E(CH₂CH₂)₂NCH₂}C₆H₄)BiCl₂, где E = O, MeN, синтезированы по реакции соответствующего *орто*литиевого производного с трихлоридом висмута в соответствующих молярных соотношениях (схема 92) [23].

2-{O(CH₂CH₂)₂NCH₂}C₆H₄ 2-{MeN(CH₂CH₂)₂NCH₂}C₆H₄

Схема 92.

Дигалогениды $(2-\{E(CH_2CH_2)_2NCH_2\}C_6H_4)BiX_2$, где X = Br, E = O, MeN; X = I, E = O, MeN, а также $(2-(Me_2NCH_2)C_6H_4)BiBr_2$ получены реакциями галогенидного обмена между RBiCl, и избытком водного раствора КХ. Во всех соединениях атомы азота координированы с атомами висмута. В монохлоридах один атом азота сильно координирован с атомом висмута (2.660(11) Å в (2-{O(CH₂CH₂)₂NCH₂}C₆H₄)₂BiCl и 2.744(14) Å в (2- $\{MeN(CH_2CH_2)_2NCH_2\}C_6H_4\}$ ВіСІ), тогда как второй участвует в слабом внутримолекулярном взаимодействии $N \rightarrow Bi \ (3.095(11) \ \text{Å} \ \text{в} \ (2-$ {O(CH₂CH₂)₂NCH₂}C₆H₄)₂BiCl и 3.061(14) Å в (2- $\{MeN(CH_2CH_2)_2NCH_2\}C_6H_4\}$ ВіСІ). В целом ядро (C,N)2BiCl тетрагонально-пирамидальное. Кристаллы дигалогенидов (2- $\{O(CH_2CH_2)_2NCH_2\}C_6H_4\}_2BiCl_2$ и $(2-(Me_2NCH_2)C_6H_4)BiBr_2$ содержат дискретные димерные единицы. Атом азота аминогрупп в (C,N)Bi X_2 (X = Cl, Br) ядра координирован на атом металла (2.548(9) Å в (2-{O(CH_2CH_2) $_2$ NC H_2 }С $_6$ H $_4$) $_2$ BiCl $_2$ и 2.485(13) Å в (2-(Me_2NCH_2)С $_6$ H $_4$)ВiBr $_2$). В кристаллах данных двух соединений и (2-{O(CH_2CH_2) $_2$ NC H_2 }С $_6$ H $_4$) $_2$ BiCl образуются супрамолекулярные архитектуры, основанные на межмолекулярных взаимодействиях Ві \cdots Вг, СІ \cdots Н и Вг \cdots Н. Шестичленные морфолиновые и пиперазиновые кольца принимают конформацию стула, которая препятствует внутримолекулярной координации атомов кислорода или азота на атом висмута.

Четыре устойчивых к воздуху гипервалентных соединения органовисмута $R_2BiCl\ c\ (C,O)$ - или (C,S)-хелатирующими лигандами, где R=2- $(MeECH_2)C_6H_4\ (E=O\ или\ S)$, а также $(2-(MeOCH_2)C_6H_4)_2Bi(OTf)$ и $[\{2-(MeSCH_2)-C_6H_4\}_2Bi]^+[OTf]^-$ получены из трихлорида висмута и литийарила (схема 93) [97].

$$EMe$$

$$Br \xrightarrow{1. H-BuLi} EMe$$

$$EMe$$

$$AgOTf$$

$$AgOTf$$

$$AgCI$$

$$E=O, S$$

$$E=O, S$$

$$E=O, S$$

$$E=O, S$$

Схема 93.

В отличие от первых трех соединений, ионный комплекс $[\{2-(\text{MeSCH}_2)\text{C}_6\text{H}_4\}_2\text{Bi}]^+[\text{OTf}]^-$ состоит из висмутсодержащих катионов и трифлатных анионов. Соединение $[2-(\text{MeOCH}_2)\text{C}_6\text{H}_4]_2\text{Bi}(\text{OTf})$ показало хорошую каталитическую эффективность и возможность повторного использования в реакциях аллилирования различных альдегидов тетрааллилоловом в метаноле (или $\text{ТГ}\Phi$, MeCN, EtOH, $T_{\text{комн}}$, 1 ч) для получения соответствующих

гомоаллильных спиртов с выходом до 96% (схема 94).

Ph
$$\stackrel{\text{Cat}}{\longleftarrow}$$
 + 1/4All₄Sn $\stackrel{\text{(5 MOII. \%)}}{\longrightarrow}$ Ph $\stackrel{\text{Cat}}{\longleftarrow}$ Cat = (2-(MeOCH₂)C₆H₄)₂Bi(OTf)

Схема 94.

Взаимодействием хлоридов органовисмута(III) R_2BiCl и $RBiCl_2$, где R=2-(Me_2NCH_2) C_6H_4 , с псевдогалогенидами щелочных металлов в молярном соотношении 1:1 и 1:2 соответственно, получены соединения гипервалентного висмута R_2BiX (X=NCO, SeCN) и $RBiX_2$ (X=NCO, NCS и SeCN) (схема 95) [98].

Определена молекулярная структура соединений $R_2Bi(NCO)$, $R_2Bi(SeCN)$. Во всех комплексах атомы азота аминогрупп участвуют во внутримолекулярной координации с металлом, что приводит к искаженной квадратной координационной геометрии атома висмута.

Реакции эквимолярных количеств хлорида R_2 BiCl, где R = 2-(Me_2NCH_2) C_6H_4 , с солями натрия или серебра (NaSCN, AgOTf или AgNO₃) приводят к замещению атома хлора на другой электроотрицательный заместитель и образованию производных висмута R₂Bi(NCS), R₂Bi(OTf) и R₂BiNO₂ соответственно (схема 95). Структуры данных соединений были определены методом РСА [99]. Оба атома азота аминогрупп участвуют во внутримолекулярной N...Ві координации разной силы. Для изотиоцианата R_2 Bi(NCS) это приводит к искаженному квадратно-пирамидальному ядру $(C,N)_2$ BiN. В случае трифлата R_2 Bi(OTf) и нитрата R_2 BiNO₃ оксоанионы сильно координированы к асимметрично атому Ві через атомы кислорода (Ві---О 2.337(12) -3.317(15) Å В R₂Bi(OTf) 2.476(5)-3.088(5) Å в R₂BiNO₃). Таким образом, для соединений R₂Bi(OTf) и R₂BiNO₂ наблюдается пентагонально-пирамидальная координация атома висмута.

Хлорид мезитил(2-диметиламинометилфенил) висмута R(Mes)BiCl, где $R=2-(Me_2NCH_2)C_6H_4$, получен из дихлорида мезитилвисмута (схема 96) [100].

$$MesBiCl_{2} \xrightarrow[-LiCl]{RLi} \\ Mes_{M_{c}} \downarrow \\ NMe_{2} \\ R(Mes)BiCl \\ R$$

Схема 96.

Комплекс R(Mes)BiCl при обработке трифлатом серебра превращается в R(Mes)BiOTf. Последовательные реакции R(Mes)BiCl c AgPF $_6$ и Et $_3$ PO приводят к синтезу [R(Mes)Bi(OPEt $_3$)] $^+$ PF $_6^-$, в котором связь Bi-N (2.501(5) Å) более длинная, чем в R(Mes)BiOTf (2.446(2) Å).

Неоднозначность реакций литийорганических соединений с трихлоридом висмута показана в [101]. Так, взаимодействие эквимолярных

количеств $BiCl_3$ с (Dipp-NacNac)Li (Dipp-NacNac)Li (Dipp-NacNac) = Dipp-N-C(Me)=CH-C(Me)=N-Dipp, Dipp = 2,6-iPr $_2$ C $_6$ H $_3$) в различных условиях приводили к синтезу разнообразных соединений висмута: [(Dipp-NacNac)BiCl $_2$] $_2$, [(Dipp-NacNac)Bi,Cl(μ -Cl)Bi(nBu)Cl(μ -Cl)] $_2$, [LBiCl(μ -Cl)] $_2$ (L = N(Ar)=C(Me)CH=C(NHAr)CH $_2$) и L'Bi $_2$ Cl $_4$ (L' = N(Ar)=C(Me)CC(Me)=N(Ar)) (схема 97).

Схема 97.

Соединения [(Dipp—NacNac)BiCl₂]₂ и [LBi-Cl(μ -Cl)]₂ являются изомерами, и термическая конверсия от [(Dipp—NacNac)BiCl₂]₂ в [LBiCl(μ -Cl)]₂ была реализована. В этой реакционной системе при небольшом избытке μ -BuLi и BiCl₃ выделяли [(Dipp—NacNac)BiCl(μ -Cl)Bi(μ -Bu)Cl(μ -Cl)]₂ как побочный продукт после выделения [(Dipp—NacNac)BiCl₂]₂. Строение комплексов подтверждено

данными спектроскопии ЯМР ¹Н и ¹³С и рентгеновской кристаллографии.

Дихлорид арилвисмута LBiCl₂ (L = o-(CH=N-2,6-iPr₂C₆H₃)C₆H₄]) реагирует с дифенилдихалькогенидом PhEEPh (E = S, Se или Te) с образованием соответствующих комплексов LBi(EPh)₂ (E = S, Se, Te), из которых в различных условиях можно синтезировать производные висмута с одной или двумя группами EPh (схема 98) [102].

$$i$$
Pr — i P

Схема 98.

Устойчивость соединений L_2 Bi(EPh) обусловлена жесткой координацией обоих атомов-доноров азота лиганда L с атомом висмута.

По сходной схеме из эквимолярных количеств LLi, где $L = 2,6-(MeN(CH_2CH_2)_2NCH_2)_2C_6H_3$, и

 $BiCl_3$ был получен дихлорид арилвисмута $LBiCl_2$, содержащий (N,C,N)-лиганд (схема 99). $LBiBr_2$ и $RBiI_2$ были получены реакциями обмена галогена из $LBiCl_2$ [103].

Схема 99.

Данные дигалогениды арилвисмута(III) LBi-Hal $_2$ были охарактеризованы как в растворе, так и в твердом состоянии. Молекулярное строение соединений в кристаллическом виде установлено методом PCA. Все они имеют Т-образное ядро CBiHal $_2$, стабилизированное двумя сильными внутримолекулярными взаимодействиями $N \to Bi$ в *транс*-положениях друг к другу. Общее $(N,C,N)BiHal_2$ -ядро имеет искаженную квадрат-

но-пирамидальную координационную геометрию с арильным лигандом в вершине. ЯМР-спектроскопические исследования подтверждают наличие внутренней координации азот—висмут в растворе.

Дихлорид арилвисмута вида L^*BiCl_2 , содержащий тридентатный N,C,N-лиганд L^* (схема 100), использовали в качестве прекурсора для синтеза мономерного соединения висмута L^*Bi [104].

Схема 100.

Реакция L^*BiCl_2 с двумя эквивалентами $K[B(iBu)_3H]$ в $T\Gamma\Phi$ протекает с изменением цвета реакционной смеси на темно-синий, при этом за-

метно выделение газа, что указывало на образование нестабильного гидрида $LBiH_2$, который сразу теряет водород. Соединение L^*Bi выделяли кристаллизацией из насыщенного гексанового раствора в виде темно-синего микрокристаллического порошка с выходом 35%. Соединения охарактеризованы элементным анализом и спектрами $SMP^{-1}H$ и ^{13}C в дейтерированном бензоле, в которых присутствовали сигналы, соответствующие лиганду L^* .

С целью сравнения координационной химии Bi^{3+} и лантанидов Ln^{3+} , имеющих аналогичные размеры ионов, исследованы некоторые реакции хлорида диарилвисмута с (N,C,N)-лигандами $(2,6-(Me_2NCH_2)_2C_6H_3)_2BiCl$ (L_2BiCl) (схема 101) [6].

$$L_{2}BiAll \qquad L_{2}Bi(OtBu)$$

$$-MgCl_{2} \qquad L_{2}BiCl \qquad L_{2}BiCl$$

$$L_{2}BiCl \qquad L_{2}Bi(OL^{Me})/[L_{2}Bi]^{+}[OL^{tBu}]^{-}$$

$$[L_{2}Bi]^{+}[BPh_{4}]^{-} \qquad L_{2}Bi(OL^{Me})/[L_{2}Bi]^{+}[OL^{tBu}]^{-}$$

$$L = 2,6-(Me_{2}NCH_{2})_{2}C_{6}H_{3} \qquad L^{Me} = 2,6-Me_{2}C_{6}H_{3} \qquad L^{tBu} = 2,6-tBu_{2}C_{6}H_{3}$$

$$-NMe_{2} \qquad Me \qquad tBu$$

Комплекс L_2 BiCl (L=2,6-(Me_2NCH_2) $_2C_6H_3$) реагирует с tBuOK и L^{Me} OK с образованием алкоксида L_2 Bi(OtBu) и арилоксида L_2 Bi(OL^{Me}) соответственно, но аналогичная реакция с калиевой солью более объемного фенола L^{tBu} OK приводила к образованию ионного комплекса $[L_2Bi]^+[OL^{tBu}]$, в котором арилоксидный лиганд действует как анион внешней сферы. Замести-

тель Cl удаляется из L_2BiCl с помощью $NaBPh_4$, при этом образуется другой ионный комплекс $[L_2Bi]^+[BPh_4]^-$.

В работе [105] описаны синтез и молекулярные структуры производных висмута с O,C,O-лигандом (4-tBu-2,6-[(EtO)₂P=O]₂C₆H₂)BiCl₂ и (4-tBu-2,6-[(EtO)₂P=O]₂C₆H₂)BiCl (схема 102).

$$EtO \bigvee_{P=O}^{OEt} \qquad EtO \bigvee_{P=O}^{OEt} \qquad EtO \bigvee_{P-O}^{O}$$

$$tBu \longrightarrow Li \xrightarrow{-LiCl} tBu \longrightarrow Bi \xrightarrow{50^{\circ}C} tBu \longrightarrow Bi$$

$$EtO \bigvee_{P=O}^{OEt} \qquad tBu \longrightarrow Bi \xrightarrow{50^{\circ}C} tBu \longrightarrow Bi$$

$$EtO \bigvee_{P=O}^{OEt} \qquad EtO \bigvee_{OEt}^{OEt} \qquad EtO \bigvee_{OEt}^{OE} \qquad EtO \bigvee_{OE}^{OE} \qquad E$$

Схема 102.

Соединение $(4-tBu-2,6-[(EtO)_2P=O]_2C_6H_2)BiCl_2$ кристаллизуется в триклинной пространственной группе с двумя парами кристаллографически независимых молекул на элементарную ячейку. Каждый атом висмута имеет искаженную октаэдрическую конфигурацию CCl_2O_2Bi с атомами хлора и

кислорода в *транс*-положении. Внутримолекулярные расстояния $Bi\cdots O$ находятся в диапазоне от 2.378(5) до 2.414(5) Å. Производное фосфависмола $(4-tBu-2,6-[(EtO)_2P=O]_2C_6H_2)BiCl$ образует димер по типу "голова к хвосту" через межмолекулярные связи $Bi\cdots O$ (2.426(2), 2.278(3) Å) (схема 103).

OEt
$$O = P$$

Схема 103.

Расчеты DFT показывают высокий *s*-характер неподеленных электронных пар на атомах висмута в $(4-tBu-2,6-[(EtO)_2P=O]_2C_6H_2)BiCl_2$ и $(4-tBu-2,6-[(EtO)_2P=O]_2C_6H_2)BiCl$.

Взаимодействие эквимолярных количеств ариллития LLi, L = 2-(Me_2NCH_2)-6-($MeOCH_2$)- C_6H_3 , с трихлоридом висмута привело к образованию соответствующего дихлорида арилвисмута LBiCl₂ с хорошим выходом (схема 104) [106].

$$\begin{array}{c|c} NMe_2 & NMe_2 \\ & & BiCl_3 \\ \hline -C_4H_{10} & -C_4H_{10} \\ \hline OMe & & -DMe \\ \hline \\ LLi & & LBiCl_2 \\ \hline \\ DMe & & -DMe \\ \hline \\ LLi & & LBiCl_2 \\ \hline \end{array}$$

Схема 104.

Новый хелатирующий лиганд L, 2-(Me_2NCH_2)-6-($MeOCH_2$)- C_6H_3 , получали из m -толуолнитрила. Последующее литирование этого лиганда бутиллитием в гексане и прибавление к реакционной смеси трихлорида висмута завершилось синтезом целевого продукта, строение которого доказано методом PCA.

В нескольких публикациях описан синтез и особенности строения производных висмута с

С,Е,С-лигандами (E = N, O, S). Так, несколько соединений циклических хлоридов и трифенилгермилпропионатов висмута(III), $[(C_6H_4CH_2)_2X]$ BiCl и $[(C_6H_4CH_2)_2X]$ BiOC(O)CH $_2$ CH $_2$ GePh $_3$ (X = S или NR с атомом азота или серы в качестве дополнительного внутримолекулярного координирующего центра) были синтезированы из дилитиевого производного и хлорида висмута (схема 105) [107].

Результаты РСА показывают, что длины связи Bi-S или Bi-N в тиабисмоцине или азабисмоцине в восьмичленных циклах зависят от природы замещенных групп при атомах Bi. Замена атома хлора в азависмоцине и тиависмоцине на трифенилгермилпропионовую группу ($Ph_3GeCH_2CH_2COO$) приводит к удлинению связей Bi-N и Bi-S. Обнаружено, что соединения проявляют более высокую антипролиферативную активность в отношении клеток карциномы желудка, чем у цисплатина. Бо-

лее того, наблюдается усиление антипролиферативной активности, когда атом хлора бисмоциновых соединений заменяется на трифенилгермилпропионовый заместитель.

Несколько других соединений диоргановисмута(III), например [$(C_6H_4CH_2)_2S$]ВіХ на основе гетероциклического каркаса типа бабочки — тетрагидродибензо[c,f][1,5]-тиависмоцина (схема 106) — также были получены и структурно охарактеризованы [108].

Схема 106.

Реакция между дилитиевым производным 6uc(2-бромбензил)сульфида с трибромидом висмута в мольном соотношении 1:1 привела к образованию ($(C_6H_4CH_2)_2S$)ВіВг. Дальнейшие обменные реакции [$(C_6H_4CH_2)_2S$]ВіВг с KI, AgNO₃ и AgOTf, соответственно, дали соединения гипервалентного висмута [$(C_6H_4CH_2)_2S$]ВіХ (X = I,

ONO $_2$ и OTf). Во всех соединениях атом серы внутримолекулярно координирован с висмутом, межмолекулярные взаимодействия X···HC, Bi···Ar и Bi···O приводят к образованию полимерных цепей в кристаллах.

В другой работе этих авторов сообщается о синтезе бромидов диоргановисмута(III) $[(C_6H_4CH_2)_2NR]$ BiBr

 $(R = C_6H_5CH_2, C_6H_5CH_2CH_2)$ и MeOCH₂CH₂), содержащих гетероциклический каркас дибензо[1,5]азависмоцина, из соответствующего дибромида (2-Br-C₆H₄CH₂)₂NR последовательными

реакциями, включая *орто*-литирование и обработку дилитиевого производного бромидом висмута в молярном соотношении 1 : 1 (Схема 107) [109].

Дальнейшие обменные реакции между бромидами и соответствующими галогенидами металлов или фторидом аммония (схема 107) приводили к образованию $[(C_6H_4CH_2)_2NR]$ BiX, где $R = C_6H_5CH_2$, X = Cl, I; $R = C_6H_5CH_2$, X = Cl, I; и $R = MeOCH_2CH_2$, X = F, Cl и I. Все десять соединений были охарактеризованы методами ЯМР и PCA. Сильные трансаннулярные взаимодействия $N \to Bi$ наблюдались во всех исследованных галогенидах диоргановисмута(III). Молекулы

связаны в димеры сильными взаимодействиями

Ві···π-арен в [($C_6H_4CH_2$) $_2$ N(CH_2CH_2OMe)]ВіВг, [($C_6H_4CH_2$) $_2$ N($CH_2C_6H_5$)]ВіСІ и [($C_6H_4CH_2$) $_2$ N-(CH_2CH_2OMe)]ВіІ (около 3.50 Å) и взаимодействиями Ві···Х в [($C_6H_4CH_2$) $_2$ N($CH_2C_6H_5$)]ВіВг, [($C_6H_4CH_2$) $_2$ N($CH_2C_6H_5$)]ВіІ и [($C_6H_4CH_2$) $_2$ N-($CH_2CH_4CH_2$) $_2$ N-($CH_2CH_4CH_5$)]ВіІ.

Два прекурсора асимметричного тридентатного C,E,C-хелатирующего лиганда 1-Br-2-[(2'-Br $C_6H_4CH_2E$) CH_2] $C_{10}H_6$ (E=O,S) были получены с большим выходом (схема 108) [110].

Схема 108.

После их литирования бутиллитием и обработки треххлористым висмутом получены два хлорида гипервалентного висмута с асимметричным C,E,C-хелатным лигандом ($C_6H_4CH_2OCH_2C_{10}H_6$)BiCl и

 $(C_6H_4CH_2SCH_2C_{10}H_6)BiCl\ (E=O,\ S)$. Рентгеноструктурный анализ соединений выявил, что донорные атомы $(O,\ S)$ сильно координированы с атомами висмута.

Отметим, что некоторые из соединений висмута с C,E,C-лигандами являются эффективными катализаторами различных реакций органического синтеза. Например, стабильный на воздухе трифлатный комплекс органовисмута $\{[(C_6H_4CH_2)_2O]Bi(H_2O)\}^+[OTf]^-$ с дибен-

зо[1,5]оксависмоциновым каркасом проявляет высокую каталитическую активность по отношению к открытию кольца в реакциях эпоксидов в водных средах с ароматическими аминами при комнатной температуре (схема 109) [111].

Этот катализатор демонстрирует хорошую стабильность, пригодность к регенерации и повторному использованию. Каталитическая система обеспечивает простой и эффективный способ синтеза β-аминоспиртов с выходом до 93%.

В другой работе сообщается о синтезе двухьядерных органовисмутовых комплексов

 $\{[(C_6H_4CH_2)_2NR]Bi\}_2E\ (E=O,S;R=tBu,Cy,Ph)\ с$ двумя дибензо[1,5]азависмоциновыми каркасами, сшитыми через атом серы или кислорода путем обработки хлоридов органовисмута гидроксидом натрия или $Na_2S\cdot 9H_2O$ (схема 110) [112].

Схема 110.

Комплексы $\{[(C_6H_4CH_2)_2NR]Bi\}_2E$ показывают высокую каталитическую эффективность в синтезе циклических карбонатов из 2-(хлорме-

тил)оксирана и CO_2 , наибольшую активность из которых проявляет комплекс $\{[(C_6H_4CH_2)_2NtBu)Bi]_2S$ (схема 111).

 $Cat = [((C_6H_4CH_2)_2NtBu)Bi]_2S$

Схема 111.

По сравнению с их предшественниками хлоридом $[(C_6H_4CH_2)_2NR]BiCl$, метоксидом $[(C_6H_4CH_2)_2NtBu]BiOMe$ И метантиолатом $[(C_6H_4CH_2)_2NtBu]$ ВіSMe, которые являются одноядерными органовисмутовыми комплексами, двухъядерные комплексы органовисмута показывают более высокую каталитическую активность. Однако комплексы с кислородным мостиком $[((C_6H_4CH_2)_2NR)Bi]_2O$ не стабильны на воздухе и теряют свою каталитическую эффективность изза гидролиза или адсорбции СО2 (с образованием карбонатов органовисмута в последнем случае). Тем не менее двуядерные комплексы органовисмута с серным мостиком $\{[(C_6H_4CH_2)_2NR]Bi\}_2S$ очень устойчивы на воздухе и могут применяться при синтезе циклических карбонатов (в присутствии Bu₄NI) через различные виды эпоксидов, демонстрируя удовлетворительную эффективность и селективность.

Ионные комплексы, содержащие C,S,C-лиганды, проявляют высокую каталитическую активность в реакциях Манниха для получения α.βненасыщенных кетонов [113]. Прекурсором для получения катализатора является хлорид органовисмута $[(C_6H_4CH_2)_2S]BiCl$, который синтезируют из лиганда в форме бабочки с серой, *н*-BuLi и треххлористого висмута в диэтиловом эфире. Комплекс $[(C_6H_4CH_2)_2S]$ BiCl содержит тридентатный лиганд, в котором атом серы имеет две пары электронов: одна координируется с центром висмута, а другая свободна. Из этого соединения были синтезированы комплексы с противоанионом общего вида { $[(C_6H_4CH_2)_2S]Bi(H_2O)$ }+ $X^-(X^- = ClO_4^-,$ BF_4^- , $OSO_2C_4F_9^-$, $OSO_2C_8F_{17}^-$), которые показывали высокую электроноакцепторную способность и

проявляли свойства эффективных катализаторов в реакции Манниха (схема 112).

$$A_{gX}$$
 $TIT\Phi, T_{KOMIN}$ $TIT\Phi, T_{KOMIN}$

Схема 112.

При этом наблюдается высокая диастереоседеляются из реакционной смеси с выходом лективность, продукты транс-конформации выдо 99%.

N,C,N-хелатные комплексы висмута с объемными замещенными *бис*(дифенил(арилимино) фосфорано)метановыми заместителями $H_2C(Ph_2PN-Dipp)_2$ могут быть получены из трихлорида висмута и соответствующих соединений лития (схема 113) [114].

Комплексы охарактеризованы с помощью РСА и ЯМР-исследований. Обнаружено, что дианионный комплекс имеет редкий структурный мотив формальной двойной связи углерод-висмут(III).

Во многих работах, посвященных синтезу арильных производных трехвалентного висмута, в качестве исходного органического соединения металла используют оксиды арилвисмута, содержащие в своем составе тридентатные арильные лиганды. Так, взаимодействие RBiCl₂, (R = 2,6- $MeN(CH_2CH_2)_2NCH_2]_2C_6H_3$) с КОН приводит к образованию оксида $иикло-R_2Bi_2O_2$ (схема 114) [115]. Циклический оксил способен улавливать газообразный СО₂ с образованием "RBiCO₃". Реакция дихлорида RBiCl₂ с этиленгликолем, пинаколом или пирокатехином (CatH₂) в присутствии КОН приводит к образованию 2-органо-1,3,2-диоксависмоланов RBi(OCH2)2, RBi(OCMe2)2 и к 2-органо-1,3,2-диоксависмолу RBi(Cat) соответственно.

Схема 114.

Строение полученных соединений исследовано методами ЯМР-спектроскопиии и РСА. Выявлено, что органическая группа R действует как хелатный N,C,N-лиганд. Непланарность пятичленных хелатных циклов BiC_3N объясняется внутримолекулярными взаимодействиями $N \to Bi$. Молекулы соединений $R_2Bi_2O_2$, $RBi(OCH_2)_2$ и RBi(Cat),

независимо от природы оксолиганда, имеют искаженную квадратно-пирамидальную форму.

Реакция висмуторганического оксида (LBiO)₂ (L = [2,6-*бис*(диметиламино)метил]фенил) с борорганическими кислотами (1 : 4 мольн.) дает гетеробороксины LBi[(OBR)₂O], R = Ph, 4-CF₃C₆H₄ и Fc (схема 115) [116].

$$LBi \bigcirc O \\ O BiL \xrightarrow{4RB(OH)_2} 2 \bigcirc O \\ R \bigcirc Bi \bigcirc O \\ R \bigcirc B \bigcirc R \\ Me_2N \longrightarrow LBi[(OBR)_2O] \\ R = Ph, \\ 4-CF_3-C_6H_4, \\ Fc$$

Схема 115.

Соединения охарактеризованы методами элементного анализа и ЯМР-спектроскопии. Их структура описана как в растворе (исследования ЯМР), так и в твердом состоянии. По данным РСА, все комплексы содержат центральный фрагмент BiB_2O_3 , неароматический характер которого подтвердили DFT-расчетами.

Синтез и строение висмагетеробороксинов общей формулы $LBi[(OBR)_2O]$ с N,C,N-хелатирующим лигандом L=2,6- $(Me_2NCH_2)_2C_6H_3$ (схема 116) описаны в [117]. Целевые соединения получали из оксида $(LBiO)_2$ и соответствующей борорганической кислоты (1:4 мольн.).

$$LBi \bigcirc BiL \xrightarrow{4RB(OH)_2} 2 \bigcirc Bi \bigcirc O$$

$$R \bigcirc Bi \bigcirc Bi$$

$$R \bigcirc Ai$$

$$R \bigcirc A$$

 $X_1, X_2, X_3 = H, CF_3, Br, NH_2, NMe_2$ в различных комбинациях

Схема 116.

Гетеробороксин $LBi[(OBR)_2O]$, содержащий лоте, был синтезирован по аналогичной схеме донорную группу (R = 4-пиридил) в борной кис- (схема 117).

 $LBi \bigcirc BiL \xrightarrow{4 RB(OH)_2 \atop CH_2Cl_2} 2 \bigcirc Bi \bigcirc O \atop R Bi \bigcirc O \atop R R$ $Me_2N \longrightarrow LBi[(OBR)_2O]$

$$R = \frac{1}{N}$$

Схема 117.

Полученные соединения были охарактеризованы методами многоядерной ЯМР-спектроскопии и РСА.

Взаимодействием N,C,N-внутримолекулярнокоординированного оксида висмута(III) (LBiO)₂, где L = $2,6-(Me_2NCH_2)_2C_6H_3$), с (HO)SiPh₂OSiPh₂(OH) при молярном соотношении 1:2 получен *цикло*-LBi[(OSiPh₂)₂O], содержащий шестичленный цикл BiSi₂O₃ (схема 118) [118].

Альтернативно, *цикло*-LBi[(OSiPh₂)₂O] может быть получен из дигидроксида дифенилолова Ph₂-Si(OH)₂ и (LBiO)₂ при молярном соотношении 4:1.

Соединение (LBiO)₂ реагирует с циклосилоксаном $(Me_2SiO)_3$ с образованием шестичленного висмутсилоксана *цикло*-LBi(OSiMe₂)₂O (схема 119).

Схема 119.

Соединения были охарактеризованы с помощью элементного анализа, спектроскопии ЯМР ¹H. ¹³C. ²⁹Si и PCA.

Для гетеробороксинового комплекса висмута(III) LBi[(OBDipp)₂O], полученного из оксида (LBiO)₂, R = 2,6-(Me₂NCH₂)₂C₆H₃, и замещенной борной кислоты (схема 120), были получены кристаллы с сольватной молекулой бензола. Обнаруженная непланарность бензольного кольца в кристалле сольвата хелатного комплекса не была поддержана DFT-D квантово-химическими расчетами [119]. Наблюдаемая изогнутая структура бензола на самом деле является наложением (тепловое среднее) ансамбля термонаселенных бензольных структур в комплексе.

$$LBi \bigcirc O \\ BiL + 4DippB(OH)_2 \longrightarrow 2 \\ Dipp \bigcirc O \\ Dipp \bigcirc D \\ Dipp \\ L = 0 \\ Me_2N \longrightarrow 1 \\ LBi[(OBDipp)_2O]$$

$$L = 0 \\ Me_2N \longrightarrow 0 \\ LBi[(OBDipp)_2O]$$

Схема 120.

Беспрецедентный перенос арильной группы от бора на атом висмута наблюдается в реакции гетеробороксинов общей формулы LBi[(OBR)₂O] (L = 2,6-(Me₂NCH₂)₂C₆H₃; R = Ph, 4-CF₃C₆H₄, 4-BrC₆H₄) с соответствующей борной кислотой RB(OH)₂ (схема 121) [120].

$$LBi \bigcirc O \\ O \\ BiL + 4RB(OH)_2 \xrightarrow{-4H_2O} 2 \\ R \bigcirc Bi \bigcirc O \\ R \bigcirc BiL + 4RB(OH)_2 \xrightarrow{-4H_2O} 2 \\ LBi \bigcirc O \\ BiL + 10RB(OH)_2 \xrightarrow{-10H_2O} 2 \\ [LBi O] \\ R = Ph, 4-CF_3-C_6H_4, 4-Br-C_6H_4$$

Схема 121.

Были получены ионные пары $[LBiR]^+$ - $[R_4B_5O_6]^-$ ($R=Ph,\ 4-CF_3C_6H_4,\ 4-BrC_6H_4$), строение фенил-содержащего комплекса доказано метолом PCA.

Взаимодействие димерного оксида висмута(III) (LBiO)₂ ($R = (Me_2NCH_2)_2C_6H_3$) с уксусной кислотой приводило к образованию ацетата LBi(OAc)₂ [121]. При использовании трифторметансульфоновой кислоты был получен гидроксид LBi(OH)(OTf) (схема 122).

Схема 122.

Комплексы LBi(OAc)₂ и LBi(OH)(OTf) охарактеризованы с помощью масс-спектрометрии, ЯМР 1 Н-, 13 С-спектроскопии и PCA. В кристалле LBi(OH)(OTf) присутствуют слабосвязанные димерные звенья LBi(μ -OH)₂BiL, а трифлат-анионы связаны с мостиковыми фрагментами OH посредством водородных связей, наряду с взаимодействиями Bi···O, приводящими к бесконечной

цепочке супрамолекулярной структуры LBi(OH)-(OTf).

Реакции (LBiO)₂, где $R = (Me_2NCH_2)_2C_6H_3$, с фосфорорганическими кислотами при молярном соотношении 1:4 давали фосфонаты органовисмута LBi[OP(tBu)(O)(OH)]₂ (схема 123) [122]. При молярном соотношении 1:2 имеет место образование [LBi(O(O)P(tBu)O)]₃. Реакция [LBi(O(O)P(tBu)O)]₃ с EtP(O)(OH)₂ приводит к смешанному фосфонату LBi[OP(Et)(O)(OH)][OP(tBu)(O)(OH)].

$$\begin{array}{c|c}
NMe_2 & O \\
\downarrow & O \\
Bi + O - P - tBu \\
\uparrow & OH
\end{array}$$

$$\begin{array}{c|c}
OH & O \\
\downarrow & OH
\end{array}$$

 $LBi[OP(tBu)(O)(OH)]_2$

 $[LBi(O(O)P(tBu)O)]_3$

Схема 123.

Все соединения были охарактеризованы элементным анализом, масс-спектрометрией, 1 H-, 13 C-, 31 P-спектроскопии и ИК-спектроскопией. Вторичный фосфонат LBi[OP(tBu)(O)(OH)] $_{2}$ состоит из слабосвязанных димерных единиц через водородные мостики типа PO—H···O=P. С другой стороны, комплекс [LBi(O(O)P(tBu)O)] $_{3}$ является тримером с центральным 12-членным циклом, сформированым тремя блоками LBi(O(O)P(tBu)O) через межмолекулярные контакты Bi···O=P.

Этот же оксид (LBiO)₂ реагирует с оксидами мышьяка As_2O_5 и As_2O_3 с образованием молекулярных соединений (LBi)₃(AsO₄)₂ и (LBi)₂(As₂O₅) (схема 124) [123].

Схема 124.

Полученные комплексы охарактеризованы с помощью масс-спектрометрии, спектроскопии 1 Н и 13 С ЯМР, а в случае (LBi)₂(As₂O₅) — PCA.

В [124] сообщается о синтезе $N \rightarrow Bi$ внутримолекулярно координированного селенита висмута [LBi(O(O)SeO)]₃ (схема 125).

Схема 125.

Висмуторганический селенит [LBi(O(O)SeO)] $_3$ является редким примером смешанного оксида селена и висмута, который охарактеризован спектроскопией ЯМР 1 H, 13 C, 77 Se, ИК-спектроскопией и PCA.

Реже в синтезе производных трехвалентного висмута с тридентатными лигандами используют сульфиды арилвисмута, которые получают из ди-

хлоридов арилвисмута и сульфидов натрия или лития. Так, взаимодействием дихлорида арилвисмута(III) LBiCl₂, содержащим O,C,O-хелатирующий лиганд L = 2,6-(tBuOCH₂)₂C₆H₃, с сульфидом натрия в смеси толуол—вода синтезирован сульфид висмута (LBiS)₂ (схема 126), стабильный при -30°C, но разлагающийся при комнатной температуре [125].

 $LBiCl_2$, $L = 2,6-(tBuOCH_2)_2C_6H_3$ (LBiS)₂

Схема 126.

Сульфид (LBiS) $_2$ охарактеризован элементным анализом, масс-спектрометрией, ЯМР 1 Н- и 13 С-спектроскопией и РСА.

Сульфид органовисмута(III) (LBiS)₂ (L = 2,6- $(Me_2NCH_2)_2C_6H_3$), полученный из дихлорида арилвисмута и сульфида лития, также является димерным в твердом состоянии (схема 127) [126].

NMe₂

$$CH_{2}CI_{2}/TIT\Phi$$

$$NMe_{2}$$

$$NMe_{2}$$

$$NMe_{2}$$

$$NMe_{2}$$

$$NMe_{2}$$

$$NMe_{2}$$

$$LBiCl_{2}, L = 2,6-(Me_{2}NCH_{2})_{2}C_{6}H_{3} \qquad (LBiS)_{2}$$

$$NMe_{2}$$

$$NMe_{2}$$

$$NMe_{2}$$

$$NMe_{2}$$

$$LBi(S_{2}CS)$$

$$LBi(S_{2}CS)$$

Схема 127.

Тем не менее наличие в растворе мономерной структуры с концевыми связями Bi-S было доказано [2+2]-реакцией циклоприсоединения с CS_2 , приводящей к образованию молекулярного тритиокарбоната $LBi(S_2CS)$. Оба соединения были охарактеризованы в твердом состоянии методами дифракции рентгеновских лучей на монокристаллах и UK-спектроскопии. Дисульфид углерода может быть удален из тритиокарбоната $LBi(S_2CS)$ при его нагревании до $160^{\circ}C$ с восстанавлением до исходного сульфида. В растворе тритиокарбонат $LBi(S_2CS)$ находится в равновесии с исходным сульфидом, но это равновесие может быть сдвинуто влево путем добавления избытка сероуглерода.

Сульфид арилвисмута (LBiS)₂ также может быть использован в элементоорганическом синтезе. Так, (LBiS)₂, содержащий NCN-хелатирующий лиганд L = 2,6-(Me₂NCH₂)₂C₆H₃, реагирует с одним молярным эквивалентом элементарной серы с образованием циклического *бис*(пентасульфида) LBi(μ -S₅)₂BiL с центральным двенадцатичленным циклом Bi₂S₁₀ (схема 128) [127].

$$\begin{array}{c|c}
NMe_{2} Me_{2} N \\
Bi S Bi \\
NMe_{2} Me_{2} N
\end{array}$$

$$(LBiS)_{2} L = 2,6-(Me_{2}NCH_{2})_{2}C_{6}H_{3}$$

 $LBi(\mu - S_5)_2BiL$

Схема 128.

Соединение LBi(μ -S₅)₂BiL получено в виде стабильных оранжевых кристаллов и охарактеризовано с помощью PCA, ИК- и Рамановской спектроскопии.

Реакционная способность комплексов висмута с полидентатными лигандами мало изучена, за исключениемреакцийзамещения, которые более всего представлены реакциями органических

галогенидов висмута с серебряными солями различных кислот. Например, из 12-хлоро-6-циклогексил-5,6,7,12-дибензо[1,5] азависмоцина и трифлата серебра был получен соответствующий три-

флат гетероциклического соединения висмута $[(C_6H_4CH_2)_2NCy]Bi(OTf)$ (схема 129) и определена его кристаллическая структура [128].

$$\bigcap_{Bi} \bigcap_{OTf} \bigcap_{F \in \mathcal{F}} \bigcap_{F \in \mathcal{F}} F$$

$$((C_6H_4CH_2)_2NCy)Bi(OTf) \qquad [((C_6H_4CH_2)_2NCy)Bi]^+BF_4^-$$

Схема 129.

Центральная висмутсодержащая часть комплекса обладает искаженной псевдотригональнобипирамидальной структурой. Атомы углерода и неподеленная электронная пара атома Ві располагаются в экваториальной плоскости, в то время как атомы азота и кислорода расположены в апикальных положениях. Расстояния Ві—С составляют 2.216(9) и 2.219(9) Å. Угол СВіС составляет 96.3(3)°, а угол NВіО равен 151.7(2)° (а не 180°). Расстояние Ві—N составляет 2.430(6) Å, циклогексильная группа разупорядочена по двум положениям.

По этой же схеме синтезирован стабильный на воздухе тетрафторборат гетероциклического арилвисмута $[(C_6H_4CH_2)_2NCy]Bi]^+BF_4^-$ (схема 129), который проявляет каталитическую эффективность в реакциях аллилирования различных альдегидов тетрааллилоловом в водном метаноле (схема 130), давая соответствующие гомоаллильные спирты с превосходной селективностью [129]. Такая активность комплекса $\{[(C_6H_4CH_2)_2NCy]Bi\}^+BF_4^-$ близка к каталитической активности ранее описанного [2-(MeOCH₂)C₆H₄]₂Bi(OTf) (схема 94) [97].

 $Cat = [((C_6H_4CH_2)_2NCy)Bi]^+BF_4^-$

Схема 130.

Аналогично получен воздухостойкий перфтороктансульфонат органовисмута $\{[(C_6H_4CH_2)_2S]-Bi(H_2O)\}^+[OSO_2C_8F_{17}]^-$, обладающий высокой каталитической активностью и возможностью повторного использования в синтезе (E)- α , β -ненасыщенных кетонов благодаря высокоселективной перекрестной конденсации кетонов и альдегидов в воде [130]. Стабильный на воздухе катионный висмуторганический комплекс, полученный из перхлората серебра и хлорида диарилвисмута, использовали в качестве высокоэффективного катализатора прямой диастереоселективной реакции Манниха в воде (схема 112) [131].

Органовисмутовый комплекс 5H-дибензо[1,5]оксависмоцин-12(7H)-ил нитрат [$(C_6H_4CH_2)_2$ -O]BiONO₂ синтезировали прибавлением раствора хлорида арилвисмута в ТГФ к раствору нитрата серебра в воде [132]. Обнаружено, что этот комплекс проявляет противоопухолевую активность и имеет большой потенциал в лечении рака.

Реакции бромидов органилвисмута $[(C_6H_4CH_2)_2NR]$ ВіВг ($R = C_6H_5CH_2$, $C_6H_5CH_2CH_2$) и соответствующих солей серебра привели к образованию соединений висмута общей формулы $[(C_6H_4CH_2)_2NR]$ ВіХ (схема 131) [133].

Полученные соединения катализируют реакции окисления тиофенола в дифенилдисульфид с использованием воздуха в качестве окислителя в циклогексане при температуре ниже 100°С, что обеспечивает высокие скорости реакции (100% конверсии через 5 ч).

Аналогично полученный стабильный на воздухе перфтороктилсульфонат органовисмута(III)

 $[(C_6H_4CH_2)_2NCy]$ ВіОSO $_2C_8F_{17}$ проявляет высокую каталитическую эффективность к реакции Манниха с ароматическими альдегидами и ароматическими аминами в воде (схема 132) [134] (как и его серасодержащие аналоги $\{[(C_6H_4CH_2)_2S]Bi(H_2O)\}^+X^-(X^-=ClO_4^-,BF_4^-,OSO_2C_4F_9^-,OSO_2C_8F_{17}^-)$, представленные на схеме 113).

$$R^{1}C(O)H + R^{2}NH_{2} + R^{3} \qquad R^{4} \qquad \begin{matrix} Cat & R^{2} \\ (5 \text{ MOJ. }\%) & R^{1} \\ H_{2}O, T_{\text{KOMH}} \\ R^{4} \end{matrix} \qquad \begin{matrix} NH & O \\ R^{1} \\ R^{4} \end{matrix} \qquad \begin{matrix} R^{3} \\ R^{4} \end{matrix}$$

$$Coso_{2}C_{8}F_{17}$$

$$((C_{6}H_{4}CH_{2})_{2}NCy)Bi(OSO_{2}C_{8}F_{17})$$

Схема 132.

Этот катализатор также показывает хорошую рециркуляцию и возможность повторного использования в синтезе β-аминокетонов.

Из 12-хлор-6-фенил-дибензо[1,5]азависмоцина и перхлората серебра в тетрагидрофуране получен комплекс висмута 6-фенил-дибензо[1,5]азависмоцин-12(5H)-ил перхлорат с выходом 93% [135]. По данным РСА, центральный

атом имеет тригонально-бипирамидальное окружение с атомами кислорода и азота в аксиальных позициях и двумя атомами углерода и неподеленной электронной парой в экваториальных положениях. Длины связей Bi—C составляют 2.250(13), 2.204(12) Å, углы CBiC и NBiO равны 92.5(5)° и 154.0(3)° соответственно. Расстояние

Bi···N (2.388(10) Å) короче, чем в прекурсоре $C_6H_5N(CH_2C_6H_4)_2$ BiCl (2.607(5) Å).

Ряд гетероциклических карбоксилатов органовисмута(III) $[(C_6H_4)_2SO_2]$ BiOC(O)R (схема 133)

был синтезирован для определения влияния структуры карбоксилатного лиганда на липофильность и противогрибковую активность в отношении дрожжей *Saccharomyces cerevisiae* [136].

 $R = Ph, 1-Нафтил (1-C_{10}H_7), 2-Нафтил (2-C_{10}H_7),$

Стирил (Ph-CH=CH-), 9-Антраценил (9-G₄H₉), 4-NH₂-C₆H₄, 4-AcO-C₆H

Схема 133.

Взаимодействием дихлорида арилвисмута LBiCl₂ (L = 2,6-(Me₂NCH₂)₂C₆H₃) с Na₂CO₃ или Ag_2SO_4 (мольное соотношение 1 : 1) получены карбонат RBiCO₃ и сульфат арилвисмута RBiSO₄

соответственно (схема 134) [137]. Динитрат арилвисмута $RBi(NO_3)_2$ синтезировали из дихлорида арилвисмута и нитрата серебра при мольном соотношении исходных реагентов 1 : 2.

$$\begin{array}{c|c} & Na_2CO_3 & LBiCO_3 \\ \hline & NMe_2 & \\ \hline & BiCl_2 & Ag_2SO_4 \\ \hline & NMe_2 & \\ LBiCl_2 & -2AgCl & LBi(NO_3)_2 \\ \end{array}$$

 $L = 2,6-(Me_2NCH_2)_2C_6H_3$

Схема 134.

Молекулярные структуры $RBiCO_3 \cdot 0.5CH_2Cl_2$, $RBiSO_4$, $RBi(NO_3)_2 \cdot H_2O$ были установлены методом PCA. Карбонат и сульфат имеют полимерную

структуру на основе мостиковых оксоанионов, тогда как динитраты являются димерами с мостиковыми и концевыми нитрат-анионами.

Из дихлорида арилвисмута с арильным NCO-лигандом $L = 2-(Me_2NCH_2)-6-(tBuOCH_2)C_6H_3$ и

солей серебра были синтезированы два ионных комплекса висмута вида [LBiCl] $^+X^-$ (схема 135) [138].

Схема 135.

Если кристаллы комплексов LBiCl $_2$ и [LBiCl] $^+$ -(OTf) $^-$ представляют собой в твердом состоянии димеры, то ионный комплекс [LBiCl] $^+$ (CB $_{11}$ H $_{12}$) $^-$ состоит из мономерных структурных единиц. Все изученные соединения охарактеризованы с помощью спектроскопии ЯМР 1 Н и 13 С, ESI масс-спектрометрии и методом дифракции рентгеновских лучей на монокристаллах.

Нитрат диарилвисмута с потенциальными координирующими центрами в арильных лигандах $[(C_6H_4CH_2)_2NCy]Bi(NO_3)$ получен из хлорида диарилвисмута и нитрата серебра в воде [139]. В кристалле атомы висмута имеют тригонально-бипирамидальное окружение с атомами N ($Bi\cdots N$

2.495(3) Å) и О в апикальных позициях и двумя арильными лигандами и неподеленной электронной парой в экваториальной плоскости. Нитратная группа является несимметричным бидентатным лигандом (Bi—O 2.416(3) и 3.0451(4) Å).

Обработка N,C,N-хелатного дихлорида висмута LBiCl₂ (L = 2,6-(R-N=CH)₂C₆H₃, R = tBu, 2,6-Me₂C₆H₃) одним мольным эквивалентом Ag[CB₁₁H₁₂] приводит к образованию ионных пар [LBiCl]⁺[CB₁₁H₁₂]⁻ [140]. Аналогичная реакция C,N-хелатного аналога L'BiCl₂ (L' = 2-(Dipp-N=CH)-4,6-(tBu)₂C₆H₂) дает соединение [L'BiCl]⁺-[CB₁₁H₁₂]⁻ (схема 136).

При обработке комплекса [LBiCl] $^+$ [CB $_{11}$ H $_{12}$] $^-$ (L = 2,6-(tBu-N=CH) $_2$ C $_6$ H $_3$) другим эквивалентом Ag[CB $_{11}$ H $_{12}$] был выделен аддукт исходного материала с Ag[CB $_{11}$ H $_{12}$], а именно [(2,6-(tBu-N=CH) $_2$ C $_6$ H $_3$)BiCl] $^+$ [Ag(CB $_{11}$ H $_{12}$) $_2$] $^-$. Кристаллы данного ионного соединения разлагаются при дневном свете, судя по спектрам 1 H ЯМР, до исходных соединений.

Висмуторганический карбонат $\{[(C_6H_4CH_2)_2O]$ -Ві $\}_2CO_3$, в котором плоская группа CO_3 присоединена к двум дибензо[1,5]оксабисмоциновым каркасам (схема 137), синтезирован из хлорида диарилвисмута и карбоната натрия в смеси растворителей вода—дихлорметан [141]. Длины двух ковалентных связей висмут—кислород составляют 2.217(3) и 2.223(3) Å.

Расстояния $\text{Bi} \cdot \cdot \cdot \text{O}$ с CH_2OCH_2 -группой (2.587(4) и 2.618(3) Å) указывают на сильную координацию $\text{O} \rightarrow \text{Bi}$ в комплексе.

Аналогично получен другой карбонат диарилвисмута $[(2-Et_2NCH_2C_6H_4)_2Bi]_2CO_3$ (схема 138), в котором мостиковая карбонатная группа связывает две группы $(2-Et_2NCH_2C_6H_4)_2Bi$. Выход атомов висмута и *ипсо*-атомов углерода из плоскости карбонатной группы составляет 0.323(1) и 0.330(9) Å соответственно. Арильные лиганды находятся в

транс-положении относительно квазиплоских групп (CBi)₂ CO_3 [142]. Атом металла сильно координируется на атом N одной аминогруппы (Bi····N 2.739(6) Å), в то время как атом N другой аминогруппы слабо связан с атомом металла (Bi····N 3.659(7) Å). С учетом этих внутримолекулярных взаимодействий можно считать, что общая координационная геометрия у висмута становится искаженной квадратно-пирамидальной.

РеакциямеждуN,C,N-хелатнымарилвисмутом(I) [LBi]_n, приготовленным *in situ* из LBiCl₂ [L = 2,6- $C_6H_3(CH_2NMe_2)_2$] и K[B(втор-Bu)₃H], и диорганодисульфидами ArSSAr приводит к образованию вис-

муторганических соединений LBi(SAr)₂ (Ar = 2-пиридил, 4-метилтиазол-2-ил, тиофен-2-ил, 4-*мрем*-бутил-1-изопропил-1H-имидазол-2-ил, 1-фенил-1H-тетразол-5-ил- 2-аминофенил) (схема 138) [143].

$$NMe_{2}$$

$$NMe_{2}$$

$$SAr$$

$$BiCl_{2}$$

$$NMe_{2}$$

$$LBiCl_{2}$$

$$LBiCl_{2}$$

$$LBi(SAr)_{2}$$

$$L=2,6-(Me_{2}NCH_{2})C_{6}H_{3}$$

(i) 1. 2K[B(втор-Ви)₃H], ТГФ, −70°С 2. ArSSAr, ТГФ, −70°С −*T*_{КОМН}

$$Ar = N N S S$$

$$iPr N Ph N N$$

$$iBu$$

$$NH_{2}$$

Схема 138.

Соединения охарактеризованы спектроскопией ЯМР 1 Н и 13 С, а в случае 2-пиридильного, 4-метилтиазол-2-ильного и 1-фенил- 1 Н-тетразол-5-ильного производных — с помощью РСА. Комплекс на ос-

нове o-аминотиофенола неустойчив в растворе и разлагается до соединения LBi[S(NH)C $_6$ H $_4$], содержащего пятичленное кольцо BiSNC $_2$, и 2-аминотиофенола (схема 139).

$$\begin{array}{c|c} NMe_2 \\ SAr \\ Bi \\ NMe_2 \\ NMe_2 \\ LBi(SAr)_2 \\ LBi(S(NH)C_6H_4) \\ Ar = \begin{array}{c|c} NMe_2 \\ \hline \\ NMe_2 \\ \hline \\ NMe_2 \\ \\ LBi(S(NH)C_6H_4) \\ \end{array}$$

Схема 139.

Попытки селективного расщепления связи Bi-N в этом кольце соляной или уксусной кисло-

тами приводили только к выделению $LBiCl_2$ или диацетата $LBi(OAc)_2$ и 2-аминотиофенола.

N,C,N-пинцерный комплекс дихлорида арилвисмута $LBiCl_2$, где L=2,6- $(Me_2NCH_2)_2C_6H_3$, реагирует с двумя эквивалентами калиевых солей фенолов (2,6- $Me_2C_6H_3O)K$ и (2,6- $iPr_2C_6H_3O)K$ с образованием ожидаемых диарилоксидов висмута $LBi(OAr^R)_2$, где $Ar^R=2,6$ - $R_2C_6H_3$, R=Me, iPr (схема 140) [144].

$$NMe_{2}$$

$$NMe_{3}$$

$$NMe_{4}$$

$$NMe_{2}$$

$$NMe_{2}$$

$$NMe_{2}$$

$$NMe_{3}$$

$$NMe_{4}$$

$$NMe_{2}$$

$$NMe_{2}$$

$$NMe_{3}$$

$$NMe_{4}$$

$$NMe_{2}$$

$$NMe_{2}$$

$$NMe_{2}$$

$$NMe_{3}$$

$$NMe_{4}$$

$$NMe_{2}$$

$$NMe_{2}$$

$$NMe_{3}$$

$$NMe_{4}$$

$$NMe_{2}$$

$$NMe_{2}$$

$$NMe_{3}$$

$$NMe_{2}$$

$$NMe_{3}$$

$$NMe_{4}$$

$$NMe_{2}$$

$$NMe_{2}$$

$$NMe_{3}$$

$$NMe_{4}$$

$$NMe_{5}$$

$$NMe_{6}$$

$$NMe_{7}$$

$$NMe_{8}$$

$$NMe_{9}$$

$$NMe_{1}$$

$$NMe_{2}$$

$$NMe_{2}$$

$$NMe_{2}$$

$$NMe_{3}$$

$$NMe_{2}$$

$$NMe_{3}$$

$$NMe_{4}$$

$$NMe_{5}$$

$$NMe_{7}$$

$$NMe_{8}$$

$$NMe_{9}$$

$$NMe_{1}$$

$$NMe_{2}$$

$$NMe_{2}$$

$$NMe_{2}$$

$$NMe_{3}$$

$$NMe_{2}$$

$$NMe_{3}$$

$$NMe_{4}$$

$$NMe_{5}$$

$$NMe_{7}$$

$$NMe_{8}$$

$$NMe_{7}$$

$$NMe_{8}$$

$$NMe_{9}$$

$$NMe_$$

Схема 140.

Однако аналогичная реакция с двумя эквивалентами ($Ar^{\prime Bu}O$)K, где $Ar^{\prime Bu}=2,6$ - $tBu_2C_6H_3O$, приводит к образованию фенола $Ar^{\prime Bu}OH$ и темнооранжевого ароксида арилвисмута $LBi(C_6H_2tBu_2O)$, являющимся продуктом активации napa-CH-cвязи (cxema 141).

$$NMe_{2}$$

$$BiCl_{2} \xrightarrow{2(Ar'^{Bu}O)K} -2KCl$$

$$-2KCl$$

$$-Ar'^{Bu}OH$$

$$LBiCl_{2}$$

$$L = 2,6-(Me_{2}NCH_{2})C_{6}H_{3}$$

$$Ar'^{Bu} = 2,6-tBu_{2}C_{6}H_{3}$$

$$LBi(C_{6}H_{2}tBu_{2}O)$$

Схема 141.

Комплекс LBi($C_6H_2tBu_2O$), где L = 2,6- $(Me_2NCH_2)_2C_6H_3$, при действии эквимолярного количества тетрафторбората триэтиламмония в тетрагидрофуране превращается в ионный комплекс [LBi($C_6H_2tBu_2OH$)]⁺[BPh₄]⁻ (схема 142).

Весьма интересны реакции комплексов висмута, содержащие тридентатные лиганды, с малыми молекулами. Так, были исследованы реакции пинцерного комплекса висмута $LBi(C_6H_2tBu_2O)$, где L=2,6- $(Me_2NCH_2)_2C_6H_3$, с CO_2 и COS в ацетонитриле (схема 142) [145]. Показано, что красная окраска раствора $LBi(C_6H_2tBu_2O)$ в течение 1 ч меняется на желтую, присущую растворам оксиарилкарбоксильных комплексов $LBi[O(E)C-C_6H_2tBu_2O]$, где E=O, S соответственно. В этих реакциях введения CO_2 и COS по связи Bi-C наблюдаются генерация новых дианионов, которые имеют хиноидный характер, сходный с оксиарилдианионным лигандом в $LBi(C_6H_2tBu_2O)$.

Схема 142.

Силилгалогениды и псевдогалогениды R_3SiX ($X = Cl, CN, N_3$; R = Me, Ph) реагируют с $LBi(C_6H_2tBu_2O)$, где L = 2,6- $(Me_2NCH_2)_2C_6H_3$, присоединяя X с образованием комплексов $LBiX(C_6H_2tBu_2OSiR_3)$ (схема 142), в которых имело место увеличение KЧ центрального атома металла до пяти. Они реагируют с дополнительным количеством R_3SiX с образованием комплексов $LBiX_2$, L = 2,6- $(Me_2NCH_2)_2C_6H_3$ и 2,6- $tBu_2C_6H_3$ - $OSiR_3$. Реакция $LBi(C_6H_2tBu_2O)$ [L = 2,6- $(Me_2NCH_2)_2C_6H_3$] с иодом протекает по схеме окислительного сочетания с образованием ди-

иодида Ar'Bi I_2 и 3,3',5,5'-тетра-*mpem*-бутил-4,4'-дифенохинона (схема 142).

Красный ацетонитрильный раствор оксиарильного комплекса $LBi(C_6H_2tBu_2O)$, где L=2,6- $(Me_2NCH_2)_2C_6H_3$, реагирует с NO при 1 атм. с образованием темно-зеленого раствора, содержащего несколько идентифицированных с помощью спектроскопии ЯМР 1 Н продуктов (схема 143). Реакции, проводимые при низкой температуре $(-35^{\circ}C)$ и со стехиометрическими количествами газа NO, дали сложные смеси продуктов [146].

NMe_2
 NMe_2 IBu $^{NO(1\,a_{IM}.)}$ IBu Me_2N IBu $^{$

Схема 143.

При доведении температуры реакционной смеси до комнатной, удаления растворителя и перекристаллизации остатка из сырого ацетонитрила были выделены желтые кристаллы [LBi(OR)]₂O (схема 143). Из сухого ацетонитрила были выделены желтые кристаллы LBi(OR)₂ ($R = -N = C_6 H_2 t Bu_2 = O$).

АРИЛЬНЫЕ ПРОИЗВОДНЫЕ ВИСМУТА(V)

Сообщалось о галогенировании арильных соединений трехвалентного висмута бромом, хлористым сульфурилом и дифторидом ксенона. Так, из три-*n*-толилвисмута и брома в растворе четыреххлористого углерода получен дибромид три-*n*-толилвисмута [147]. Тригалогениды диарилвисмута получить указанным способом невозможно, однако в случае присутствия при атоме висмута N,C-хелатного лиганда L (L = (2- $Dipp-N=CH)C_6H_4$, Dipp=2,6-ди-изопропилфенил) и обработке исходного хлорида LBi(Ph)Cl хлористым сульфурилом имеет место стабилизация комплекса LBi(Ph)Cl₃, который был выделен и структурно охарактеризован (схема 144) [11].

$$\begin{array}{c|c} \text{Dipp} & \text{Dipp} \\ \hline & N & \\ \hline & & SO_2Cl_2 \\ \hline & BiPhCl & \hline & TT\Phi \\ \hline & & & BiPhCl_3 \\ \hline & LBi(Ph)Cl & LBi(Ph)Cl_3 \\ \end{array}$$

Схема 144.

Отметим, что аналогичным образом было синтезировано и производное LBiPh $_2$ Cl $_2$.

Об эффективном фторировании дифторидом ксенона дифениларилвисмута [2-(Me_2NCH_2) C_6H_4]- $BiPh_2$, содержащего в *орто*-положении арильного лиганда диметиламинометильный заместитель (схема 145), сообщалось в [148].

$$\begin{array}{c|c} NMe_2 & NMe_2 \\ & & NMe_2 \\ BiPh_2 & CH_3CN, -30^{\circ}C \\ & -Xe \\ \end{array}$$

$$\begin{array}{c|c} NMe_2 \\ & BiPh_2F_2 \\ \\ LBiPh_2 \\ \end{array}$$

Схема 145.

Соединения [2-(Me_2NCH_2) C_6H_4] $_2BiN_3$ и [2-(Me_2NCH_2) C_6H_4] $Bi(N_3)_2$ представляют собой редкие примеры азидов висмута [14]. В то время как

в кристалле моноазида [2-(Me_2NCH_2) C_6H_4] $_2BiN_3$ присутствовали мономерные молекулы, то диазид [2-(Me_2NCH_2) C_6H_4] $Bi(N_3)_2$ представлен в виде димера с двумя типами соединения азидогрупп. Кроме того, слабые ван-дер-ваальсовы взаимодействия между этими центросимметричными димерами приводят к цепочечной структуре в кристалле.

Весьма обширным классом органических соединений висмута являются дикарбоксилаты триорганилвисмута, которые представлены прежде

всего арильными производными. Известно, что дикарбоксилаты триарилвисмута успешно получают по реакции окислительного присоединения из триарилвисмута и карбоновой кислоты в диэтиловом эфире в присутствии гидропероксидов [149—156]. Синтез дикарбоксилатов триарилвисмута проводили, как правило, с использованием гидропероксида третичного бутила в диэтиловом эфире (схема 146).

$$Ar_3Bi + tBuOOH + 2HOC(O)R \longrightarrow Ar_3Bi(OC(O)R)_2 + H_2O + tBuOH$$

Схема 146.

Однако в случае триарилвисмута, содержащего в своем составе потенциальные координирующие центры, например *mpuc*(2-метокси-5-бромфенил)висмута, целесообразнее было использовать в реакции в качестве окислителя пероксид водоро-

да [31]. Целевые продукты выделяли из реакционной смеси с выходом не менее 70%.

Серия дикарбоксилатов трифенилвисмута общей формулы (RCOO) $_2$ BiPh $_3$ (схема 147) получена по этой же схеме с целью определения их антилейшманиозной активности [157, 158].

Ph₃Bi + 2RCOOH
$$\xrightarrow{H_2O_2}$$
 (RCOO)₂BiPh₃

HO O BiPh₃

R³

R²

O BiPh₃

R¹ = Me, R² = R³ = H

R² = Me, R¹ = R³ = H

R³ = Me, R¹ = R² = H

R¹ = OMe, R² = R³ = H

R² = OMe, R¹ = R³ = H

R³ = OMe, R¹ = R² = H

R³ = OMe, R¹ = R² = H

Схема 147.

Показано, что они менее активны по сравнению с аналогичными производными сурьмы.

По той же схеме были синтезированы одиннадцать дикарбоксилатов трифенилвисмута на основе

функционализированных производных бензойной или салициловой кислот (схема 148), которые показали хорошую активность против лейшманиоза [159].

Схема 148.

Подобная большая серия дикарбоксилатов тритолилвисмута (RCOO)₂BiTol₃ на основе функционализированных производных бензойной или салициловой кислот с *орто*-, *мета*- или *пара*-толильными лигандами была синтезирована аналогично [160]. Из них 15 были оценены на токсичность по отношению к промастиготам лейшмании и клеткам фибробластов человека, с десятью затем проводилась последующая оценка против амастигот паразитов. Наилучшая активность и селективность наблюдается у соединений висмута, содержащими *о*- и *м*-толильные лиганды.

Замена диэтилового эфира на изопропиловый спирт не изменяет схемы реакции. В этом случае из трифенилвисмута, карбоновой кислоты и пероксида водорода в растворе изопропанола были получены дикарбоксилаты трифенилвисмута (RCOO) $_2$ BiPh $_3$, где R = 5-Br-2-OH-C $_6$ H $_3$, 2-

 $OH-C_6H_4$, 2,6- $(OH)_2$ - C_6H_3 , 3-Me-2- NH_2 - C_6H_3 , Ph, Me, с более высокими выходами, чем в известных способах синтеза целевых продуктов [161].

В основе другого метода получения дикарбоксилатов триарилвисмута лежит реакция замещения атомов галогена в дигалогенидах триарилвисмута. Именно по этой схеме были синтезированы дикарбоксилаты трифенилвисмута $Ph_3Bi[OC(O)R]_2$ ($R=C_6H_3F_2$ -3,5, $C_6H_4CF_3$ -4, C_4H_3S), которые получали смешением растворов дихлорида трифенилвисмута и натриевой соли кислоты в метаноле [162].

Из натриевых или калиевых солей *пара*- и *мета*-пиридинкарбоновых кислот и дихлорида трифенилвисмута (схема 149) в растворе спирта были синтезированы соответствующие дикарбоксилаты трифенилвисмута [163].

Схема 149.

Реакции полученных дикарбоксилатов трифенилвисмута с трифлатом серебра приводили к обра-

зованию координационных полимеров, в которых атомы серебра сшивают молекулы дикарбоксила-

тов в цепочку за счет координации атомов переходного металла с атомами азота пиридинкарбоксилатных лигандов.

Дикарбоксилат трифенилвисмута (4- FC_6H_4COO)₂ $BiPh_3$ был выбран в качестве объекта для изучения фотохимической активности из-за его химической стабильности, малой токсичности и простоты синтеза в реакциях фотодеградации трех распространенных красителей [164]: метиленового синего, родамина В и метилового фиолетового. К раствору кислоты и метоксида натрия в метаноле прибавляли раствор дихлорида трифенилвисмута

в толуоле, реакционную смесь перемешивали 2 ч при 25°С. Выход 66%. Показано, что комплекс обладает хорошей фотокаталитической способностью в деградации органических красителей под действием ультрафиолета или видимого света. Результат этого исследования может помочь в разработке новых фотокаталитических материалов.

В некоторых случаях эффективный синтез дикарбоксилатов триарилвисмута можно осуществить из триарилвисмута и карбоновой кислоты в присутствии триэтиламина (схема 150) [165].

Схема 150.

Соединение $[(2-Me)(3-OMe)C_6H_3C(O)O]_2Bi(n-Tol)_3$ оказалось весьма эффективным против лейшманиоза.

Реакция дихлорида трифенилвисмута с лапахолом (**Lp**) в присутствии триэтиламина приводила к образованию биядерного соединения висмута (LpPh₃Bi)₂O, который был охарактеризован PCA [166]. Двухъядерный комплекс содержит два шестикоординированных атома висмута, соеди-

ненных через атом кислорода $(Lp)_2(Ph_3Bi)_2O$. Соединение ингибирует рост линии клеток хронического миелогенного лейкоза, причем комплекс примерно в 5 раз более активен, чем свободный лапахол.

Известен случай, когда дихлорид трифенилвисмута реагирует с карбоновой кислотой с образованием дикарбоксилата трифенилвисмута, например с салициловой кислотой (схема 151) [167].

Ph₃Bi + 2 OH
$$T_{\text{KOMII}}$$
 OH T_{KOMII} OH T_{KOMII} OH T_{KOMII} OH T_{KOMII} OH T_{KOMII} OH T_{CH} OF T

Схема 151.

Известно, что в дикарбоксилатах триарилвисмута реализуется внутримолекулярное взаимодействие атома висмута с карбонильными атомами кислорода — потенциальными координирующими центрами карбоксилатных лигандов, что позволяет отнести эти производные к комплексам высококо-

ординированного висмута [152—172]. Прочность внутримолекулярных контактов Bi····O(=C), основой которых являются донорно-акцепторные взаимодействия, во многом определяется природой заместителей в арильных кольцах при атоме металла (влияют на акцепторные способности метал-

ла) и в органическом радикале остатка карбоновой кислоты (усиливают или ослабляют донорные свойства карбонильного кислорода). Показано, что внутримолекулярные расстояния Ві-О(=С) различаются между собой в большей степени: меньшему расстоянию Ві···О(=С) соответствует большая длина связи Ві-О, что свидетельствует о перераспределении электронной плотности при возникновении прочного донорно-акцепторного взаимодействия. Меньшим расстояниям Ві···О(=С) в соединениях (RCOO)₂BiAr₃ соответствует большая длина связи Ві-О, что свидетельствует о перераспределении электронной плотности при возникновении прочного донорно-акцепторного взаимодействия. Самые слабые внутримолекулярные взаимодействия наблюдаются в молекулах тех дикарбоксилатов триарилвисмута, в которых донорные способности карбонильного атома кислорода ослаблены из-за смещения электронной плотности, обусловленного наличием электроотрицательных заместителей в органическом радикале кислоты (-I-эффект). В молекулах дикарбоксилатов триарилвисмута с одинаковыми арильными заместителями при атомах висмута невалентные взаимодействия усиливаются с повышением донорных свойств карбонильного атома кислорода за счет +M-эффекта радикала. В молекулах дикарбоксилатов укорочение расстояний Ві···О(=С) коррелирует с увеличением одного из экваториальных углов СВіС (до 152.9°) со стороны внутримолекулярных контактов.

Дикарбоксилаты триарилвисмута могут быть использованы для получения других классов соединений, например в синтезе дисульфонатов триарилвисмута, когда диацетат трифенилвисмута при действии трифторметансульфоновой кислоты превращался в соответствующий дисульфонат (схема 152), весьма эффективный в реакциях гликозилирования при комнатной температуре. Этот промотирующий агент продемонстрировал преимущества перед большинством современных тиогликозидных активаторов, а именно высокую растворимость и стабильность к действию воздуха и света [173].

$$\begin{array}{c} \text{2PhI(OAc)}_2 & \text{2TfOH} \\ \text{CH}_2\text{Cl}_2 & \text{CH}_2\text{Cl}_2 \\ \text{Ph}_3\text{Bi} \xrightarrow{T_{\text{комн}}, \ 10 \ \text{q}} & \rightarrow \text{Ph}_3\text{Bi(OAc)}_2 \xrightarrow{T_{\text{комн}}, \ 12 \ \text{q}} & \rightarrow \text{Ph}_3\text{Bi(OTf)}_2 \end{array}$$

Схема 152.

Ряд *бис*(аренсульфонатов) триарилвисмута синтезирован из трифенил-, *mpuc*(*mema*-толил)-и *mpuc*(2-метокси,5-бромфенил)висмута и аренсульфоновой кислоты в эфире. В качестве окислителя использовали пероксид водорода, поскольку в присутствии *mpem*-бутилгидропероксида не на-

блюдалось образование целевого продукта. При соотношении исходных реагентов 1:2:1 (мольн.) из реакционной смеси выделяли дисульфонаты триарилвисмута Ph₃Bi(OSO₂C₆H₃Me₂-3,4)₂ [172], $(M-Tol)_3Bi(OSO_2C_6H_3Me_2-3,4)_2[171]$ $\mu[(2-MeO)(5-4)_3Bi(OSO_2C_6H_3Me_2-3,4)]$ $Br)C_6H_3]_3Bi(OSO_2Ph)_2$ [174] с выходом до 85%. Из данных РСА следует, что атомы висмута в молекулах дисульфонатов триарилвисмута имеют тригонально-бипирамидальную координацию аренсульфонатными заместителями в аксиальных положениях. Относительно экваториального фрагмента С₃Ві аренсульфонатные группы в первых двух дисульфонатах имеют цис-ориентацию. Со стороны максимального экваториального угла СВіС (140.77(11)° и 133.69(17)°) наблюдаются внутримолекулярные контакты между центральным атомом Ві и атомами О аренсульфонатных групп (3.189(4), 3.122(3) и 3.244(6), 3.406(6) Å соответственно). Для третьего соединения также обнаруживаются внутримолекулярные контакты между атомом металла и атомами кислорода сульфонатных групп, однако расстояния Ві О в двух кристаллографически независимых молекулах (3.265(4)-3.296(4) Å) несколько больше, чем в первых двух соединениях. Отметим, что подобная тенденция лигандов к проявлению бидентатных свойств характерна для дикарбоксилатов триарилвисмута [78]. Кроме того, в молекулах третьего дисульфоната присутствует внутримолекулярная координация атомов кислорода метоксиг-(Bi···OMe рупп на атом висмута 3.062(9) - 3.215(9) Å).

Реакция *трис* (2-метокси,5-бромфенил) висмута с бензолсульфоновой кислотой (1:2 мольн.), проходящая в растворе диэтилового эфира в присутствии кислорода воздуха, сопровождалась образованием *бис* (бензолсульфоната) *трис* (5-бром-2-метоксифенил) висмута [174], который через 48 ч был выделен из реакционной смеси с выходом 7%. Очевидно, что в отсутствие пероксида роль окислителя триарилвисмута выполнял кислород воздуха.

Из дихлорида трифенилвисмута и трифлата серебра может быть получен *бис*(трифторметансульфонат) трифенилвисмута, реакции которого с донорными лигандами, такими как оксид трифенилфосфина, аминопиридин и бипиридил, приводят к образованию ионных комплексов с катионами пятикоординированного висмута (схема 153) [175].

$$\begin{array}{c} Ph_{3}Bi + 2AgOTf & \xrightarrow{-2AgCl} & Ph_{3}Bi(OTf)_{2} \\ \\ 2Ph_{3}PO & [Ph_{3}Bi(OPPh_{3})_{2}]^{2+}(OTf^{-})_{2} \\ \\ Ph_{3}Bi(OTf)_{2} & \xrightarrow{2Me_{3}P} & [Me_{3}P-PMe_{3}]^{2+}(OTf^{-})_{2} + Ph_{3}Bi \\ \\ & \xrightarrow{2,2'-Bipy} & [Ph_{3}Bi(2,2'-Bipy)(OTf)]^{+}(OTf^{-}) \\ \\ & & [Ph_{3}Bi(Me_{2}N-Py)_{2}(OTf)]^{+}(OTf^{-}) \end{array}$$

Схема 153.

Этот синтетический метод имеет потенциал для широкого развития химии координационных соединений висмута.

Взаимодействием дибромида три-n-толилвисмута с перхлоратом серебра и его гидратом получены диперхлорат три-n-толилвисмута и μ -оксобис((перхлорато)три-n-толилвисмут) [176]. В молекулярной структуре первого атомы висмута имеют искаженную тригонально-бипирамидальную координацию с апикально расположенными атомами кислорода перхлоратных групп (связи Bi—C 2.180(5)-2.201(5), Bi—O 2.324(4)-2.355(4) Å; аксиальные углы OBiO $170.1(1)^\circ$, $174.5(1)^\circ$). Структура второго соединения содержит биядерные молекулы [n-Tol $_3$ Bi(ClO $_4$)] $_2$ O (связи Bi—O 2.371(15), 1.9107(7) Å, аксиальный угол OBiO 180.0°).

Первый перфторалкилфосфинат трифенилвисмута, $[(C_2F_5)_2PO_2]_2$ Ві Ph_3 , был синтезирован из Ph_3 Ві Cl_2 и $[(C_2F_5)_2PO_2]$ Аg (схема 154). Данный фосфинат был успешно использован в качестве катализатора в реакции Дильса—Альдера [91].

$$Ph_{3}BiCl_{2} \xrightarrow{((C_{2}F_{5})_{2}PO_{2})Ag} ((C_{2}F_{5})_{2}PO_{2})_{2}BiPh_{3}$$

$$O \qquad Cat (0.5 \text{ MOJI. }\%)$$

$$CH_{3}CN, \qquad T_{KOMH}, 1.5 \text{ q}$$

$$O \qquad >97\%$$

$$Cat = ((C_{2}F_{5})_{2}PO_{2})_{2}BiPh_{3}$$

Схема 154.

Авторы [148] разработали эффективный метод генеририрования катионов трифенилфторвисмутония $[Ph_3BiF]^+$ и трифенил(диацетонитрило)висмутония $[Ph_3Bi(NCMe)_2]^{2+}$ из легкодоступного Ph_3BiF_2 (схема 155).

$$Ph_{3}BiF_{2} \xrightarrow{CC_{13}CN, T_{KOMH}} [Ph_{3}BiF]^{+} [(C_{2}F_{5})_{3}PF_{3}]^{-}$$

$$\xrightarrow{2(C_{2}F_{5})_{3}PF_{2}} CH_{3}CN, T_{KOMH}$$

$$[Ph_{3}Bi(CH_{3}CN)_{2}]^{2+} [(C_{2}F_{5})_{3}PF_{3}]_{2}^{-}$$

Схема 155.

При действии кислот на пентафенилвисмут образуются соли тетрафенилвисмутония. Так, титрование пентафенилвисмута эфирным раствором хлористого водорода сопровождается исчезновением фиолетовой окраски, характерной для пентафенилвисмута, и образованием лабильных бесцветных кристаллов хлорида тетрафенилвисмута, разлагающихся при комнатной температуре до трифенилвисмута и хлорбензола [177]. Авторы [178] методом РСА установили его строение и нашли, что в тригонально-бипирамидальном окружении центрального атома хлор занимает аксиальное положение. Атом висмута выходит из экваториальной плоскости в направлении аксиально расположенного атома углерода. Длина связи Bi-Cl (2.9116(19) Å) превышает сумму ковалентных радиусов атомов висмута и хлора (2.50 Å), но существенно меньше суммы их ван-дер-ваальсовых радиусов (3.82 Å) [20].

Аналогичной структурой обладает и кинетически неустойчивый бромид тетрафенилвисмута, полученный из пентафенилвисмута и раствора бромистого водорода в ацетоне [179].

Взаимодействием пентафенилвисмута с эквимолярными количествами серной, 2,4-динитробензолсульфоновой и азотной кислот синтезированы гидросульфат тетрафенилвисмута (HOSO $_3$)ВіРh $_4$, 2,4-динитробензолсульфонат тетрафенилвисмута (2,4-(NO $_2$) $_2$ C $_6$ H $_3$ SO $_2$ O)ВіРh $_4$ и гидрат нитрата тетрафенилвисмута Рh $_4$ BiNO $_3$ · 1/3H $_2$ O [180]. Кристаллические структуры соединений висмута определены методом РСА. Если в первых двух атомы висмута пентакоординированы (окружение С $_4$ BiO), то в последнем присутствуют молекула нитратотетрафенилвисмута и два типа катионов тетрафенилвисмутония, один из которых координирован с нитрат-анионом и молекулой воды.

С целью установления природы заместителей в ароксильной группе на значения валентных углов и длин связей при атоме висмута в ароксидах тетрафенилсурьмы был синтезирован ряд указанных производных по реакции пентафенилвисмута (толуол, 0.5—5 мин, 20°С) с фенолами, содержащими электроноакцепторные заместители (схема 156) [181].

$$Ph_5Bi + ArOH \xrightarrow{Tолуол - C_6H_6} (ArO)BiPh_4$$

Схема 156.

Цвет раствора в результате взаимодействия реагентов изменялся на желтый или желто-коричневый; целевые продукты выделяли кристаллизацией из смеси бензол—октан. Ароксиды тетрафенилвисмута представляют собой устойчивые на воздухе кристаллические вещества желтого или желто-коричневого цвета, растворимые в алифатических и ароматических углеводородах. Выходы полученных ароксидов тетрафенилвисмута достигали 86%.

В 1999 году была открыта реакция перераспределения лигандов для фенильных соединений пятивалентного висмута на примере взаимодействия пентафенилвисмута с бис(2,5-диметилбензолсульфонатом) трифенилвисмута и бис(2,4-диметилбензолсульфонатом) трифенилвисмута [182]. Ароксиды тетрафенилвисмута были синтезированы также аналогичным способом из пентафенилвисмута и диароксида трифенилвисмута в бензоле (схема 157) [181].

$$\begin{split} Ph_5Bi + Ph_3Bi(OAr)_2 &\xrightarrow{C_6H_6} & 2(ArO)BiPh_4 \\ Ar = 4-tBu-2,6-Br_2-C_6H_2 \ , \ 2,6-Cl_2-C_6H_3, \\ & 4-NO_2-2,6-Br_2-C_6H_2 \ , \ 2,4-(NO_2)_2-C_6H_3, \\ & 2,4,6-(NO_2)_3-C_6H_2 \end{split}$$

Схема 157.

Молекулы ароксидов тетрафенилвисмута имеют характерную для большинства производных пентакоординированного висмута тригонально-бипирамидальную конфигурацию, причем наиболее электроотрицательный заместитель — ароксильный лиганд — занимает одно из аксиальных положений. Аксиальные углы СВіО близки к идеальному значению, атом висмута выходит из экваториальной плоскости в сторону атома углерода аксиально расположенного фенильного лиганда, что вызывает искажение валентных углов между аксиальными и экваториальными заместителями. Расстояния Bi-O (2.451-2.925 Å) больше суммы ковалентных радиусов атомов (2.31 Å [20]), причем наибольшее значение длины связи Ві-О наблюдалось в пикрате тетрафенилвисмута [183].

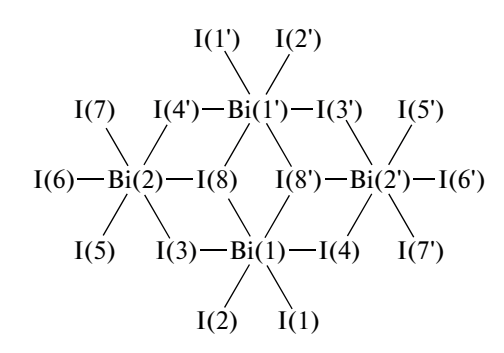
Во всех исследуемых структурах выявлена общая закономерность в расположении экваториальных фенильных групп. Так, два фенильных кольца в каждой структуре повернуты вокруг экваториальных связей Bi-C на значительные торсионные углы, тогда как плоскость третьего практически перпендикулярна аксиальной связи Bi-C. Ароксигруппа располагается над этим экваториальным фенилом, что обусловливает взаимодействие их π -систем (так называемый π - π -стекинг-эффект). В ароксидах тетрафенилвисмута характерная для π - π -стекинг-взаимодействия геометрия искажена — межцентровые расстояния равны 3.666-

4.021 Å, а межплоскостные углы составляют $14.2^{\circ}-32.4^{\circ}$, что близко по значению к идеальным для этого типа взаимодействий [184, 185].

В препаративной химии органических соединений пятивалентного висмута с помощью реакций замещения синтезируют ряд производных платины и золота. Так, продуктом взаимодействия хлорида тетрафенилвисмута Ph_4BiCl с гексабромоплатинатом калия (2:1 мольн.) в воде после перекристаллизации из диметилсульфоксида является S-диметилсульфоксидотрибромплатинат O-диметилсульфоксидотетрафенилвисмута $[Ph_4Bi \cdot DMSO-O]^+[PtBr_3 \cdot DMSO-S]^-$. Перекристаллизация из ацетонитрила комплекса, полученного из хлорида тетрафенилвисмута и гексахлороплатината калия, дает гексахлорплатинат тетрафенилвисмута $[Ph_4Bi]_2^+[PtCl_6]_2^{2-}$ [178].

Взаимодействием бромида тетрафенилвисмута с дихлоро- и дибромодицианоауратом калия в воде с последующим удалением воды и перекристаллизацией твердого остатка из ацетонитрила синтезированы и структурно охарактеризованы комплексы золота $[Ph_4Bi]^+[Au(CN)_2Cl_2]^-$ и $[Ph_4Bi]^+-[Au(CN)_2Br_2]^-$ [186].

Эквимолярные количества сульфосалицилата тетрафенилвисмута и иодида висмута в ацетоне реагируют с образованием красно-оранжевых кристаллов ионного комплекса $[Ph_4Bi]_4^+[Bi_4I_{16}]^{4-}$. · 2(Me₂C=O) [187]. Из данных РСА следует, что в комплексе два независимых катиона тетрафенилвисмутония имеют несколько различную геометрию. В одном из них координация атома висмута искаженная тетраэдрическая (длины связей Ві-С лежат в интервале 2.184-2.207 Å, а валентные углы $CBiC - 106.0^{\circ} - 113.7^{\circ}$). В координационной сфере другого катиона находится молекула ацетона (расстояние Bi···O составляет 3.094 Å), что приводит к появлению в тетраэдрической структуре вклада тригонально-бипирамидальной составляющей: заметное отклонение валентных углов СВіС от идеального для тетраэдра значения $(102.1^{\circ}-120.8^{\circ})$. Четырехъядерный центросимметричный анион [$\mathrm{Bi_4I_{16}}$]⁴⁻ (схема 158) в комплексе состоит из двух пар объединенных по общим ребрам октаэдров ВіІ₆. Атомы Ві(2) и Ві(2') имеют в своем окружении по три концевых и мостиковых атомов иода (расстояния Ві-І составляют 2.909—2.947 и 3.284—3.337 Å соответственно), атомы Bi(1) и Bi(1') — по два концевых и четыре мостиковых атомов иода (соответствующие связи равны 2.898, 2.904 и 3.027—3.312 Å).



При увеличении количества иодида висмута (мольное соотношение аренсульфоната тетрафенилвисмута и иодида висмута 1:2) наблюдается образование комплекса с линейным пятиядерным трехзарядным анионом $[\mathrm{Ph_4Bi}]^+_3[\mathrm{Bi_5I_{18}}]^{3-}$ [188]. В центросимметричном анионе $[\mathrm{Bi_5I_{18}}]^{3-}$ (схема 158) октаэдрически координированные атомы Ві попарно объединены тройными иодными мостиками. Концевой атом Ві(3) соединен с соседним атомом Ві(2) менее прочными связями Ві(3)— $\mathrm{I}(4-6)$, чем Ві(2)— $\mathrm{I}(4-6)$ (3.423—3.582 и 2.940—2.954 Å соответственно). Концевые связи Ві(3)— $\mathrm{I}(7,8,9)$ 2.842—2.860 Å — самые короткие в анионе $[\mathrm{Bi_5I_{18}}]^{3-}$.

Отметим эффективный метод синтеза фторидов трифениларилвисмута, заключающийся в обработке дифторида трифенилвисмута фенилборной кислотой в присутствии эфирата трифторида бора в хлористом метилене с последующей обработкой реакционной смеси избытком фторида цезия, который впервые описали японские авторы в 2003 году [189] и продолжили авторы [190], получившие по аналогичной схеме фториды трифениларилвисмутония и изучившие транспортные свойства катионов общей формулы [Ph₃BiAr]⁺, где Ar = фенил, нафтил, антрил или пиренил. Показано, что эти катионы эффективно переносят гидроксид-, фторид- и хлорид-анионы через фосфолипидный бислой.

ЗАКЛЮЧЕНИЕ

Органические соединения висмута привлекают все большее внимание исследователей по всему миру. Обусловлено это обнаруженной в последнее время каталитической активностью ряда

органических соединений висмута по отношению к различным группам реакций важного значения в органической и элементоорганической химии, а также их большим потенциалом применения в качестве реагентов в тонком органическом синтезе. С точки зрения биохимии и медицины данный класс соединений висмута также имеет большой потенциал применения в качестве противораковых, противогрибковых и противобактериальных препаратов. Кроме этого, органические соединения висмута(III,V) способны образовывать моно-, би- и полиядерные структуры разнообразного строения, стабильные гетеролигандные соединения как молекулярного, так и ионного типов, что несомненно важно для развития фундаментальных исследований висмуторганических соединений. В ближайшее время следует ожидать еще более активного развития катализа висмуторганическими соединениями, областей их биохимического и медицинского использования.

СПИСОК ЛИТЕРАТУРЫ

- 1. *Разуваев Г.А., Осанова Н.А., Шарутин В.В.* // Докл. АН СССР. 1975. Т. 225. № 3. С. 581.
- 2. *Шарутин В.В., Мосунова Т.В.* // Вестник ЮУрГУ. Сер. Химия. 2020. Т. 12. № 3. С. 7.
- 3. Kindra D.R., Peterson J.K., Ziller J.W., Evans W.J. // Organometallics. 2015. V. 34. P. 395.
- 4. Schulz S., Kuczkowski A., Blaser D. et al. // Organometallics. 2013. V. 32. P. 5445.
- 5. *Lichtenberg C., Pan F., Spaniol T.P. et al.* // Angew. Chem., Int. Ed. 2012. V. 51. P. 13011.
- Casely I.J., Ziller J.W., Mincher B.J., Evans W.J. // Inorg. Chem. 2011. V. 50. P. 1513.
- 7. Auer A.A., Mansfeld D., Nolde C. et al. // Organometallics. 2009. V. 28. P. 5405.
- 8. *Solyntjes S., Bader J., Neumann B. et al.* // Chem. Eur. J. 2017. V. 23. P. 1557.
- 9. *Ishii T., Suzuki K., Nakamura T., Yamashita M.* // J. Am. Chem. Soc. 2016. V. 138. P. 12787.
- 10. Tomaschautzky J., Neumann B., Stammler H.-G. et al. // Dalton Trans. 2017. V. 46. P. 1645.
- 11. *Urbanova I., Jambor R., Ruzicka A. et al.* // Dalton Trans. 2014. V. 43. P. 505.
- 12. *Olaru M., Nema M.G., Soran A. et al.* // Dalton Trans. 2016. V. 45. P. 9419.
- 13. *Soran A., Breunig H.J., Lippolis V. et al.* // J. Organomet. Chem. 2010. V. 695. P. 850.
- Schulz A., Villinger A. // Organometallics. 2011. V. 30. P. 284.
- Chalmers B.A., Meigh C.B.E., Nejman P.S. et al. // Inorg. Chem. 2016. V. 55. P. 7117.
- 16. *Plajer A.J., Colebatch A.L., Rizzuto F.J. et al.* // Angew. Chem., Int. Ed. 2018. V. 57. P. 6648.
- 17. *Wade C.R., Saber M.R., Gabbai F.P.* // Heteroat. Chem. 2011. V. 22. P. 500.
- 18. Tschersich C., Hoof S., Frank N. et al. // Inorg. Chem. 2016. V. 55. P. 1837.

- 19. *Materne K., Braun-Cula B., Herwig C. et al.* // Chem. Eur. J. 2017. V. 23. P. 11797.
- 20. *Бацанов С.С.* // Журн. неорган. химии. 1991. Т. 36. № 12. С. 3015.
- 21. *Obata T., Matsumura M., Kawahata M. et al.* // J. Organomet. Chem. 2016. V. 807. P. 17.
- 22. Kawahata M., Yasuike S., Kinebuchi I. et al. // Acta Crystallogr. E. 2011. V. 67. P. m25.
- 23. Breunig H.J., Nema M.G., Silvestru C. et al. // Z. Anorg. Allg. Chem. 2010. V. 636. P. 2378.
- Alcantara E., Sharma P., Perez D. et al. // Synth. React. Inorg., Met.-Org., Nano-Met. Chem. 2012. V. 42. P. 1139.
- 25. Vranova I., Jambor R., Ruzicka A. et al. // Organometallics. 2015. V. 34. P. 534.
- Rao M.L.N., Dhanorkar R.J. // RSC Advances. 2016.
 V. 6. P. 1012.
- Hebert M., Petiot P., Benoit E. et al. // J. Org. Chem. 2016. V. 81. P. 5401.
- Petiot P., Gagnon A. // Eur. J. Org. Chem. 2013.
 P. 5282.
- Ahmad T., Dansereau J., Hebert M. et al. // Tetrahedron Lett. 2016. V. 57. P. 4284.
- 30. *Шарутин В.В., Сенчурин В.С., Шарутина О.К., Ча-еарова О.В.* // Журн. общ. химии. 2011. Т. 81. № 10. С. 1649.
- 31. *Шарутин В.В., Шарутина О.К., Ермакова В.А., Смагина Я.Р.* // Журн. неорган. химии. 2017. Т. 62. № 8. С. 1049.
- 32. Benjamin S.L., Karagiannidis L., Levason W. et al. // Organometallics. 2011. V. 30. P. 895.
- 33. Hirayama T., Mukaimine A., Nishigaki K. et al. // Dalton Trans. 2017. V. 46. P. 15991.
- 34. Ohshita J., Matsui S., Yamamoto R. et al. // Organometallics. 2010. V. 29. P. 3239.
- 35. *Onishi K., Douke M., Nakamura T. et al.* // J. Inorg. Biochem. 2012. V. 117. P. 77.
- 36. *Preda A.M., Schneider W.B., Rainer M. et al.* // Dalton Trans. 2017. V. 46. P. 8269.
- 37. Preda A.M., Schneider W.B., Schaarschmidt D. et al. // Dalton Trans. 2017. V.46. P. 13492.
- 38. Chen J., Murafuji T., Tsunashima R. // Organometallics. 2011. V. 30. P. 4532.
- 39. *Parke S.M., Narreto M.A.B., Hupf E. et al.* // Inorg. Chem. 2018. V. 57. P. 7536.
- Worrell B.T., Ellery S.P., Fokin V.V. // Angew. Chem., Int. Ed. 2013. V. 52. P. 13037.
- 41. Parke S.M., Hupf E., Matharu G.K. et al. // Angew. Chem., Int. Ed. 2018. V. 57. P. 14841.
- 42. *Ohshita J., Yamaji K., Ooyama Y. et al.* // Organometallics. 2019. V. 38. P. 1516.
- 43. Брегадзе В.И., Глазун С.А., Ефремов А.Н., Шарутин В.В. // Вестник ЮУрГУ. Сер. Химия. 2020. Т. 12. № 1. С. 5.
- 44. *Егорова И.В., Жидков В.В., Гринишак И.П.* // Журн. общ. химии. 2015. Т. 85. № 7. С. 1172.
- 45. *Kumar I., Bhattacharya P., Whitmire K.H.* // J. Organomet. Chem. 2015. V. 794. P. 153.
- 46. Andrews P.C., Frank R., Junk P.C. et al. // J. Inorg. Biochem. 2011. V. 105. P. 454.

- 47. Anjaneyulu O., Maddileti D., Swamy K.C.K. // Dalton Trans. 2012. V. 41. P. 1004.
- 48. *Егорова И.В., Шарутин В.В., Иваненко Т.К. и др.* // Коорд. химия. 2006. Т. 32. № 5. С. 336.
- 49. *Pathak A., Blair V.L., Ferrero R.L. et al.* // J. Inorg. Biochem. 2017. V. 177. P. 266.
- 50. *Stavila V., Whitmire K.H.* // Acta Crystallogr. E. 2010. V. 66. P. m1547.
- Andrews P.C., Deacon G.B., Junk P.C. et al. // Organometallics, 2009. V. 28. P. 3999.
- 52. *Jambor R., Ružicková Z., Erben M., Dostál L.* // Inorg. Chem. Commun. 2017. V. 76. P. 36.
- 53. Sun Y.-Q., Zhong J.-C., Liu L.-H. et al. // J. Mol. Struct. 2016. V. 1124. P. 138.
- 54. Andrews P.C., Junk P.C., Kedzierski L., Peiris R.M. et al. // Aust. J. Chem. 2013. V. 66. P. 1297.
- 55. Andrews P.C., Ferrero R.L., Junk P.C. et al. // Aust. J. Chem. 2012. V. 65. P. 883.
- Chaudhari K.R., Yadav N., Wadawale A. et al. // Inorg. Chim. Acta. 2010. V. 363. P. 375.
- Luqman A., Blair V.L., Bond A.M., Andrews P.C. // Angew. Chem., Int. Ed. 2013. V. 52. P. 7247.
- 58. Luqman A., Blair V.L., Brammananth R. et al. // Chem. Eur. J. 2014. V. 20. P. 14362.
- Luqman A., Blair V.L., Brammananth R. et al. // Eur. J. Inorg. Chem. 2016. P. 2738.
- 60. Luqman A., Blair V.L., Brammananth R. et al. // Eur. J. Inorg. Chem. 2015. P. 725.
- 61. Luqman A., Blair V.L., Brammananth R. et al. // Eur. J. Inorg. Chem. 2015. P. 4935.
- 62. Andrews P.C., Ferrero R.L., Forsyth C.M. et al. // Organometallics. 2011. V. 30. P. 6283.
- 63. *Шарутин В.В., Шарутина О.К.* // Журн. неорган. химии. 2014. Т. 59. № 10. С. 1356.
- 64. Wrobel L., Ruffer T., Korb M. et al. // Chem. Eur. J. 2018. V. 24. P. 16630.
- 65. Andrews P.C., Busse M., Deacon G.B. et al. // Dalton Trans. 2010. V. 39. P. 9633.
- 66. Andrews P.C., Deacon G.B., Ferrero R.L. et al. // Dalton Trans. 2009. P. 6377.
- 67. Beckmann J., Bolsinger J., Duthie A. et al. // Inorg. Chem. 2012. V. 51. P. 12395.
- 68. Metre R.K., Kundu S., Narayanan R.S., Chandrasekhar V. // Phosphorus, Sulfur, Silicon Relat. Elem. 2015. V. 190. P. 2134.
- Chandrasekhar V., Metre R.K., Narayanan R.S. // Dalton Trans. 2013. V. 42. P. 8709.
- 70. *Cui L.-S.*, *Meng J.-R.*, *Gan Y.-L. et al.* // Inorg. Nano-Metal Chem. 2017. V. 47. P. 1537.
- 71. *Ritter C., Ringler B., Dankert F. et al.* // Dalton Trans. 2019. V. 48. P. 5253.
- 72. Armstrong D., Taullaj F., Singh K. et al. // Dalton Trans. 2017. V. 46. P. 6212.
- 73. *Breunig H.J., Haddad N., Lork E. et al.* // Organometallics. 2009. V. 28. P. 1202.
- 74. Schwamm R.J., Fitchett C.M., Coles M.P. // Chem. Asian J. 2019. V. 14. P. 1204.
- 75. *Шарутин В.В., Егорова И.В., Шарутина О.К. и др.* // Коорд. химия. 2003. Т. 29. № 12. С. 902.

- Briand G.G., Decken A., Hunter N.M. et al. // Polyhedron. 2012. V. 31. P. 796.
- 77. *Breunig H.J., Lork E., Nema M.-G.* // Z. Naturforsch. B. 2009. V. 64. P. 1213.
- 78. Cambridge Crystallographic Data Centre, 2019. http://www.ccdc.cam.ac.uk/data_request/cif.
- Ramler J., Poater J., Hirsch F. et al. // Chem. Sci. 2019.
 V. 10. P. 4169.
- 80. Nekoueishahraki B., Sarish S.P., Roesky H.W. et al. // Angew. Chem., Int. Ed. 2009. V. 48. P. 4517. https://doi.org/10.1002/anie.200901215
- 81. Nekoueishahraki B., Samuel P.P., Roesky H.W. et al. // Organometallics. 2012. V. 31. P. 6697.
- 82. Lu W., Hu H., Li Y. et al. // J. Am. Chem. Soc. 2016. V. 138. P. 6650.
- 83. Waters J.B., Chen Q., Everitt T.A., Goicoechea J.M. // Dalton Trans. 2017. V. 46. P. 12053.
- 84. Aprile A., Corbo R., Tan K.V. et al. // Dalton Trans. 2014. V. 43. P. 764.
- 85. Wang G., Freeman L.A., Dickie D.A. et al. // Inorg. Chem. 2018. V. 57. P. 11687.
- 86. Wang G., Freeman L.A., Dickie D.A. et al. // Chem. Eur. J. 2019. V. 21. P. 4335.
- 87. *Munzer J.E., Kneusels N.-J.H., Weinert B. et al.* // Dalton Trans. 2019. V. 48. P. 11076.
- 88. Olaru M., Duvinage D., Lork E. et al. // Angew. Chem., Int. Ed. 2018. V. 57. P. 10080.
- 89. Bresien J., Hinz A., Schulz A., Villinger A. // Dalton Trans. 2018. V. 47. P. 4433.
- 90. Bresien J., Schulz A., Thomas M., Villinger A. // Eur. J. Inorg. Chem. 2019. P. 1279.
- 91. Solyntjes S., Neumann B., Stammler H.-G. et al. // Chem. Eur. J. 2017. V. 23. P. 1568.
- 92. *Nishimoto Y., Takeuchi M., Yasuda M., Baba A.* // Chem. Eur. J. 2013. V. 19. P. 14411.
- 93. Nishimoto Y., Takeuchi M., Yasuda M., Baba A. // Angew. Chem., Int. Ed. 2012. V. 51. P. 1051.
- 94. Ritschel B., Poater J., Dengel H. et al. // Angew. Chem., Int. Ed. 2018. V. 57. P. 3825.
- 95. Stavila V., Dikarev E.V. // J. Organomet. Chem. 2009. V. 694. P. 2956.
- 96. *Chirca I.*, *Silvestru C.*, *Breunig H.J.*, *Rat C.I.* // Inorg. Chim. Acta. 2018. V. 475. P. 155.
- 97. *Tan N., Chen Y., Zhou Y. et al.* // ChemPlusChem. 2013. V. 78. P. 1363.
- 98. *Toma A., Rat C.I., Silvestru A. et al.* // J. Organomet. Chem. 2013. V. 745. P. 71.
- 99. Nema M.G., Breunig H.J., Soran A., Silvestru C. // J. Organomet. Chem. 2012. V. 705. P. 23.
- 100. *Kannan R., Kumar S., Andrews A.P. et al.* // Inorg. Chem. 2017. V. 56. P. 9391.
- Li Y., Zhu H., Tan G. et al. // Eur. J. Inorg. Chem. 2011. P. 5265.
- 102. Simon P., Jambor R., Ruzicka A., Dostal L. // Organometallics. 2013. V. 32. P. 239.
- 103. Soran A., Breunig H.J., Lippolis V. et al. // Dalton Trans. 2009. V. 7. P. 77.
- 104. Simon P., Proft F., Jambor R. et al. // Angew. Chem., Int. Ed. 2010. V. 49. P. 5468.

- 105. Peveling K., Schurmann M., Herres-Pawlis S. et al. // Organometallics. 2011. V. 30. P. 5181.
- 106. Vrana J., Jambor R., Ruzicka A. et al. // Collect. Czech. Chem. Commun. 2010. V. 75. P. 1041.
- 107. Zhang X.-W., Xia J., Yan H.-W. et al. // J. Organomet. Chem. 2009. V. 694. P. 3019.
- 108. *Toma A., Rat C.I., Silvestru A. et al.* // J. Organomet. Chem. 2016. V. 806. P. 5.
- 109. *Toma A.M., Pop A., Silvestru A. et al.* // Dalton Trans. 2017. V. 46. P. 3953.
- 110. *Tan N., Chen Y., Yin S.-F. et al.* // Dalton Trans. 2013. V. 42. P. 9476.
- Tan N., Yin S., Li Y. et al. // J. Organomet. Chem. 2011. V. 696. P. 1579.
- 112. *Qiu R.*, *Meng Z.*, *Yin S. et al.* // ChemPlusChem. 2012. V. 77. P. 404.
- Qiu R., Yin S., Song X. et al. // Dalton Trans. 2011.
 V. 40. P. 9482.
- 114. Sindlinger C.P., Stasch A., Wesemann L. // Organometallics. 2014. V. 33. P. 322.
- 115. Strimb G., Pollnitz A., Rat C.I., Silvestru C. // Dalton Trans. 2015. V. 44. P. 9927.
- 116. Mairychova B., Svoboda T., Stepnicka P. et al. // Inorg. Chem. 2013. V. 52. P. 1424.
- 117. Korenkova M., Mairychova B., Ruzicka A. et al. // Dalton Trans. 2014. V. 43. P. 7096.
- 118. Fridrichova A., Mairychova B., Padelkova Z. et al. // Dalton Trans. 2013. V. 42. P. 16403.
- 119. *Fanfrlik J., Sedlak R., Pecina A. et al.* // Dalton Trans. 2016. V. 45. P. 462.
- Dostal L., Jambor R., Ruzicka A. et al. // Inorg. Chem. 2015. V. 54. P. 6010.
- 121. Fridrichova A., Svoboda T., Jambor R. et al. // Organometallics. 2009. V. 28. P. 5522.
- 122. Svoboda T., Jambor R., Ruzicka A. et al. // Eur. J. Inorg. Chem. 2010. P. 1663.
- 123. Svoboda T., Jambor R., Ruzicka A. et al. // Organometallics. 2012. V. 31. P. 1725.
- 124. Mairychova B., Svoboda T., Erben M. et al. // Organometallics. 2013. V. 32. P. 157.
- 125. Chovancova M., Jambor R., Ruzicka A. et al. // Organometallics. 2009. V. 28. P. 1934.
- 126. *Dostal L., Jambor R., Ruzicka A. et al.* // Organometallics. 2010. V. 29. P. 4486.
- 127. Dostal L., Jambor R., Erben M., Ruzicka A. // Z. Anorg. Allg. Chem. 2012. Bd. 638. S. 614.
- 128. *Tan N., Zhang X.* // Acta Crystallogr. E. 2011. V. 67. P. m252.
- 129. Zhang X., Qiu R., Tan N. et al. // Tetrahedron Lett. 2010. V. 51. P. 153.
- Qiu R., Qiu Y., Yin S. et al. // Adv. Synth. Catal. 2010.
 V. 352. P. 153.
- 131. *Qiu R., Yin S., Zhang X. et al.* // Chem. Commun. 2009. P. 4759.
- 132. Liu Y.-P., Lei J., Tang L.-W. et al. // Eur. J. Med. Chem. 2017. V. 139. P. 826.
- 133. *Toma A.M.*, *Rat C.I.*, *Pavel O.D. et al.* // Cat. Sci. Tech. 2017. V. 7. P. 5343.
- 134. Zhang X., Yin S., Qiu R. et al. // J. Organomet. Chem. 2009. V. 694. P. 3559.

- 135. *Zhang X.-W., Fan T.* // Acta Crystallogr. E. 2011. V. 67. P. m875.
- Murafuji T., Kitagawa K., Yoshimatsu D. et al. // Eur. J. Med. Chem. 2013. V. 63. P. 531.
- 137. *Breunig H.J., Nema M.G., Silvestru C. et al.* // Dalton Trans. 2010. V. 39. P. 11277.
- 138. *Dostal L., Jambor R., Ruzicka A. et al.* // Dalton Trans. 2011. V. 40. P. 8922.
- Tan N., Wu S., Huiqiong Y. et al. // Z. Kristallogr. New Cryst. Struct. 2019. V. 234. P. 509.
- 140. Vranova I., Erben M., Jambor R. et al. // Z. Anorg. Allg. Chem. 2016. V. 642. P. 1212.
- 141. *Tan N., Dang L., Lan D. et al.* // Z. Kristallogr.-New Cryst. Struct. 2018. V. 233. P. 875.
- 142. Soran A.P., Nema M.G., Breunig H.J., Silvestru C. // Acta Crystallogr. E. 2011. V. 67. P. m153.
- Simon P., Jambor R., Ruzicka A., Dostal L. // J. Organomet. Chem. 2013. V. 740. P. 98.
- 144. *Casely I.J., Ziller J.W., Fang M. et al.* // J. Am. Chem. Soc. 2011. V. 133. P. 5244.
- 145. *Kindra D.R., Casely I.J., Fieser M.E. et al.* // J. Am. Chem. Soc. 2013. V. 135. P. 7777.
- 146. Kindra D.R., Casely I.J., Ziller J.W., Evans W.J. // Chem. Eur. J. 2014. V. 20. P. 15242.
- 147. *Егорова И.В., Жидков В.В., Гринишак И.П., Резванова А.А.* // Журн. общ. химии. 2014. Т. 84. № 7. С. 1179.
- 148. Solyntjes S., Neumann B., Stammler H.-G. et al. // Eur. J. Inorg. Chem. 2016. P. 3999.
- 149. Verkhovykh V.A., Kalistratova O.S., Grishina A.I. et al. // Вест. Южно-Урал. гос. ун-та. Сер. Химия. 2015. Т. 7. № 3. С. 61.
- 150. Gushchin F.V., Kalistratova O.S., Maleeva A.I. et al. // Вест. Южно-Урал. гос. ун-та. Сер. Химия. 2016. Т. 8. № 1. С. 51.
- 151. *Гущин А.В., Шашкин Д.В., Прыткова Л.К. и др. //* Журн. общ. химии. 2011. Т. 81. № 3. С. 397.
- 152. *Шарутин В.В., Сенчурин В.С., Шарутина О.К.* // Журн. неорган. химии. 2011. Т. 56. № 10. С. 1644.
- 153. *Шарутин В.В., Шарутина О.К., Сенчурин В.С.* // Журн. неорган. химии. 2014. Т. 59. № 1. С. 42.
- 154. *Шарутин В.В., Шарутина О.К.* // Журн. неорган. химии. 2014. Т. 59. № 6. С. 734.
- 155. *Гусаковская А.А., Калистратова О.С., Андреев П.В. и др.* // Кристаллография. 2018. Т. 63. № 2. С. 203.
- 156. *Шарутин В.В., Шарутина О.К., Ефремов А.Н.* // Журн. неорган. химии. 2019. Т. 64. № 2. С. 159.
- 157. Duffin R.N., Blair V.L., Kedzierski L., Andrews P.C. // Dalton Trans. 2018. V. 47. P. 971.
- 158. Duffin R.N., Blair V.L., Kedzierski L., Andrews P.C. // J. Inorg. Biochem. 2018. V. 189. P. 151.
- 159. Ong Y.C., Blair V.L., Kedzierski L., Andrews P.C. // Dalton Trans. 2014. V. 43. P. 12904.
- Ong Y.C., Blair V.L., Kedzierski L. et al. // Dalton Trans. 2015. V. 44. P. 18215.
- 161. Kumar I., Bhattacharya P., Whitmire K.H. // Organometallics. 2014. V. 33. P. 2906.
- 162. *Cui L., Bi C., Fan Y. et al.* // Inorg. Chim. Acta. 2015. V. 437. P. 41.

- 163. *Kiran A.B., Mocanu T., Pollnitz A. et al.* // Dalton Trans. 2018. V. 47. P. 2531.
- 164. *Zhang X.-Y.*, *Wu R.-X.*, *Bi C.-F. et al.* // Inorg. Chim. Acta. 2018. V. 483. P. 129.
- 165. Feham K., Benkadari A., Chouaih A. et al. // Cryst. Struct. Theor. Appl. 2013. V. 2. P. 28.
- 166. *Андреев П.В., Сомов Н.В., Калистратова О.С. и др. //* Кристаллография. 2015. Т. 60. № 4. С. 571.
- 167. *Шарутин В.В., Егорова И.В., Казаков М.А., Шарутина О.К.* // Журн. неорган. химии. 2009. Т. 54. № 7. С. 1156.
- 168. Andreev P.V., Somov N.V., Kalistratova O.S. et al. // Acta Crystallogr. E. 2013. V. 69. P. m333.
- 169. *Шарутин В.В., Сенчурин В.С., Шарутина О.К. и др.* // Журн. общ. химии. 2010. Т. 80. № 10. С. 1630.
- 170. *Шарутин В.В., Шарутина О.К., Сенчурин В.С. и др.* // Бутлеровские сообщения. 2012. Т. 29. С. 51.
- 171. *Шарутин В.В., Шарутина О.К.* // Журн. общ. химии. 2016. Т. 86. № 5. С. 811.
- 172. *Шарутин В.В., Шарутина О.К., Сенчурин В.С.* // Журн. неорган. химии. 2016. Т. 61. № 3. С. 334.
- 173. *Goswami M., Ellern A., Pohl N.L.B.* // Angew. Chem., Int. Ed. 2013. V. 52. P. 8441.
- 174. *Шарутин В.В., Шарутина О.К.* // Журн. неорган. химии. 2016. Т. 61. № 8. С. 1023.
- 175. Robertson A.P.M., Burford N., McDonald R., Ferguson M.J. // Angew. Chem., Int. Ed. 2014. V. 53. P. 3480.
- 176. *Егорова И.В.*, *Жидков В.В.*, *Гринишак И.П. и др.* // Журн. неорган. химии. 2018. Т. 63. № 7. С. 816.
- 177. *Wittig G., Clauβ K.* // Lieb. Ann. 1952. Bd. 578. № 1. S. 136.
- 178. *Шарутин В.В., Шарутина О.К., Сенчурин В.С.* // Журн. неорган. химии. 2020. Т. 65. № 11. С. 1516.
- 179. *Сенчурин В.С., Шарутин В.В., Шарутина О.К.* // Журн. неорган. химии. 2020. Т. 65. № 3. С. 320.
- 180. *Шарутин В.В., Шарутина О.К., Сенчурин В.С.* // Журн. структур. химии. 2020. Т. 61. № 5. С. 776.
- 181. *Шарутин В.В., Егорова И.В., Шарутина О.К. и др. //* Коорд. химия. 2008. Т. 34. № 2. С. 89.
- 182. *Шарутин В.В., Шарутина О.К., Егорова И.В. и др.* // Изв. АН. Сер. хим. 1999. № 12. С. 2350.
- 183. *Егорова И.В.* Дис. ... докт. хим. наук. Н. Новгород, 2008. 298 с.
- 184. Glowka M.L., Martynowski D., Kozlowska K. // J. Mol. Struct. 1999. V. 474. P. 81.
- 185. *Tsuzuki S., Honda K., Uchimaru T. et al.* // J. Am. Chem. Soc. 2002. V. 124. № 1. P. 104.
- 186. *Сенчурин В.С.* // Вест. Южно-Урал. гос. ун-та. Сер. Химия. 2019. Т. 11. № 3. С. 50.
- 187. *Шарутин В.В., Егорова И.В., Клепиков Н.Н. и др. //* Журн. неорган. химии. 2009. Т. 54. № 1. С. 53.
- 188. *Шарутин В.В., Егорова И.В., Клепиков Н.Н. и др. //* Журн. неорган. химии. 2009. Т. 54. № 11. С. 1847.
- Ooi T., Goto R., Maruoka K. // J. Am. Chem. Soc. 2003. V. 125. P. 10494.
- 190. *Park G., Brock D.J., Pellois J.-P., Gabbai F.P.* // Chem. Cell Press. 2019. V. 5. P. 2215.